

MINISTERUL EDUCAȚIEI ȘI ÎNVĂȚAMINTULUI
INSTITUTUL POLITEHNIC "TRAIAN VUIA" TIMIȘOARA
FACULTATEA DE MECANICA

Ing. VICTOR BUDAU

CERCETARI PRIVIND CORELATIA DIN TRE FENOMENELE
METALURGICE SI PARAMETRII PROCESULUI DE SUDARE
A OTELURILOR CRIOGENICE ALIATE CU 9% NICHEL

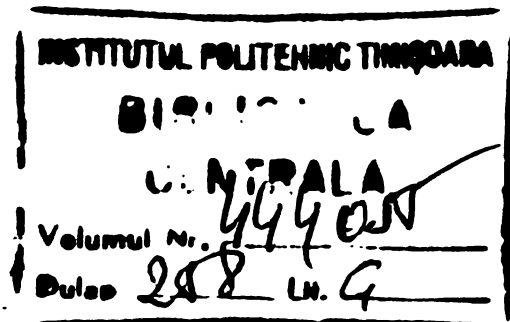
TEZA DE DOCTORAT

CONDUCATOR STIINȚIFIC

Prof.dr.ing.MARIN TRUSC

BIBLIOTECA CENTRALĂ
UNIVERSITATEA "POLITEHNICA"
TIMIȘOARA

TIMIȘOARA
1982



C U D I C I U S

• pag.

CAPITOLUL I.

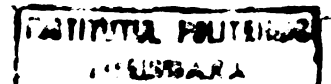
MATERIALE CRIOGENICE CARACTERICI-PROPRIETATI	1
1.1. Alegerea materialelor criogenice și domeniul utilizării lor...	1
1.2. Oțeluri aliate cu bază de nichel (2,25...9%Ni)....	6
1.3. Diagrama de echilibru Fe-Ni.....	7
1.4. Influența nichelului asupra punctelor critice ale diagramei Fe-Ni ₃	8
1.5. Tratamentul termic și proprietățile fizico-mecanice ale oțelului aliat cu 9%Ni.....	9
1.6. Scopul și obiectivul lucrării.....	15

CAPITOLUL II.

CERCETARE PRIVIND INFLUENȚA CICLULUI TERMIC ASUPRA CARACTERISTICILOR DE REZistență LA SOC A OȚELURILOR CRIOGENICE ALIATE CU 9%Ni.....	17
2.1. Considerații teoretice privind ciclurile termice la sudare.....	17
2.2. Materiale și echipă folosite.....	19
2.3. Simularea ciclului termic de sudare pentru oțelurile criogenice aliate cu 9%Ni.....	20
2.4. Analize structurale asupra probelor simulate.....	22
2.5. Analize cromometrice asupra probelor simulate...	24
2.6. Încercări de încovoiere prin soc.....	29
2.7. Aspecți microstructurașice ale spruytelor de rezilieră și simulație.....	35
2.8. Corelație dintre rezistența tablelor, energia liniară și parametru răcirei $T_{5/5}$	40
CONCLuziI.....	46

CAPITOLUL III.

CERCETARI ASUPRA OȚELURILOR METALURGICE LA SUDARE A OȚELURILOR CRIOGENICE ALIATE CU 9%Ni.....	48
3.1. Influența compoziției chimice asupra comportării metalurgice la sudare a oțelurilor criogenice aliate cu 9%Ni.....	48
3.2. Materiale de lucru.....	52



pag.

3.3.. Prepararea sudurării în vedere sudării.....	63
3.4. Procedee de sudare unificate.....	67
3.5. Tratamente termice ante și post sudare.....	69
3.6. Examinări la microscopie electronică a îmbinărilor sudate.....	75
3.7. Proprietățile mecanice ale îmbinărilor sudate...	80
CONCLUZII.....	100
CAPITOLUL IV.	
TRANSFORMĂRI STRUCTURALE LA SUDAREA OTELURILOR CRIOGENICE ALIATE CU 9%Ni.....	
4.1. Corelația dintre transformările structurale și energia liniară de sudare.....	103
4.2. Corelația dintre transformările structurale și tipul metalului de adăos.....	108
4.3. Corelația dintre transformările structurale și proprietățile mecanice ale îmbinărilor sudate	117
CONCLUZII.....	128
CAPITOLUL V.	
CONSIDERATII FINALE CONTRIBUȚII ORIGINALE SI PROBLEME DE VIITOR.....	
5.1. Considerații finale.....	130
5.2. Contribuții originale.....	132
5.3. Probleme de viitor.....	133
BIBLIOGRAFIE.....	135

CAPITOLUL I.

MATERIALE CRIOGENE CARACTERISTICI-PROPRIETATI

1.1. ALEGAREA MATERIALELOR CRIOGENICE SI DOMENIUL UTILIZARII LOR.

Necesitatea creerii și folosirii materialelor la temperaturi din ce în ce mai scăzute, a apărut odată cu extinderea folosirii gazelor lichefiate, cu construcția avioanelor, rachetelor, stațiilor de exploarări cosmice, care în multe situații lucrează la temperaturi apropiate de 0 K.

Construcția avioanelor stratosferice, a capsulelor aerospațiale, a rachetelor balistice, rezervoarelor și navelor pentru transportul gazelor lichefiate solicită utilizarea materialelor de înaltă rezistență mecanică, care să asigure o securitate ridicată în exploatare.

Economicitatea stocajului și transportului gazelor în stare lichidă prezintă avantaje deosebite, rezultate din comparația volumelor ocupate de un gaz la 293 K în stare gazoasă și lichidă.

Tabelul 1.1. [96]

Comparație între volumele ocupate de un gaz la 293 K în stare gazoasă și lichidă.

Tabelul 1.1.

Denumirea gazului	Greutatea specifică a lichidului [g/cm ³]	Temperatura de lichefiere [K]	Volumul gazului	Volumul lichidului
Propan	0,580	231		316
Etilen	0,564	169		485
Metan	0,421	111,5		630
Oxigen	1,140	90		850
Azot	10,807	77		690
Hidrogen	0,071	20,2		850
Heliu	0,125	4		755

Faptul că un metru cub de gaz, de exemplu de metan lichid, eliberează 630 m^3 gaz cînd trece în condiții normale este suficient de a justifica cercetările întreprinse cu privire la folosirea aliajelor metalice pentru astfel de aplicații.

Realizarea cașulelor aerospațiale și a avioanelor stratosferice necesită materiale cu caracteristici de rezistență mecanică deosebite (G/R_m cît mai mic) asociate unor valori favorabile ale ductilității și tenacității în intervalul de temperatură de exploatare $473...4 \text{ K}$.

In general se tinde de a lega comportarea materialului la temperaturi joase de sistemul lui cristalin.

Metalele și aliajele care cristalizează în sistemul cubic cu fețe centrate ca spre exemplu: aluminiul, cuprul, nichelul, plumbul și oțelurile austenitice, au o bună comportare la temperaturi joase. Cele care cristalizează în alte sisteme cristaline - cubic centrat, hexagonal sunt considerate ca fragile la temperaturi scăzute, ca de exemplu fierul α , zincul, magneziul, oțelurile feritice [7,18,25].

Se precizează că pe lîngă factorul cristalin intervin și alți factori care influențează comportarea materialelor la temperaturi scăzute.

Magneziul și zincul care au o rețea cristalină hexagonală do boala au un comportament la temperaturi joase total diferit. Magneziul și aliajele lui ultraajoare se comportă bine la 193 K , fapt care justifică folosirea lor în construcția avioanelor stratosferi. Zincul însă devine fragil la temperaturi de $263...253 \text{ K}$.

De asemenea oțelurile feritice sunt fragile la temperaturi scăzute de ordinul 73 K și este bine să se ia în considerare modul în care este afectată temperatura de tranziție a rezilienței și nu sistemul cristalinul materialului [7,18,35].

Până în 1952 pentru fabricarea conductelor, rezervorilor din domeniul criogenic, se utilizau aliaje pe bază de aluminiu sau cupru, a căror slabă rezistență la ruperă era sensibil compensată de reducerea lor greutății specifice. Pentru a se mări rezistența la ruperă a acestor aliaje li s-a adăugat magneziu, dar creșterea conținutului acestuia favorizează formarea porozităților și a oxizilor în timpul sudării și ca atare le scade reziliența la temperaturi joase.

Rezistența la ruperă a aliajelor pe bază de aluminiu sau cupru se situează la $5...10 \text{ daN/mm}^2$ și nu este prea mult ridicată prin adăugări de magneziu [7,113].

Oțelurile austenitice (tipul 18-8 și altele) constituie un material excelent pentru întrebunțări la temperaturi joase dar prețul lor de cost fiind ridicat nu se justifică utilizarea lor decât la temperaturi sub 73 K.

După 1944 apare tendința de fabricare a oțelurilor cu 1,5...9%Ni pentru temperaturi de 223...73 K.

Folosindu-se efectul cunoscut de multă vreme că nichelul deplasează temperatura de tranziție a rezilienței oțelului spre valori din ce în ce mai joase, s-au elaborat oțeluri aliante cu 2,25; 3,5; 5 și 9%Ni care dădeau rezultate bune în exploatare la 213; 169; 14 și 77 K.

După catastrofa de la Cleveland (USA) se părea că oțelurile pe bază de Ni sunt complet condamnate pentru a fi folosite la temperaturi joase și în special pentru transportul și stocajul gazelor lichefiate [69,70].

Studiile făcute în perioada 1948...1961 au demonstrat fără că aceste oțeluri pot și dă rezultate bune în domeniul criogenic [7,48,69].

După operațiunile criogenice în urma rezultatelor bune ASTM publică specificații care stabilesc tipurile de oțeluri criogenice aliante cu Nichel, compozițiile chimice și caracteristicile mecanice [7,68,69].

Punctie de temperaturile de exploatare și de condițiile de solicitare, materialele criogenice se clasifică în:

- Aliaje nefervoase pe bază de Al,Cu,Ni,Ti,Li,Mg etc;
- Ponte austenitice cu grafit nodular;
- Oțeluri aliante cu bază de nichel (2,25...9%Ni);
- Oțeluri austenitice Cr-Ni.

Intervalul de temperaturi și sfera de aplicabilitate a acestor materiale reiese în evidență din tabelul 1.2 și figura 1.1.

Făcind o comparație între unele materiale folosite la temperaturi joase (Tabelul 1.3) se remarcă faptul că prezintă avantaj oțelul cu 9%Ni.

La construirea uior rezervoare de dimensiuni mici se realizează o economie de 15%, iar la rezervoare de dimensiuni mari se realizează o economie de 10% dacă se utilizează oțel aliat cu nichel în loc de oțel austenitic 18-8 [7].

Actualmente, 40% din utilajele mondiale destinate, se lucrează la temperaturi de 293...77 K și sunt confectionate din oțel aliat cu

Tab.1.2.

RECOMANDARI DE MATERIALE PENTRU DΟΜΙНIУL CRIGCINIC

	R_m [d ^{en} /mm]	T [K]	
Temperatura de lucru	25	45	Producse lichefiate la presiunea atmosferică
Nivelul minim de energie CHARGE V [daJ]	1,8	70	si unea atmosferică
pînă la 233 K	-	21	Amoniac lichid
• pînă la 222 K	-	7	(- 238 'K)
• pînă la 172 K	-	7	
• pînă la 75 K	-	7	
• pînă la 4 K	-	7	
oteturî carbon cu conținut de 0,85...1,2 % Mn (ASTM 201)	0,85	oteluri carbon cu $\rho_m = 7,6$, Propan pur si călitate si revenite avind max. 0,2 % C. Stare normalizată.	oteluri carbon cu $\rho_m = 7,6$, Propan pur si călitate si revenite avind max. 0,2 % C. Stare normalizată.
oteturî carbon cu 1,2 % Mn. ASTM A 201 si A 300 A	= 49 si 25 %	oteluri carbon cu 0,85 = 49 si 25 %	oteluri carbon cu 0,85 = 49 si 25 %
•	si A 300 A	C	oteluri carbon cu 0,85 = 49 si 25 %
oteturî aliate cu 3,5 % Ni. ASTM A 203 D si A 300 .	3,5 %	oteluri aliate cu 3,5 % Ni. ASTM A 203 D si A 300 .	oteluri aliate cu 3,5 % Ni. ASTM A 203 D si A 300 .
fonte cu grafit modular: oteturî inoxidabile cu 2,6 % C, 2,12 % Si, 3,75 % Cu max. 0,1 % C Mn, 21,5 % Ni.	2,6 % C, 2,12 % Si, 3,75 % Cu max. 0,1 % C Mn, 21,5 % Ni.	oteluri aliate cu 9 % Ni, normalizate sau călitate si revenite idem aliate si cu 4 % Co-ASTM A 253.	oteluri aliate cu 9 % Ni, normalizate sau călitate si revenite idem aliate si cu 4 % Co-ASTM A 253.
• Aluminiu si aliaje de Al-Mg	-	oteluri inoxidabile cu max. 0,1 % C.Tip 304, 304 L si 347 ASTM A 204.	oteluri inoxidabile cu max. 0,1 % C.Tip 304, 304 L si 347 ASTM A 204.
• Neon, hidrogen, heliu (27...40 K).	-	-	-

9% Ni, 40% din aliaje pe bază de aluminiu și restul din oțel austenitic Cr-Ni și aliaje Ni-Fe cu 36% Ni [47].

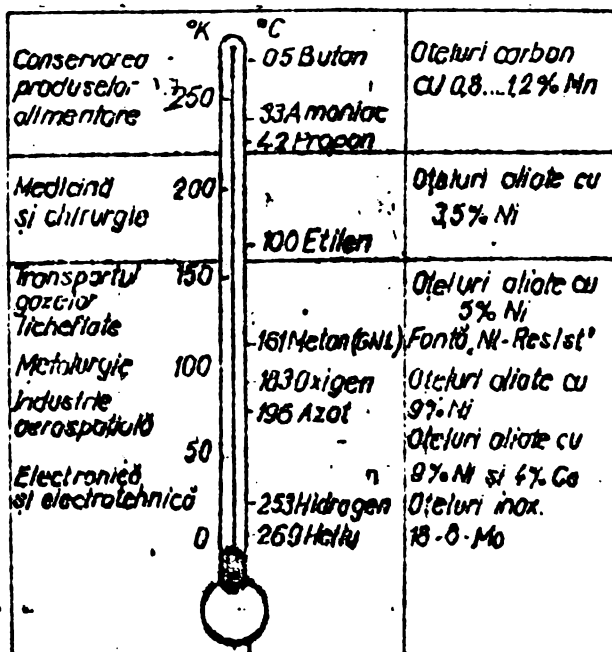


Fig.1.1. Recomandări de materiale pentru domeniul criogenic.

Comparatie între unele materiale din domeniul criogenic

Tabelul 1.3.

Calitatea materialului	R _m [daN/mm ²]	R _{0,2} [daN/mm ²]	E.10 ³ [daN/mm ²]	Coefficientul de dilatare x10 ⁻⁶	Pret de cost
Oțel aliat cu 9% Ni	65	50	20	9,5	0,5
Oțel austenitic 18-8	150	22	19,6	15	1
Aliaje de Al + 5% Mg	25	13	6,6	18	0,5

Alegerea mărcii de oțel studiate și a metodologiei de lucru, fructifică cunoștințe dobândite de doctorand în cadrul colectivului de studiul metalelor și tratamente termice pe probleme de materiale criogenice precum și în cercetarea oțelurilor speciale cu bază de Ni(2,25...9%) la care a participat în cadrul contractelor de colaborare cu CSM București și R.I.R. București.

Sugestiile prețioase de înaltă competență științifică primite din partea conducerii științifice precum și îndrumarea continuă pe toată durata elaborării lucrării, au constituit un sprijin deosebit și un imbold pentru o continuă perfecționare a activității de cercetare. Pentru toate acestea precum și pentru generozitatea cu care a oferit din timpul președes al Domniei Sale, autorul mulțumeste conducerii științific Prof.dr.ing. Marin Trușulescu, initiatorul cercetării materialelor criogenice în țara noastră.

1.2. OTELURI ALIATE CU BAZA DE NICHEL (2,25...9%Ni)

Proprietățile acestor oțeluri sunt dependente de natura, cantitatea și mărimea constituenților strucurali : ferită, perlită, bainită, martensită.

Oțelurile cu structura ferito-perlitică au un conținut de pînă la 3,5% Ni și proprietăți dependente de dimensiunea grăuntelei feritice, de cantitatea de perlită, de natura elementelor participante la formarea soluțiilor solide și de morfologia precipitatelor fine. Limita de curgere este cu atât mai ridicată, cu cât dimensiunea grăuntelui este mai mică și cu cât fazele secundare sunt mai fine. Elementele care formează soluții solide de inserție sau substituție au aproape toate, într-un mod gradat o influență pozitivă (cele mai active sunt C și N, apoi P, Mn și Ni) asupra limitei de curgere. Cantitatea de perlită influențează sensibil rezistența la rupere a aliajului.

Rezistența de rupere fragilă este influențată favorabil de prezența Ni ca element de aliere și de un grăunt feritic cât mai fin.

Oțelurile cu structură bainitică sau martensitică posedă proprietăți dependente de cantitatea constituenților prezenti de mărimea grăuntelui; de natura elementelor din soluția solidă și de morfologia compușilor precipitați.

În categoria acestora, intră și oțelurile aliante cu 9% Ni, respectiv 9%-Ni și 4% Co la care printr-o simplă răcire în aer se obțin fișe structuri intermediare fie în afară de echilibru.

Caracteristicile de rezistență mecanică sunt superioare oțelurilor austenitice, ele utilizindu-se cu succes pînă la temperaturi de exploatare de 77 K [7,97].

Oțelurile cu 9% Ni fiind utilizate în construcții sujete de mare rezistență, eforturile cercetătorilor sunt orientate spre

utilizarea cft mai ratională a metalului de bază prin aplicarea de noi procedee și materiale de sudare oferind în același timp garanții din punct de vedere al fiabilității și securității produselor.

In acest sens folosirea unor electrozi și sîrme (cu 9...13%Ni) care dău caracteristici mecanice (R_m , KCV) apropriate de ale metalului de bază față de electrozii și sîrmele bogat aliate cu nichel (de tip INCONEL și INCOWELD) care au un preț de cost mult prea ridicat și caracteristici mecanice inferioare metalului de bază constituie posibilități certe de realizare a acestui deziderat.

1.3. DIAGRAMA DE ECHILIBRU Fe-Ni

Nichelul cristalizează în sistemul cubic cu fețe centrate și este total solubil în stare solidă la temperaturi ridicate, deschizând domeniul fierului γ prin efectul său puternic gamiger.

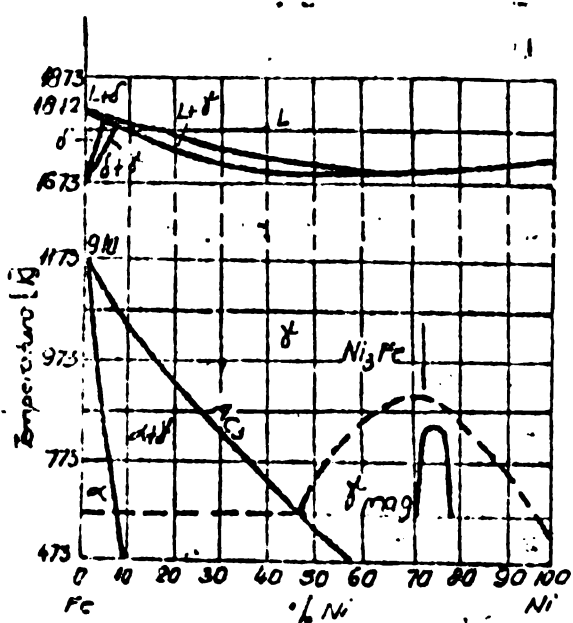


Fig.1.2. Diagrama de echilibru Fe-Ni

slabă și ca urmare la aliaje cu peste 10% Ni, austenita nu se transformă niciodată la o răcire foarte lentă, ci are loc o transformare în martensită cubică. Această transformare austenită-martensită a aliajelor Fe-Ni, decurge în același mod ca la călărea oțelului carbon și a altor oțeluri, cu deosebirea că în celulele elementare ale martensitei nu sunt inclusi atomi de carbon, deci martensita nu apare în formă tetragonală ci în formă cubică. Această martensită cubică denumită și soluție solidă α_c prezintă aceeași compoziție ca și

Așa după cum se observă din figura 1.2. pe măsura creșterii conținutului în nichel se largesc domeniile de existență al fierului γ și se îngustează sau chiar se suprimă domeniul fierului α . La concentrații mari în Nickel apare în diagramă un domeniu al compusului intermetalic Ni₃Fe.

Transformarea de baza $\gamma \rightarrow \alpha$ este însoțită de o modificare accentuată a concentrației și este devlasată la temperaturi tot mai coborâte. La tempera-

turi mai joase, difuziunea este

mai slabă și ca urmare la aliaje cu peste 10% Ni, austenita nu se transformă niciodată la o răcire foarte lentă, ci are loc o transformare în martensită cubică. Această transformare austenită-martensită a aliajelor Fe-Ni, decurge în același mod ca la călărea oțelului carbon și a altor oțeluri, cu deosebirea că în celulele elementare ale martensitei nu sunt inclusi atomi de carbon, deci martensita nu apare în formă tetragonală ci în formă cubică. Această martensită cubică denumită și soluție solidă α_c prezintă aceeași compoziție ca și

aceeași compoziție ca și

aceeași compoziție ca și

austenita din care s-a format, de aceea ea este o soluție solidă metastabilă suprasaturată, care are stabilitate la temperatura ambientă.

Din diagrama prezentată în figura 1.3. se observă că transformarea $\gamma \rightarrow \alpha$ are loc pînă la conținuturi de 34% Ni.

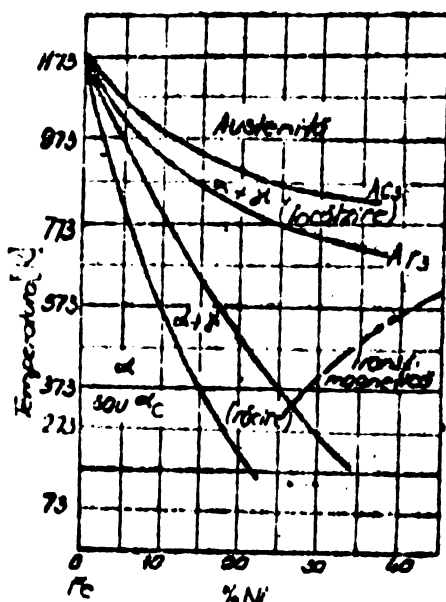


Fig.1.3. Diagrama de
aliajelor Fe-Ni.

a aliajelor Fe-Ni. Dacă un asemenea aliaj (cu structura alcătuită din $\alpha_c + \gamma_{rez}$) va fi din nou încălzit, va suferi schimbări numai dacă temperatura va fi superioară lui Ac_3 . Menținerea acestui aliaj un timp îndelungat la temperaturi apropiate de Ac_3 , va favoriza transformarea $\alpha_c \rightarrow \alpha + \gamma$. Fenomenul de stabilitate al austenitului la răcire sau încălzire în intervalul $Ac_3 \dots M_S$ este numit ireversibilitate. Acest lucru poate fi explicat prin modificarea difuziunii atomilor de nichel. Micșorîndu-se difuziunea pe măsura coborîrii temperaturii zonele din austenită devin mai bogate în nichel și ca atare crește stabilitatea acestei faze.

1.4. INFLUENȚA NICHELULUI ASUPRA PUNCTELOR CRITICE ALE DIAGRAMEI Fe-Fe₃C.

Nichelul micșorează concentrația în carbon a eutectoidului și deplasează punctele critice ale diagramei Fe-Fe₃C spre temperaturi mai coborite. Totodată, nichelul cunoaște poziția punctelor critice ale transformării martensitice.

Carbonul cu nichelul pur formează soluții solide (pînă la 0,5% C) și o combinație endotermică nestabilă: carbura de nichel Ni_3C .

(6,38% C). În aliajele Fe-Ni-C nu avare această carbură, din contră prezența nichelului contribuie la descompunerea cementitei. Nichelul micșorează tendința de supraîncălzire și împiedică creșterea grăunților. Aliajele Fe-Ni-C după răcirea lentă pot avea diferite结构uri în funcție de conținutul în carbon și nichel (figura 1.4).

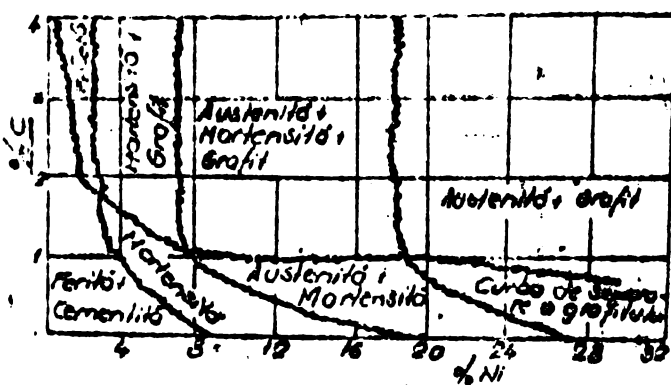


Fig.1.4. Diagrama structurală a oțelurilor aliate cu Ni la răcirea lantă.

nichel sînt de dimensiuni mici, tendința acestora de creștere în timpul austenitzării de lungă durată este foarte mică și ca urmare se favorizează obținerea unor structuri fine.

Deoarece nichelul este în general deficitar, oțelurile aliate cu nichel sunt utilizate doar pentru scopuri speciale acolo unde influența specifică a nichelului nu poate fi înlocuită de către nici o altă combinație de elemente. Tenacitatea mare la temperaturi scăzute a oțelurilor de construcție aliate cu nichel nu se poate depăși. Reziliența unui oțel aliat cu Ni este excelentă la temperaturi foarte scăzute. În consecință orientarea în domeniul construcțiilor criogenice către oțeluri de construcție aliate cu nichel este pe deplin justificată.

1.5. TRATAMENTUL TERMIC SI PROPIETATILE FIZICO-MECANICE ALE OȚELULUI ALIAT CU 9% Ni.

Ac st material este un o el economic, folosit pentru construc ia recipientelor și instala iilor destinate transportului și stocajului gazelor lichefiate p n  la temperatura corespondente azotului lichid - 77 K. Ductilitatea, rezisten ă mecanic ă și comportarea sa metalurgic ă de sudare sunt foarte bune și ca urmare acest

Din această diagramă se observă că oțelurile aliate cu 9% Ni și conținut mic în carbon prezintă o structură mărtensitică chiar la răcire cu viteze mici.

Prin cobor rea temperaturii de transformare en-tectoidă, nichelul favorizează apari ia unei structuri perlitice foarte fine cu aspect acorbite-roentgenit. În oțelurile hipotectoide, grăun ii de ferit  alia ă cu nichel sînt de dimensiuni mici, tendin ă acestora de creștere în timpul austenitzării de lungă durată este foarte mică și ca urmare se favorizează ob tinerea unor structuri fine.

oțel este fabricat în Europa, S.U.A. și Japonia sub formă de table, pieșe forjate, bare și profile [5,6,7,115,116].

1.5.1. Tratamentul termic.

De obicei, oțelul aliat cu 9% Ni este supus următoarelor tratamente termice:

1. Dublă normalizare prima la 1153...1193 K, iar a doua la 1053...1093 K urmată de o revenire la 833...873 K.

2. Călire de la 1063...1093 K urmată de o revenire la 833...873 K.

Prezența în structura oțelului revenit a unor mici însule de austenit reziduală, stabilă chiar la temperatură azotului lichid conferă materialului o excelentă reziliență la temperaturi joase. De asemenea, prin cea de a doua normalizare, respectiv ora călire, se obține o structură martensito-bainitică, care datorită compoziției chimice posedă valori foarte favorabile pentru caracteristiciile de ductilitate și reziliență. Actualmente pe plan mondial, se studiază și alte posibilități de tratamente termice clasice sau termomecanice care aplicate acestui oțel conduce la creșterea caracteristicilor de rezistență mecanică, fără diminuarea sensibilă a celor de tenacitate [59].

Pentru obținerea anumitor structuri se aleg parametrii regimului de tratament termic din diagramele TTT sau CCT ale oțelului prezentate în fig.1.5 și 1.6.

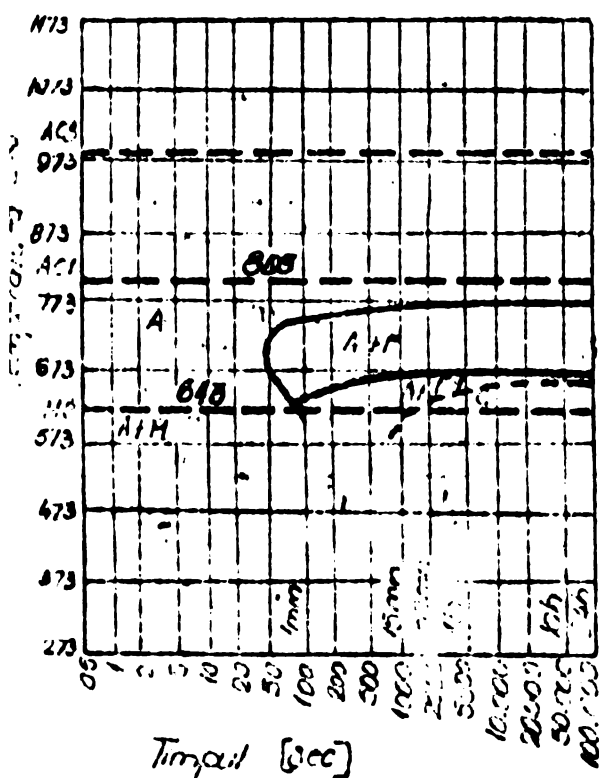


Fig.1.5. Diagrama TTT a oțelului aliat cu 9% Ni.

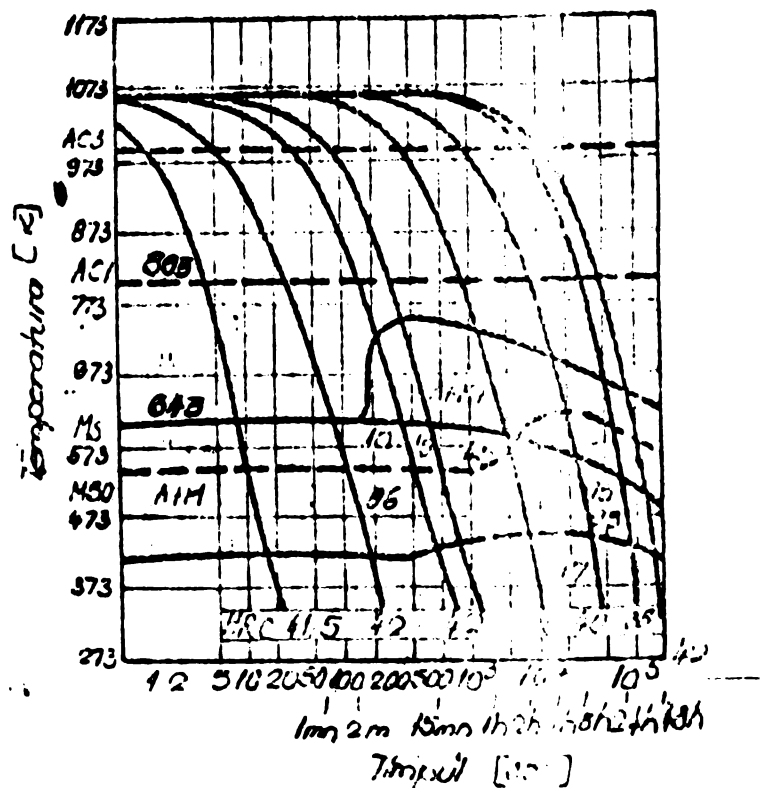


Fig.1.6. Diagrama CCT a oțelului aliat cu 9% Ni.

Pentru oțelurile aliate cu 9% Ni se recomandă aplicarea următoarelor tipuri de tratamente termice:

- normalizare la 1153...1193 K /1,5 min/l mm grosime/aer + normalizare la 1053...1093 K/1,5 min/l mm grosime/ aer + revenire la 833...873 K/120 min/aer.
- călărire la 1063...1093 K/1,5 min/l mm grosime/apă + revenire la 833...873 K/120 min/aer

1.5.2. Proprietăți fizice.

Modul de variație a cîtorva proprietăți fizice ale oțelului aliat cu 9% Ni în funcție de temperatură de încercare este redat în tabelul 1.4.

Se remarcă faptul că schimbări esențiale apar pentru valorile conductivității termice și ale coeficientului mediu de dilatare termică liniară.

Proprietățile fizice ale oțelului cu 9% Ni funcție de temperatură de încercare

Tabelul 1.4.

Nr. crt.	Proprietatea fizică	Unitatea de măsură	Temperatura de încercare [K]	Valori medii
1.	Densitatea	Kg/m ³	293	7,86.10 ³
2.	Căldura specifică	J/Kg.grd	77...300...643	323
3.	Modulul de elasticitate	daN/mm ²	293 77	13.600 20.700
4.	Rezistivitatea	$\mu\Omega/cm$	293	33
5.	Conductivitatea termică	J/m.s.grd.	73 123 193 223 273 373 473	12,48 19,13 22,88 86,20 28,28 31,50 33,69
6.	Coeficientul de dilatare liniară mediu	1/grd	73...289 173...289 193...289 198...373 289...373 289...473	8,3.10 ⁻⁶ 9,5.10 ⁻⁶ 9,6.10 ⁻⁶ 10,4.10 ⁻⁶ 11,6.10 ⁻⁶ 11,8.10 ⁻⁶

1.5.3. Caracteristici mecanice

Oțelul aliat cu 9 % Ni se comportă foarte bine într-un domeniu de temperaturi extrem de larg 723 K ... 77 K. În tabelul 1.5 sunt prezentate caracteristicile mecanice impuse de anumite norme și specificațiile străine. În figurile 17 și 18 este redată evoluția caracteristicilor de tractiune respectiv a rezilienței, în funcție de temperatura de încercare. Se remarcă în special valorile mari ale rezilienței, obținute la temperaturi scăzute (73... 23 K).

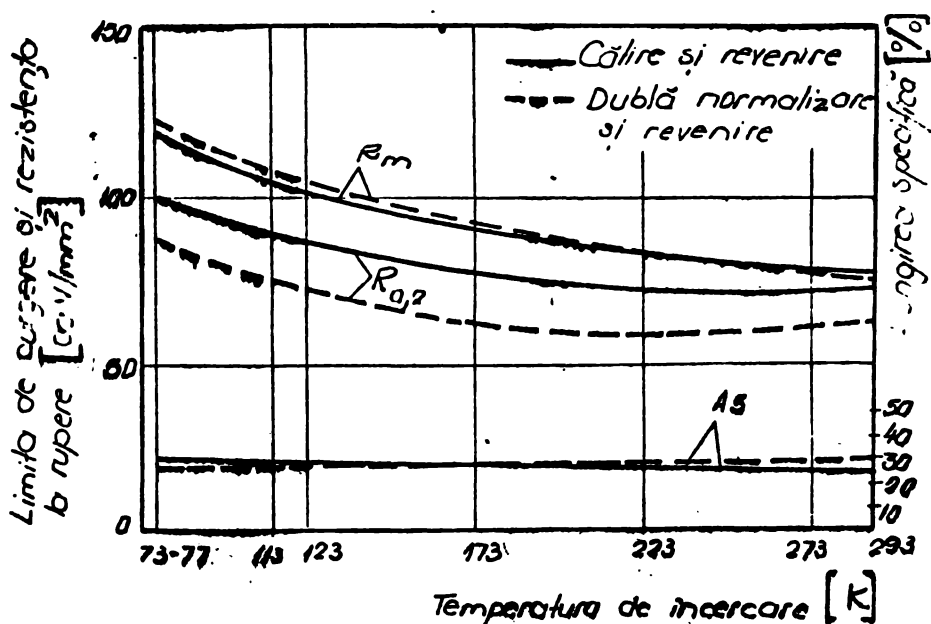


Fig. 1.7. Caracteristicile mecanice ale oțelului cu 9 % Ni funcție de temperatura de încercare.

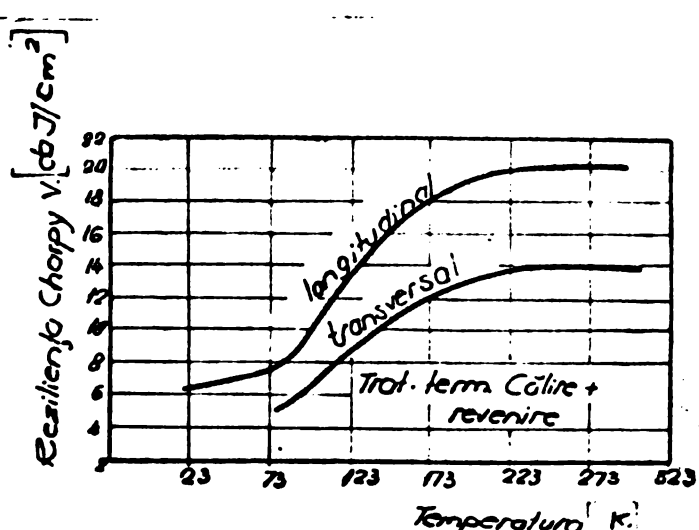
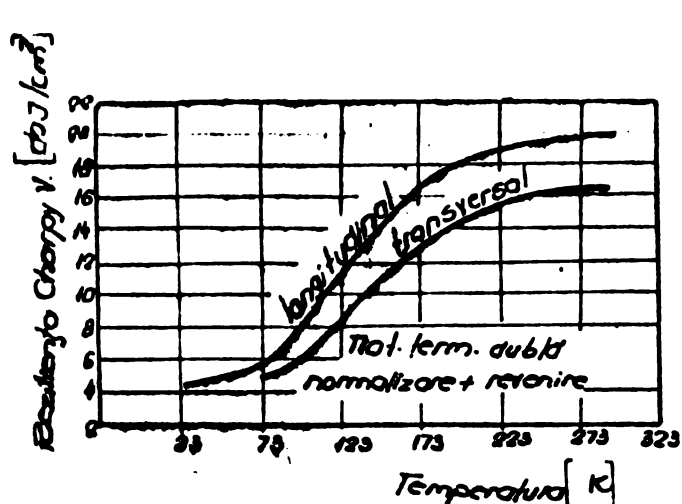


Fig. 1.8. Reziliența Charpy V Obținută pe epruvete prelevate longitudinal și transversal din table de oțel cu 9 % Ni funcție de temperatura de încercare și starea de tratament termic.

TABEL 1.5.

CARACTERISTICILE MECANICE ALZ OTELULUI CU 9 % Ni
IMPUSE DE ANUMITE NORME SI SPECIFICATII STRAINE

Nr. ert.	Starea de livrare și proprietăți	ANGLIA BS 1501- 1970 509 10Ni36	BELGIA NBN 510 630- 70 9 % Ni	FRANTA AFNOR NFA 36-208 x8 Ni9	R.F.G. Werkstoffol 5920-66 xLoNi9	ITALIA UNI DIN (1971)	NORVEGIA NV 20- 2 A 353-70 E Grade A	S.U.A. ASTM
1.	Treatament termic N.N.R. sau C.R.	-	-	N.N.R. sau C.R.	N.N.R. sau C.R.	N.N.R. sau C.R.	N.N.R. sau C.R.	C.R.
2.	Grosimea mm	-	-	16-40	30-50	-	-	-
3.	Rm daN/mm ²	la T = 293 K	69,5	69,5 83,3	68,6	63,7-83,4	68,6-83,4	63,7 68,9-82,7
4.	R _{o,2} daN/mm ²	la T = 293 K	52,5	58,7 52,9	58,8	49,0	49,0	44,1 58,6
5.	Z % la T = 293 K	-	-	-	50,0	-	50	-
6.	A % la T = 293 K	18,0	18,0 17,0	19,0	17,0	19,0	20	20 20
7.	Reziliența daj/cm ² Tip și temperaturi de încercare.	KCV lungit T = 77	KCV lungit T = 77	KCV-lungit lungit T = 77	DVM KCV lungit T = 77	KCV lungit T = 77	T = 77 T = 77	KCV T = 77 T = 77 T = 77
		K	L	T	L	T	L	T
		42,1	41,2 4,9	6,0	5,9 3,4 4,2	4,3 4,2 3,4 4,2	4,2 4,2 3,4 4,2	4,2 4,2 3,4 4,2

N - normalizare ; C - călire ; R - revenire.

Efectul numărului de cicluri de răcire între 293... 77 K cu sau fără aplicarea unor tehsioni de întindere, asupra rezilienței KCV pentru starea de tratament - dublă normalizare și revenire este dat în tabelul 1.6.

Comportarea bună a oțelului și la temperaturi ridicate reiese clar în evidență din tabelul 1.7 unde sunt prezentate cîteva valori ale caracteristicilor mecanice pentru diferite variante de tratament termic și două grosimi de tablă.

Efectul numărului de cicluri de răcire între 293 K și 77 K asupra rezilienței oțelului cu 9 % Ni.

Tabelul 1.6.

Nr. crt.	Tensiunea aplicată daN/mm ²	Nr. ciclurilor de răcire între 293 K și 77 K	Reziliența KCV KCV	daj /cm ² Ruptură fibroasă %	T = 293 K KCV	T = 77 K Ruptură fibroasă %
1.	0	0	18,7	100	7,75	65
2.	0	20	18,6	100	8,50	67
3.	15,3	20	18,5	100	8,50	67

Caracteristicile mecanice ale oțelului cu 9 % Ni
la temperaturi ridicate.

Tabelul 1.7.

Nr. crt.	Temperatura de încercare K	Grosime tablă mm	Tratament termic	Rm daN/m ²	R _{e,2} daN/m ²	A %	Z %
	293			76	64	25	74
1.	393	13	călire + revenire	70	63	23	73
	503			70	62	23	73
	613			66	56	31	78
	723			52	47	26	79
2.	293	13	Dublă normalizare + revenire	76	61	26	71
	393			69	53	24	71
	503			70	52	26	69
	613			63	48	30	77
	723			48	41	30	61
3.	293	51	Călire + revenire	75	69	25	72
	393			70	63	23	73
	503			70	61	22	69
	613			66	57	29	77
	723			52	48	26	82
4.	293	51	Dublă normalizare + revenire	71	55	26	69
	393			63	50	25	72
	503			62	49	25	70
	613			61	47	32	76
	723			46	39	34	85

1.6. SCOPUL SI OBIECTIVELE LUCRARII.

Actualmente interesul pentru utilizarea ratională a oțelurilor la temperaturi joase este deosebit, iar diferitele întreprinse tind să mărească atât capacitatea cât și securitatea instalațiilor în acest domeniu.

Oțelurile criogenice aliate cu 9% Ni trebuie să prezinte o bună tenacitate la temperatura acestui lichid (la 77 K, $\sigma_{V23} > 28$ MPa). Cu tot efortul experimental care se desfășoară în prezent, numai pentru puține materiale sunt cunoscute caracteristicile de tenacitate, aceasta în primul rând datorită extremității sensibilității a acestor caracteristici la microstructură și impurități care pot diferenția esențial chiar în cadrul același mărci de material în funcție de evoluția concretă a elaborării pînă în stadiul destinat aplicației.

Oțelurile criogenice aliate cu 9% Ni se folosesc în construcții sudate de mare răspundere (rezervoare și nave pentru transportul gazelor liquefiate etc.) motiv pentru care cunoașterea comportării la sudare a acestora prezintă importanță deosebită.

Dacă pentru oțelurile criogenice cu 9% Ni din import (NFA36-208-U din Franța, ASTM A353-70a din USA, VDEh 680-70 din R.F.G., BS 1501-509.70 din Anglia, NBN 630-70 din Belgia) există indicații mai detaliate privind comportarea la sudare [2,3,4,5,6,7,29,47,94,95,117,122] pentru oțelurile criogenice românești indicațiile sunt mai reduse [14,16,105].

De menționat că electrozii utilizati la sudarea oțelului aliat cu 9% Ni au fost de mai multe tipuri și se pare că nu a fost fabricat un electrod care să satisfacă toate cerințele impuse. În literatură apar des citații electrozii Incowel A și Inconel 132 care dă reziliență de cca 9...12 daN/cm² la 77 K, au însă caracteristici mecanice de rezistență în special limita de curgere mult mai mică decât a mățalului de bază și un preț de cost mult prea ridicat în comparație cu a oțelului cu 9% Ni [7,47,50,70,80,95,109].

Pînă în prezent există considerente și înințind seama de metodologii existente în literatură de specialitate cu incertitudile caracteristice transformărilor din zona influențată termic și a unor criterii cunoscute de apreciere a comportării la sudare a oțelurilor teza de doctorat urmărește două obiective importante:

- Cercetarea modificărilor structurale din zona influențată termic (ZIT) a oțelurilor criogenice aliate cu 9% Ni în urma simulației ciclurilor termice de la sudare folosind energii liniare diferite.

Analizând comparativ reziliența, duritatea și starea structurală se scot în evidență particularitățile transformărilor structurale din ZIT a oțelurilor criogenice românești.

- Studierea influenței naturii metalului depus asupra temocității cusăturii și a ZIT-ului, atât la temperatură ambientă cât și la 77 K. În acest scop s-au folosit electrozi austenitici Cr25Ni20B din producția curentă și două categorii de electrozi elaborate experimental (electrozi cu compoziție chimică similară cu a materialului de bază simbolizați cu EL9Ni respectiv electrozi cu 17% Cr, 12% Ni, 8% Mn, 3,5% W simbolizați cu ERG111.1) precum și sîrmă cu 9% Ni de 1,2 și 1,6 mm.

Îmbunătățirea substanțială a rezistenței mecanice prin folosirea electrozilor cu 9...13% Ni, față de electrozi austenitici Cr25Ni20B din producția curentă cu menținerea unor valori corepunzătoare pentru caracteristicile de plasticitate, permit realizarea unor produse mai ușoare, cu o rezistență și securitate mărită în exploatare, respectiv o utilizare ratională a aliajelor metalice în construcția de mașini.

CAPITOLUL II

CERCETARE PRIVIND INFLUENȚA CICLULUI TERMIC

ASUPRA CARACTERISTICILOR DE REZISTENTA LA SOC

A OTELURILOR CRIGENICE ALIATE CU 9% Ni.

2.1. CONSIDERATII TEORETICE PRIVIND CICLURILE TERMICE DE LA SUDARE.

La sudarea cu arcul electric componentele se încălzesc datorită căldurii metalului topit al băii metalice și se formează zona influențată termic ZIT.

Variatia temperaturii în orice punct al ZIT-ului decurge conform unui ciclu termic (fig.2.1).

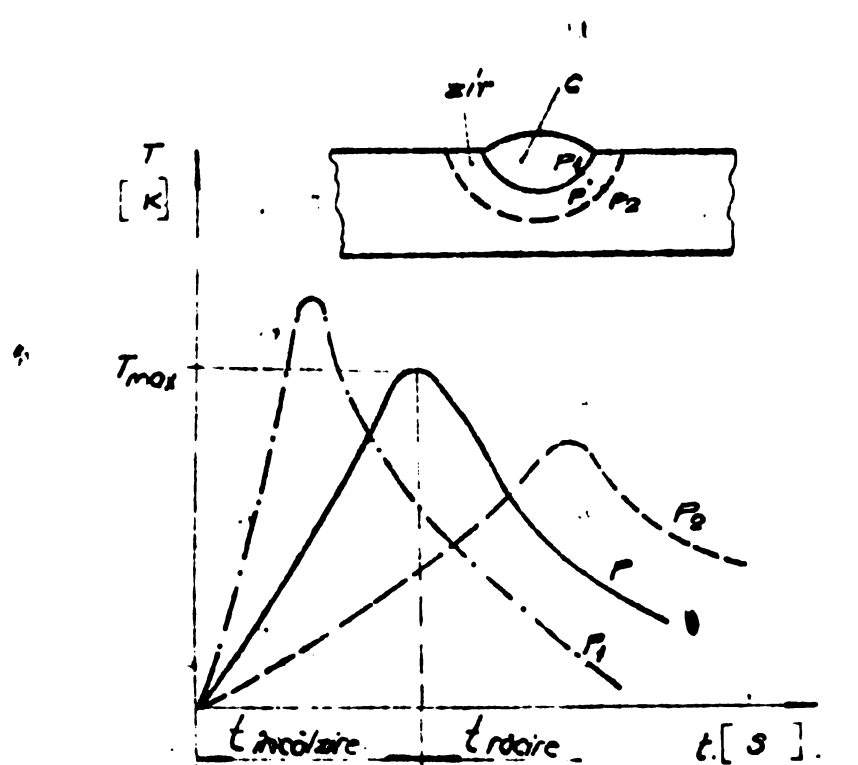


Fig.2.1. Ciclul termic într-un punct din zona influențată termic (ZIT) la sudarea cu arcul electric.

tul P_1) iar răcirea cu atât mai încetă cu cît punctul este mai departat de cusătura (punctul P_2).

Viteza de răcire este în general mult mai mică decât viteza de încălzire, iar timpul de menținere în zona temperaturilor maxime este relativ scurt în raport cu durata întregului ciclu de iziere-răcire până la temperatură ambientă.

Se remarcă faptul că un ciclu termic parcurs de către un anumit punct (P) constă dintr-o încălzire rapidă pînă în vecinătatea unei temperaturi maxime unde viteza de încălzire scade treptat pînă la zero, după care urmărește o răcire cu o viteză din ce în ce mai mică pe măsura scăderii temperaturii.

Încălzirea este cu atât mai rapidă cu cît punctul este mai apropiat de cusătură (punc-

64401
208-A

Caracteristic pentru ciclurile termice parcuse la sudare este că atât vitezele de încălzire cât și cele de răcire variază continuu și sunt foarte mari în raport cu cele întâlnite la tratamente termice.

Ciclurile termice exercită o acțiune esențială asupra însușirilor îmbinărilor sudate, mai ales în cazul otelurilor aliate. Linia modernă la stabilirea procesului tehnologic optim de sudare se bazează pe posibilitățile crescănde de predeterminare a structurii metalografice din diferitele zone ale îmbinării sudate și implicit însușirile tehnice a acestor zone ca atare și în ansamblu.

O asemenea predeterminare este posibilă dacă se pot urmări pe cale de calcul sau experimental ciclurile termice parcuse de diferitele zone ale îmbinării, dacă se cunosc modificările structurale ale materialului în urma acestor cicluri precum și dacă se dispune de datele privind însușirile tehnice ale diferitelor structuri apărute.

În sudarea otelurilor aliate parametrii cei mai interesanți ai ciclului termic sunt viteza instantaneă de răcire la o anumită temperatură, viteză medie de răcire într-un anumit interval de temperatură, temperatura maximă atinsă și timpul de menținere pentru o anumită temperatură. Acești parametri pot fi calculați cu ajutorul relațiilor stabilite de N.N.Nikulin [75] prezentate și în lucrările [57,77].

Urmărirea ciclului termic însă numai pe bază de calcul poate da naștere unor erori care au la bază ipotezele simplificate acceptate la stabilirea formulelor sau utilizarea unor valori neadecvate pentru constantele termofizice sau alte mărimi care intervin în calcul. Din aceste motive în stadiul actual de dezvoltare este necesară a verificare experimentală a rezultatelor calculului în vederea definitivării tehnologiei.

Ciclurile termice pot fi reproduse și experimental cu ajutorul simulatorelor de cicluri termice. Simulatorul de cicluri termice este un aparat care produce într-o spravetă cicluri termice de tipul celor provocate în ZIT de procesele de sudare. Se obține astfel un metal de bază omogen afectat de ciclul termic cu parametrii doriti. Spravetele astfel pregătite pot fi suptate la diferite încorăceri.

O caracteristică foarte importantă a ciclului termic în sudarea cu arcul electric respectiv a ciclului termic simulat este că viteza de răcire instantaneă în intervalul $1073\ldots773\text{ K}$ ($300\ldots500^\circ\text{C}$) este practic independentă de poziția punctului considerat în raport

cu linia de fuziune. Acest interval de temperatură este important din punct de vedere al modificărilor structurale la răcirea continuă.

Pornind de la aceste considerente în cele ce urmează se prezintă modificările structurale din ZIT a oțelurilor criogenice cu 9%Ni prin simularea unor cicluri termice (cazul S) și prin suprapunerea peste aceste cicluri a unui tratament termic de detensiōnare (cazul S+DT) în vederea stabilirii tehnologiei optime de sudare a acestor oțeluri.

2.2. MATERIALE SI PROBE FOLOSITE

Lucrările publicate în domeniul criogenic precizează că la oțelurile aliante cu 9%Ni, conținutul în carbon trebuie să fie cît mai mic posibil (sub 0,15%) pentru a se obține o tenacitate bună la temperatura azotului lichid (77 K). Elementele însotitoare permanente se limitează la următoarele valori: Si = 0,15...0,30%; Mn < 0,8%; S < 0,04%; P < 0,035%.

Prezența Ni ca element de aliere face să crească tenacitatea, călibilitatea și să scadă fragilitatea materialului. Atât carbonul cât și siliciul provoacă durificarea și fragilizarea oțelului. Dacă conținutul în aceste elemente este ridicat, este necesară mărirea și a procentajului de nichel pentru a nu se diminua rezistența la solicitări dinamice.

În scopul menținerii unor valori ridicate ale caracteristicilor de ductilitate și la temperaturi scăzute se impune ca, conținutul de incluziuni nemetalice și de gaze (hidrogen, oxigen) să fie cît mai mic posibil. Din aceeași motive este limitată și conținutul în S și P.

Elaborarea acestui oțel se poate face în cuptoare Martin cuptoare electrice acide sau bazice, aceasta nepunând probleme deosebite. Unele țări au trecut la elaborarea acestui oțel în convertor cu insuflare de oxigen, dar se condiționează gradul de puritate al materiei prime.

Degărește la acest material există tendință de formare a unor fisuri interne (fisuri de contracție în miezul lingoului) este necesar că viteza de răcire a lingoului să nu depășească pe cea corespunzătoare structurilor de echilibru ($V_r \leq 4^{\circ}\text{K}/\text{min}$).

Pentru experimentări s-au folosit șarje din oțel elaborate în cuptoare electrice în unități siderurgice din țară după o tehnologie stabilită în lucrările [96,99]. Compoziția chimică a acestora

este prezentată în tabelul 2.1. și se încadrează în normele și specificațiile naționale ale țărilor producătoare și consumatoare de oțeluri criogenice din lume: NFA 36-208-U din Franța; ASTM A 353-70a și ASTM A 553-70a Grade A din S.U.A. VDEh680-70 din RFG; BS1501-509.70 din Anglia. După turnare și laminare semifabricatele au fost supuse tratamentului termic de recoacere completă la 1173 K urmată de călire și revenire.

Compoziția chimică a oțelului cu 9%Ni folosită în cadrul încercărilor experimentale.

Tabelul 2.1.

Marca	Grosimea mm	Compoziția chimică %								
		C	Si	Mn	S	P	Cu	Ni	Cr	Al
12Ni90	12	0,11 0,13	0,11 0,18	0,17 0,21	0,020 0,025	0,013 0,020	0,04 -	9,35 9,38	0,64 0,64	0,012 -
	30	0,14 0,15	0,26 0,34	0,40 0,45	0,003 0,006	0,011 0,020	-	8,80 8,90	-	0,005 0,027

De menționat că oțelurile criogenice aliate cu 9%Ni pot fi tratate termic fie prin dublă normalizare și revenire fie prin călire și revenire parțială termică fiind următorii:

- a. Normalizare la 1173 K/2min/1mm grosime/aer + Normalizare la 1033 K/2min/1 mm grosime + Revenire la 848 K/120 min/aer;
- b. Călire la 1083 K/2 min/ 1 mm grosime + Revenire la 843 K/120 min/aer. Caracteristicile de rezistență mecanică sunt sensibil apropiate la ambele variante de tratament, în schimb tenacitatea este mai favorabilă la starea de călire și revenire [101;105] motiv pentru care s-a ales varianta călire la 1083 K/2 min/ 1 mm grosime + Revenire la 848 K/120 min/aer.

Ciclograma de tratament termic este prezentată în figura 2.2

Structura obținută în urma tratamentului termic de călire și revenire este formată din sorbită de revenire și precipitații de carburi de tip cementitic.

2.3. SIMULAREA CIICLURILOR TERMICE DĂ-SUDARE PENTRU OȚELURILE CRIOGENICE ALIATE CU 9% Ni.

Din tabăra de oțel criogenic cu 9% Ni de 12x12x300 mm, respectiv 30x130x300 mm în stare călită și revenită s-au prelevat probe de reziliență de 11x11x55 mm care au fost supuse simulării de cicluri termice.

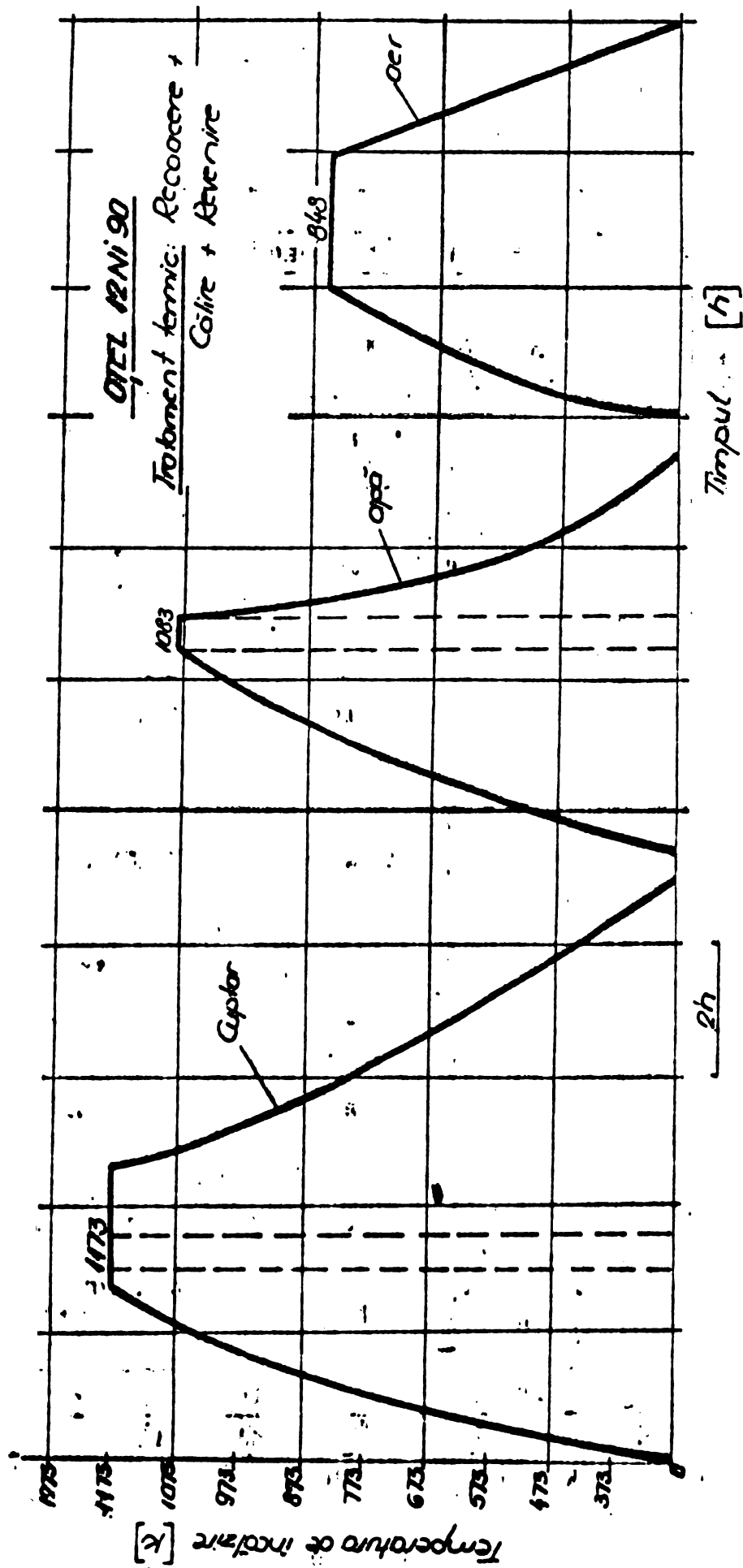


Fig. 2.2. Ciclograma de tratament termic

S-au considerat ciclurile termice simulate avind următoarele caracteristici (fig.2.3 și tabelul 2.2)

- temperaturi de vîrf variabile și anume 1273; 1473 și 1623 K;
- atingerea temperaturii de vîrf considerate într-un timp de incălzire de 10 secunde;

- viteza de răcire ale ZIT-ului, în intervalul 1073...773 K (800-500°C) constantă și anume 30°C/s ceea ce corespunde la tempi de răcire variabili t_{8/5} în funcție de energia liniară introdusă și de grosimea tablei (tabelul 2.2).

Simularea s-a făcut cu aparatul Smitwield LS1402.

După simulare un număr de probe au fost detensionate la temperatură de 848 K, timp de 2 ore conform diagramei din fig.2.3b.

Tempi de răcire (t_{8/5}) funcție de energia liniară și grosimea tablelor.

Tabelul 2.2.

Energia liniară E _L [kJ/cm]	10	40	80	12	14	18	20	30	35	40
Timpul de răcire t _{8/5} s	8	133	4	6	8	10	11	17	20	23
Grosimea tablei mm	12							30		

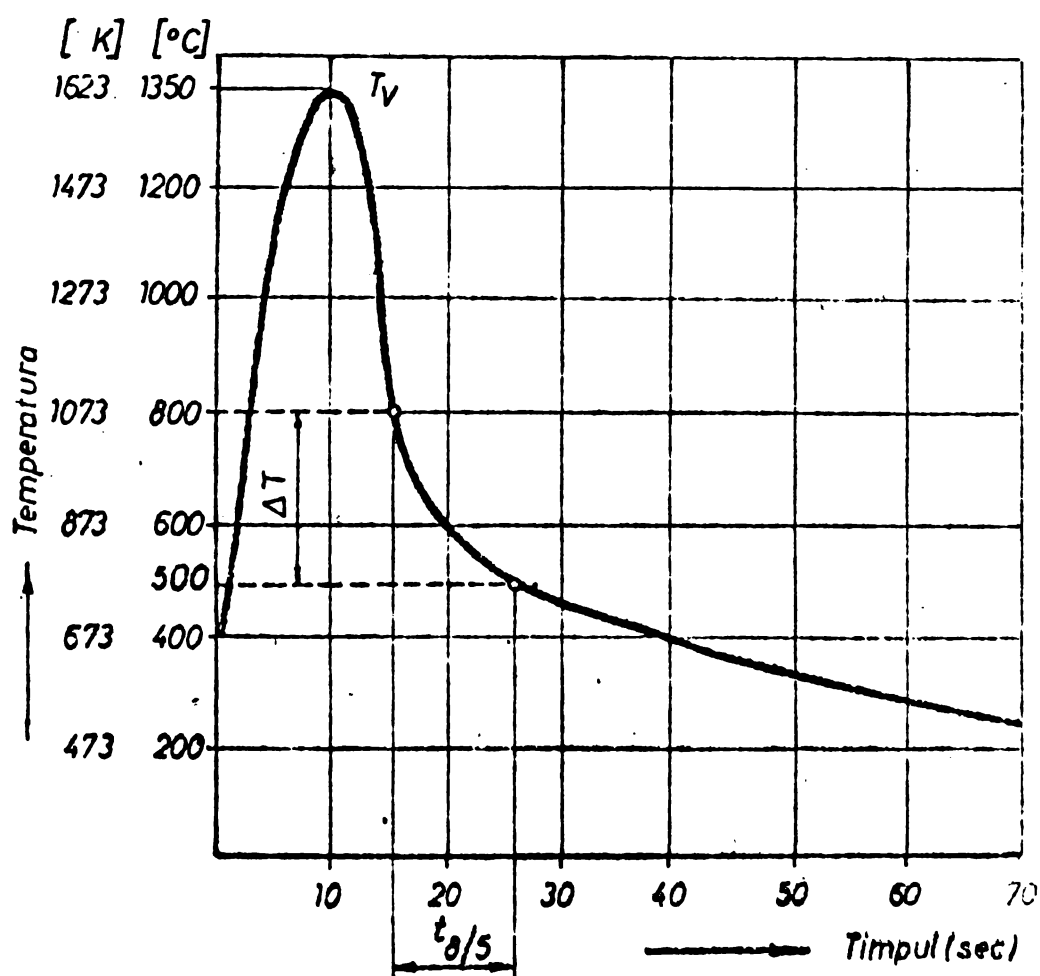
2.4. ANALIZE STRUCTURALE ASUPRA PROBELOR SIMULATE

Cercetarea microstructurală s-a făcut cu ajutorul microscopului optic tip Epytip și cu ajutorul microscopului electronic BS613 folosind o replică dublă de acetat de celuloză și carbon umbrită cu crom.

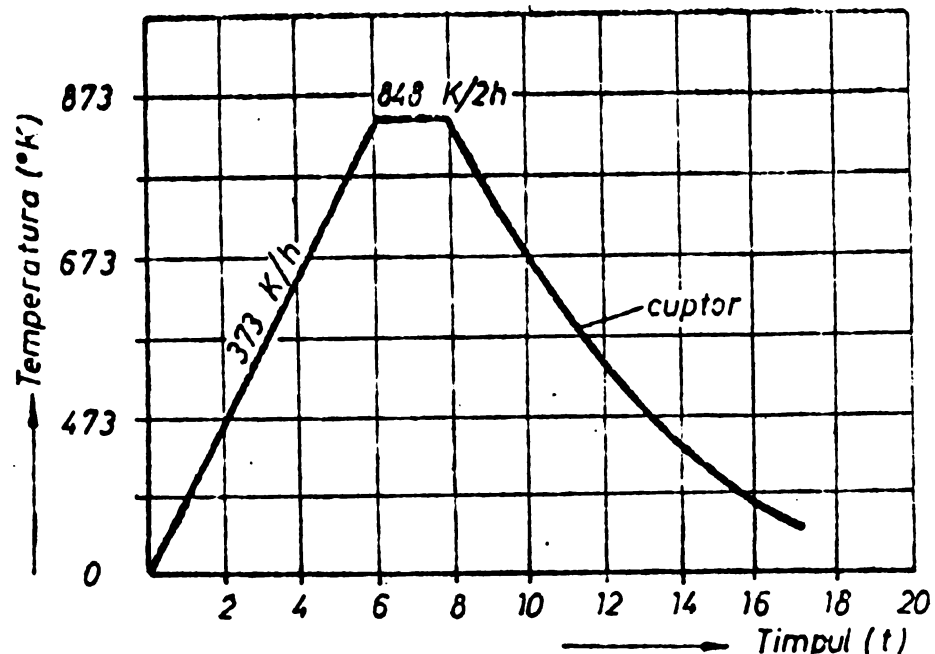
În planșele I și II sunt redate microfotografii realizate cu ajutorul microscopului electronic pe probe similate respectiv simulate și detensionate folosind pentru simulare diferite energii liniare, acestea reliefând următoarele:

- la T_v = 1273 K structurile obținute sunt formate din cristale aciculare de martensită cubică și austenită reziduală în centrul ZIT-ului (planșa I fig. 1) iar la marginea ZIT-ului structura este alcătuită din bainit și granulară (Planșa I fig. 2)

În cazul probelor similate și detensionate structura este formată din ferită și carburi intermedii în centrul ZIT-ului (Planșa fig.1), iar la marginile ZIT-ului apare un aşezare de ferită și carburi (Planșa II fig.2).



a)



b)

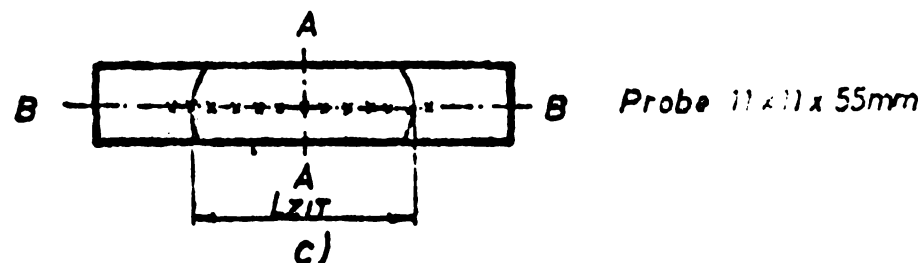


Fig 2.3 Ciclul termic (S), tratamentul termic (DT) și tipul probei

- la $T_v = 1473$ K în centrul ZIT-ului structura este formată din martensită cubică de dimensiuni ceva mai mari comparativ cu cea obținută la $T_v = 1473$ K (Plașa I fig.3) iar la marginea ZIT-ului apare martensită cubică mult mai fină comparativ cu centrul ZIT-ului și austenită reziduală (Plașa I fig.4).

La probele simulate și detensionate structura în centrul ZIT-ului este alcătuită din ferită aciculară și carburi cementitice precipitate la limita de separație dintre cristale (Plașa II fig.3) iar la marginea ZIT-ului apare amestec de ferită și carburi cementitice de formă globulară care au suferit fenomenul de coalescență (Plașa II fig.4).

- la $T_v = 1623^{\circ}\text{K}$ în centrul ZIT-ului structura este alcătuită din cristale martensitice orientate sub formă de placete și zimțute în limite datorită îngrădirii proceselor de alunocare (Plașa I fig.5) iar la marginea ZIT-ului apare amestec de bainită granulară și aciculară (Plașa I fig.6)

La probele simulate și detensionate structura este alcătuită din ferită cu caracter acicular și carburi intermediare de formă lămașară în centrul ZIT-ului (Plașa II fig.5) iar la marginile ZIT-ului apare ferită, carburi cementitice și carburi intermediare (Plașa fig.6).

2.5. ANALIZE SCLEROVETRICE ASUPRA PROBELOR SIMULATE

Determinările de duritate, urmărind ridicarea sclerogramelor în zona influențată termic a probelor simulate s-au efectuat conform STAS 492-78 cu ajutorul metodei Vickers, folosind sarcina de 49,6 N(HV5). Imprimările s-au efectuat în lungul axelor de simetrie a epruvetelor, pe direcțiile A-A și B-B (fig.2.3c)

Prin folosirea unui pas păroximativ constant de 0,5 mm s-a respectat atât condiția de non influență reciprocă $p > 2,5d$, d fiind diagonala medie a amprentei cât și o densitate suficientă pentru determinarea cu acuratețea necesară a lungimii zonei influențate ter-

Imprimările pe direcția B-B, au urmărit determinarea valorilor de referință ale durării din ZIT precum și verificarea de secțiune a regimurilor de simulare.

Rozultatele măsurătorilor de duritate au fost prelucrate statistic și anume:

a. Credibilitatea datelor experimentale a fost verificată cu ajutorul criteriului Chi-squared;

PLAUSA I



a. $E_L = 10 \text{ kJ/cm}$



b. $E_L = 40 \text{ kJ/cm}$

Fig.1 Microstructura în centrul ZIT-ului
MEx2700; $T_V = 1273^\circ\text{K}$



a. $E_L = 10 \text{ kJ/cm}$



b. $E_L = 40 \text{ kJ/cm}$

Fig.2. Microstructura la marginea ZIT-ului
MEx2700; $T_V = 1273^\circ\text{K}$

PLANSA I (continuare)



a. $E_L = 10\text{ kJ/cm}$



b. $E_L = 40\text{ kJ/cm}$

Fig.3 Microstructura în centrul ZIT-ului
MEx2700; $T_V = 1473^\circ\text{K}$



a. $E_L = 10\text{ kJ/cm}$



b. $E_L = 40\text{ kJ/cm}$

Fig.4. Microstructura la marginea ZIT-ului
MEx2700; $T_V = 1473^\circ\text{K}$

PLANSA I(continuare)



a. $E_L = 20 \text{ kJ/cm}$



b. $E_L = 40 \text{ kJ/cm}$

Fig.5. Microstructura în centrul ZIT-ului

ME x 2700; $T_v = 1623^\circ\text{K}$



a. $E_L = 10 \text{ kJ/cm}$



b. $E_L = 40 \text{ kJ/cm}$

Fig.6 Microstructura la marginea ZIT-ului

ME x 2700; $T_v = 1623^\circ\text{K}$

PLANSA II

Probe simulate cu $E_L = 10 \text{ kJ/cm}^2$ și detensionate la $848^\circ\text{K}/2\text{h}$



Fig.1. Microstructura
în centrul ZIT-ului
MEx2700. $T_V = 1273^\circ\text{K}$



Fig.2. Microstructura
la marginea ZIT-ului
MEx2700. $T_V \approx 1273^\circ\text{K}$



Fig.3. Microstructura
în centrul ZIT-ului
MEx2700. $T_V = 1473^\circ\text{K}$

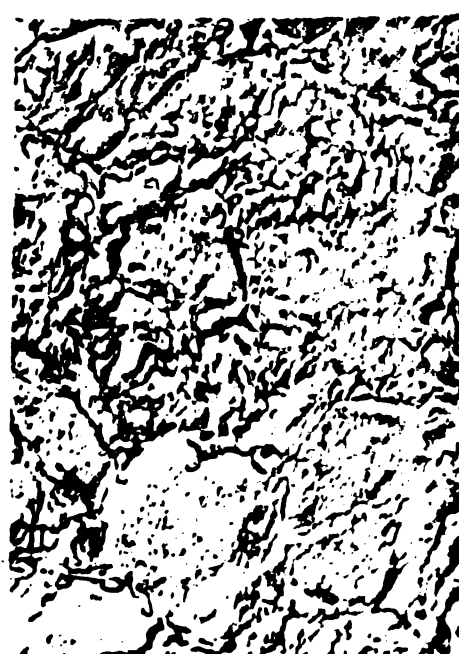


Fig.4. Microstructura
la marginea ZIT-ului
MEx2700, $T_V \approx 1473^\circ\text{K}$

PLANSA II (continuare)
Probe simulate cu $E_L = 10\text{KJ/cm}$ și detensionate la $848^\circ\text{K}/2\text{h}$



Fig.5. Microstructura
în centrul ZIT-ului
 $\text{NE} \times 2700$, $T_V = 1623^\circ\text{K}$



Fig.6. Microstructura
la marginile ZIT-ului
 $\text{NE} \times 2700$, $T_V = 1623^\circ\text{K}$

b. Limitele intervalor de confidență între care urmează să fie cuprinsă o proporție $P = 0,95$ din numărul măsurătorilor efectuate s-a calculat cu o încredere $\gamma = 0,99$.

Spre exemplificare în tabelele 2.3 și 3.4 se prezintă metodologia de calcul statistic utilizată în cazul folosirii pentru simulare o energie liniară de 10KJ/cm și temperaturi de vîrf $T_V = 1273$, 1473 și 1623°K , iar în tabelul 2.5 se prezintă valoarea medie și limitele intervalor de confidență pentru toate încercările efectuate.

Sclerogramele determinate pentru cele trei variante de temperatură de vîrf (T_V) și două energii liniare 10 și 40KJ/cm sunt prezentate în figurile 2.4...2.11.

Analiza valorilor măsurătorilor de duritate evidențiază următoarele aspecte:

- nu apar diferențe semnificative între rezultatele măsurătorilor de duritate, folosind pentru simulare energii liniare cuprinse între $8\dots 40\text{ kJ/cm}$ la aceeași temperatură de vîrf;

- la aceeași temperatură de vîrf aspectul curbelor de variație a durătății pe probe simulate respectiv simulate și detensionate este asemănător;

- cu cît temperatura de vîrf T_V se deplasează spre valori mai ridicate cu atât diferența dintre durătățile probelor simulate respectiv simulate și detensionate măsurate pe lungimea ZIT-ului este mai mare;

- tratamentul termic de detensionare conduce la scăderea durătății din ZIT, la valori apropiate de ale metalului de bază fiind astfel oportun în fmbunătățirea structurii influențate de ciclurile termice de la sudare;

- calculul statistic a valorilor măsurătorilor de duritate atestă o bună omogenitate a structurii în ZIT, la aceeași temperatură de vîrf (T_V) toate valorile de duritate fiind cuprinse între limitele intervalor de confidență calculate cu o încredere $\gamma = 0,99$.

2.6. INCERCARI DE INCOVOIERE PRIN SOC

Încercările de incovoiere prin soc s-au făcut conform STAS 7511-73 pe epruvete ISO-V obținute din probe sudate respectiv sudate și detensionate la temperatură de încercare de 213 și 77°K .

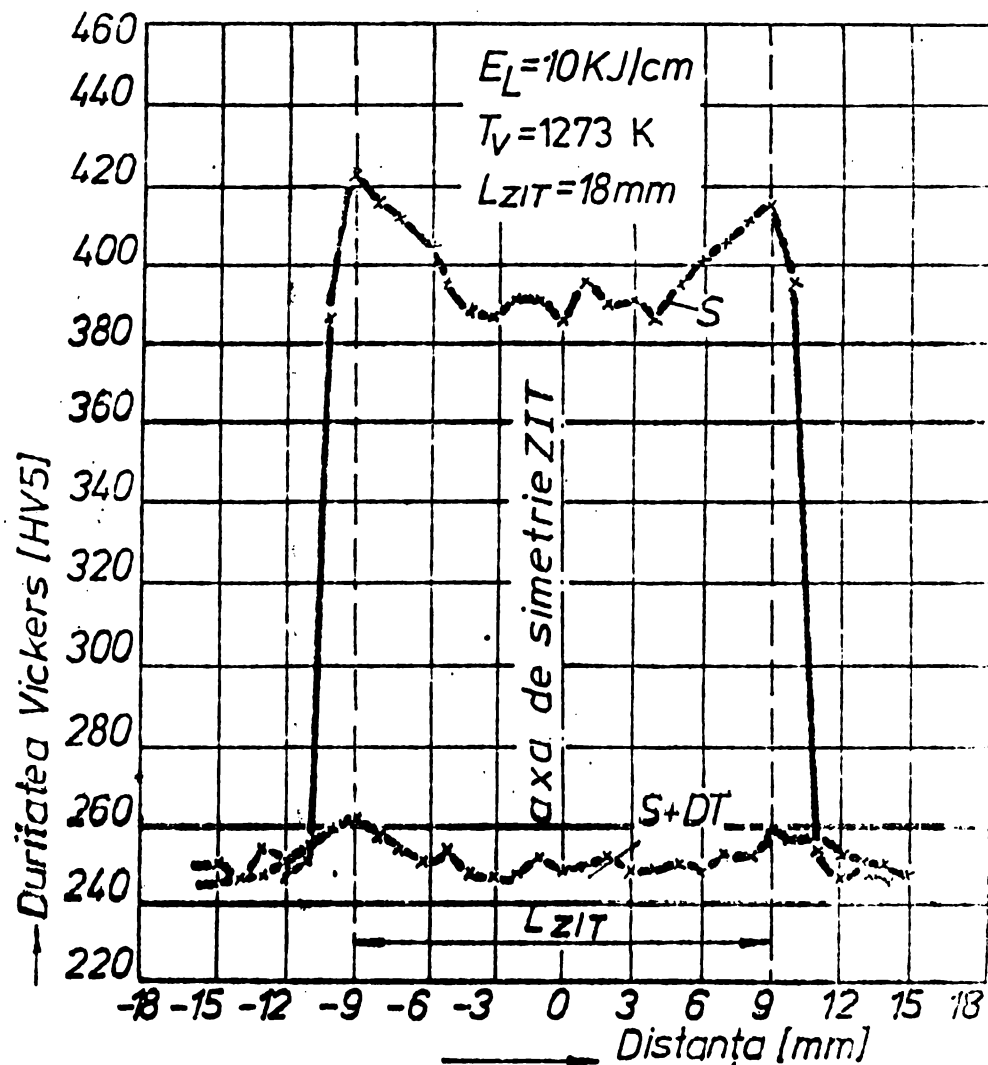


Fig. 2.4. Variatia duritatii HV5 functie de distanta la $T_V=1273 \text{ K}$

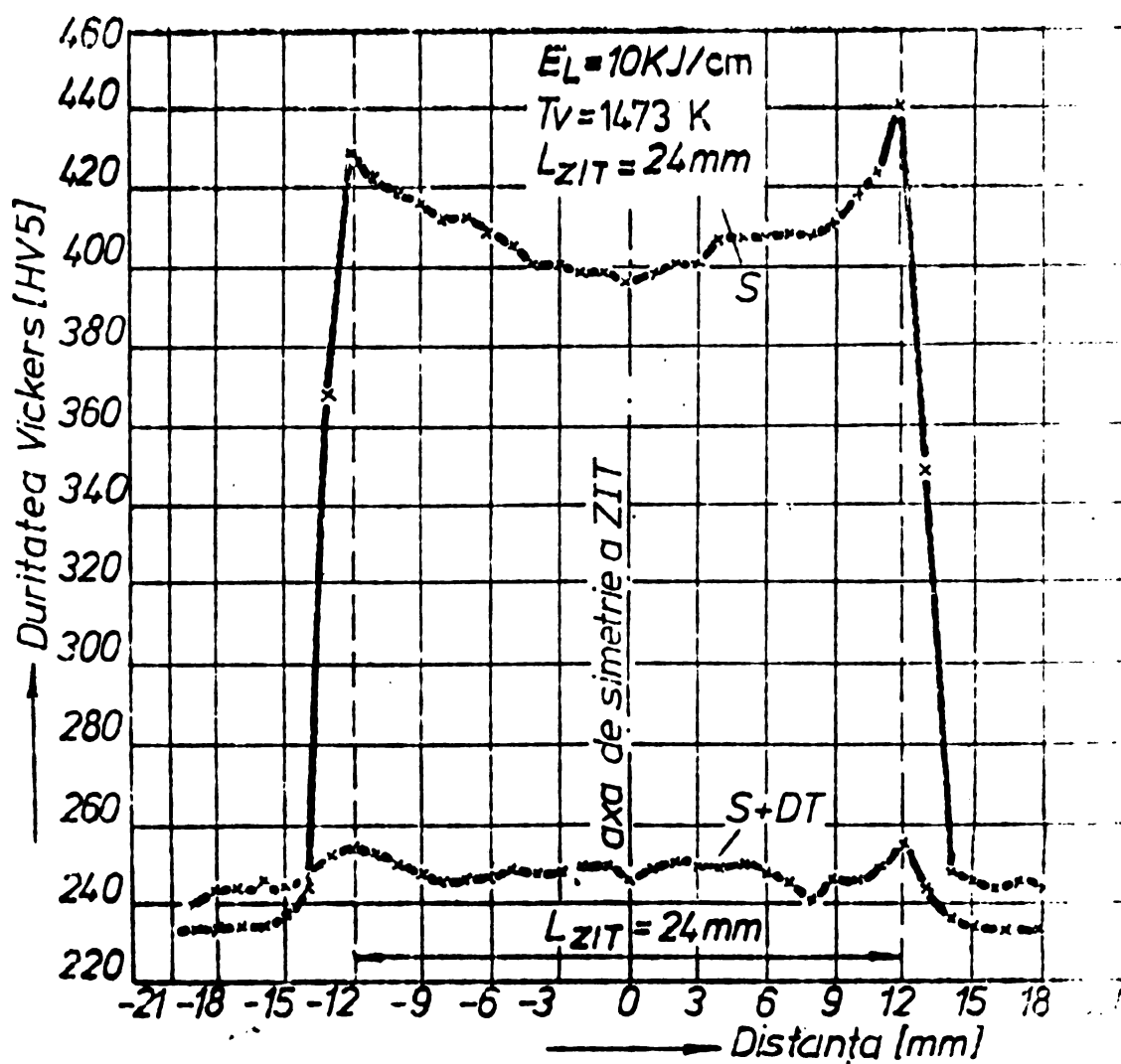


Fig. 2.5. Variatia duritatii HV5 functie de distanta la $T_V=1473 \text{ K}$

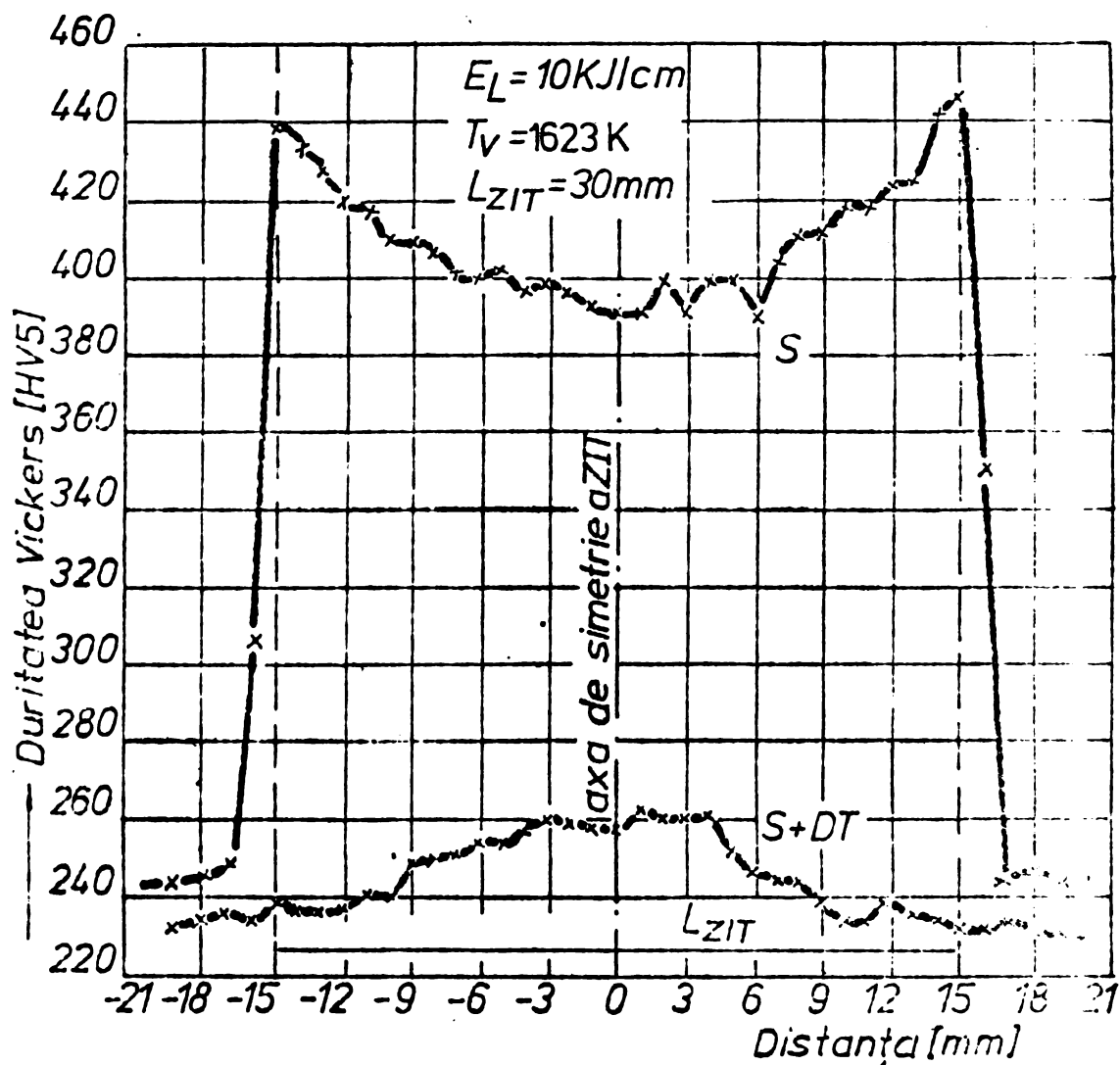


Fig. 2.6. Variatia duritatii HV5 functie de distanta la $T_V = 1623 \text{ K}$

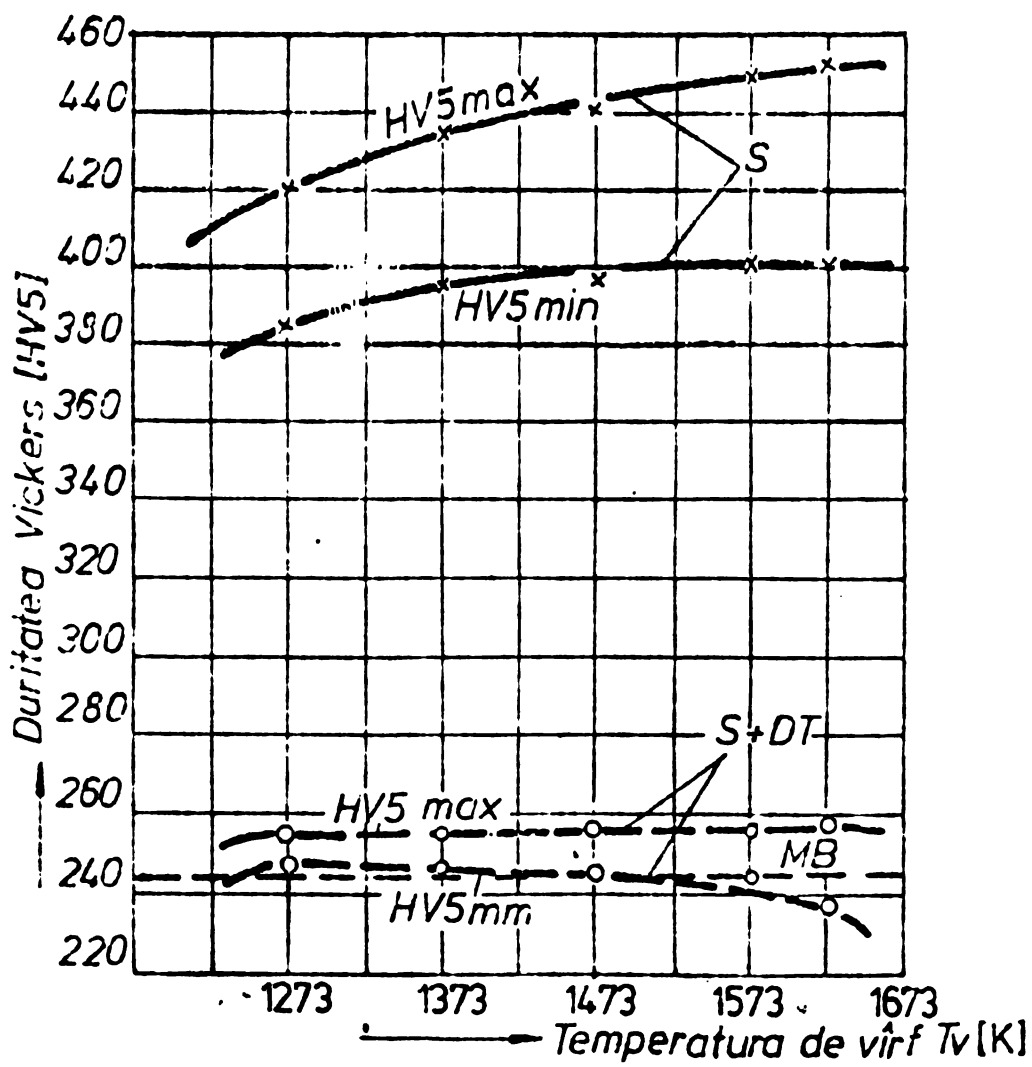


Fig. 2.7. Variatia duritatii functie de temperatura de virf T_V .

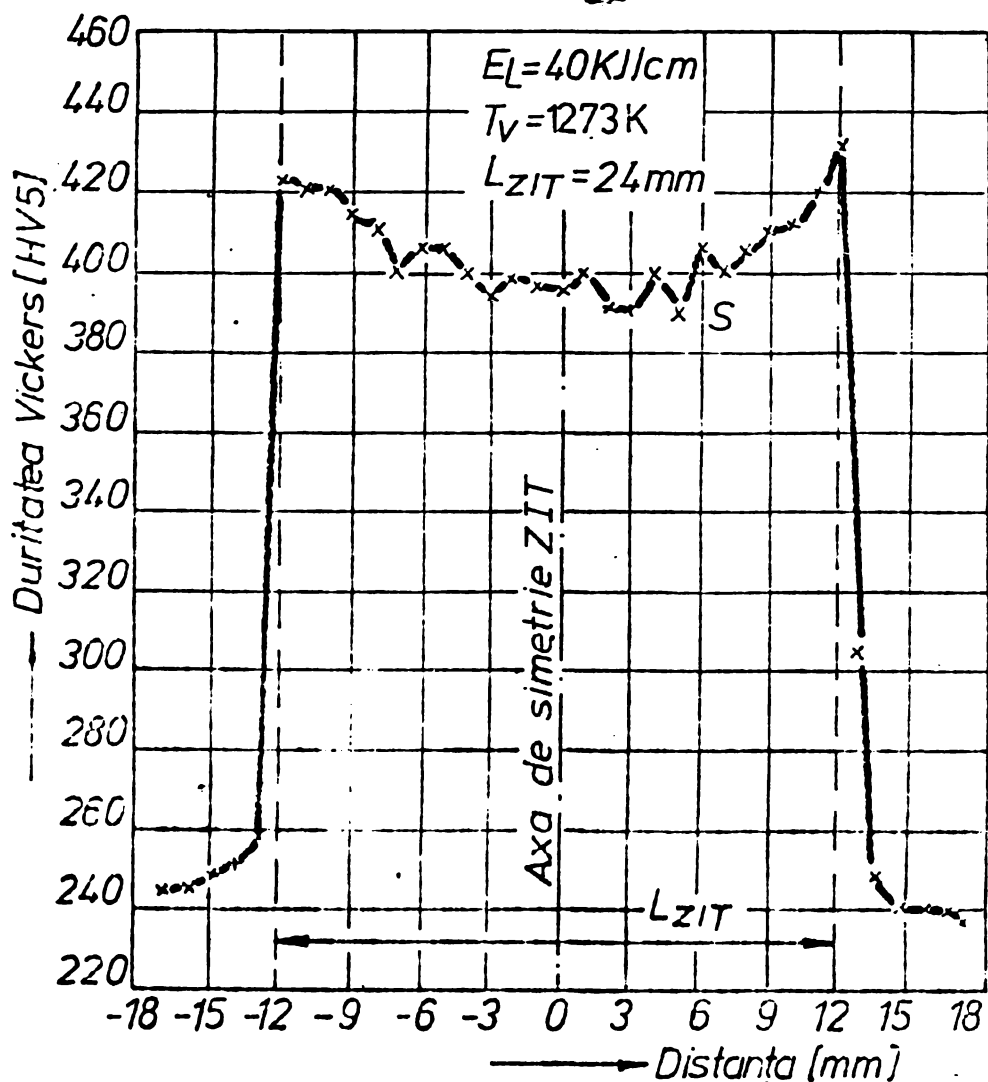


Fig. 2.8. Variatia duritatii functie de distanta la $T_V = 1273 \text{ K}$

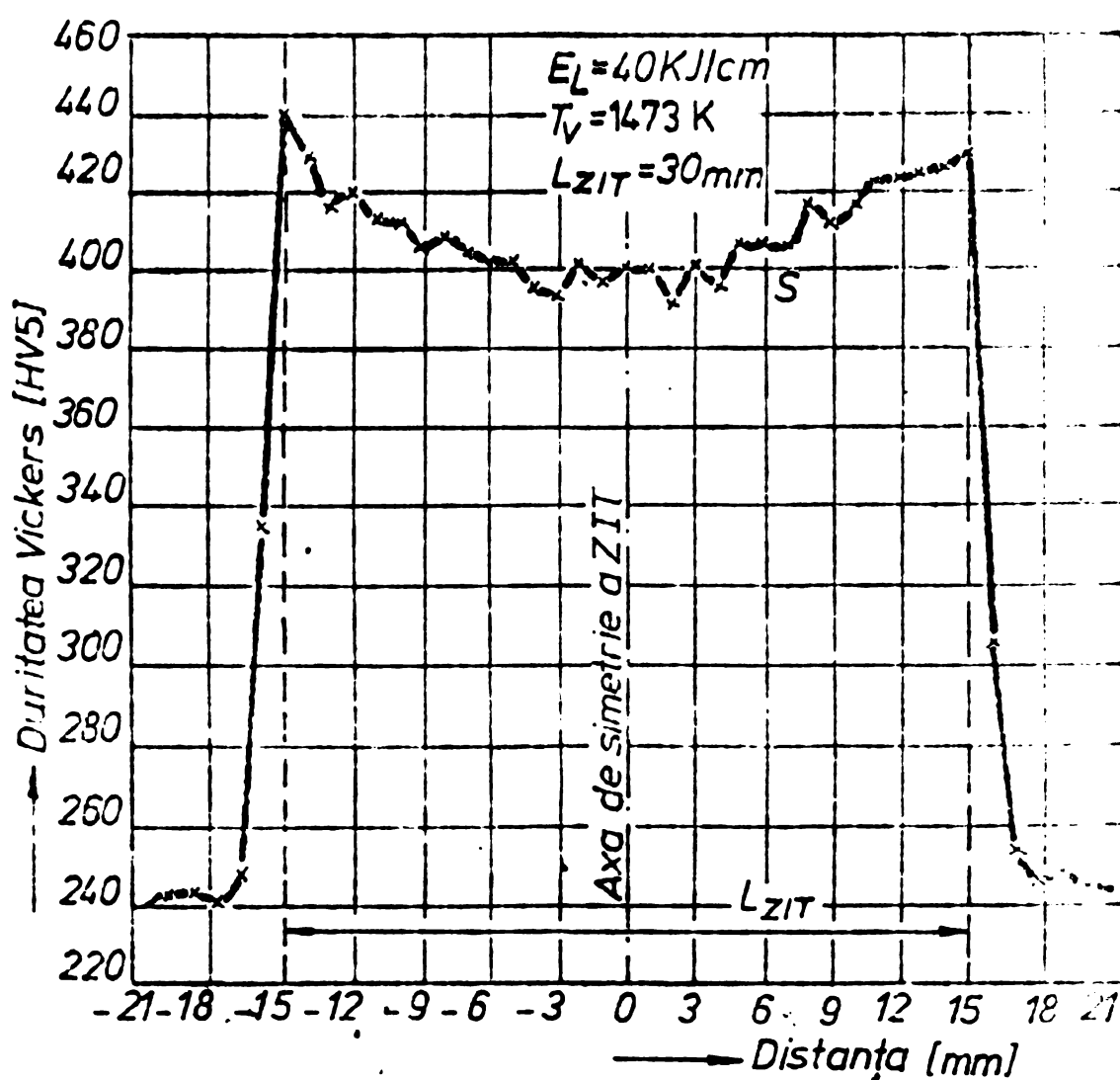


Fig. 2.9. Variatia duritatii functie de distanta la $T_V = 1473 \text{ K}$

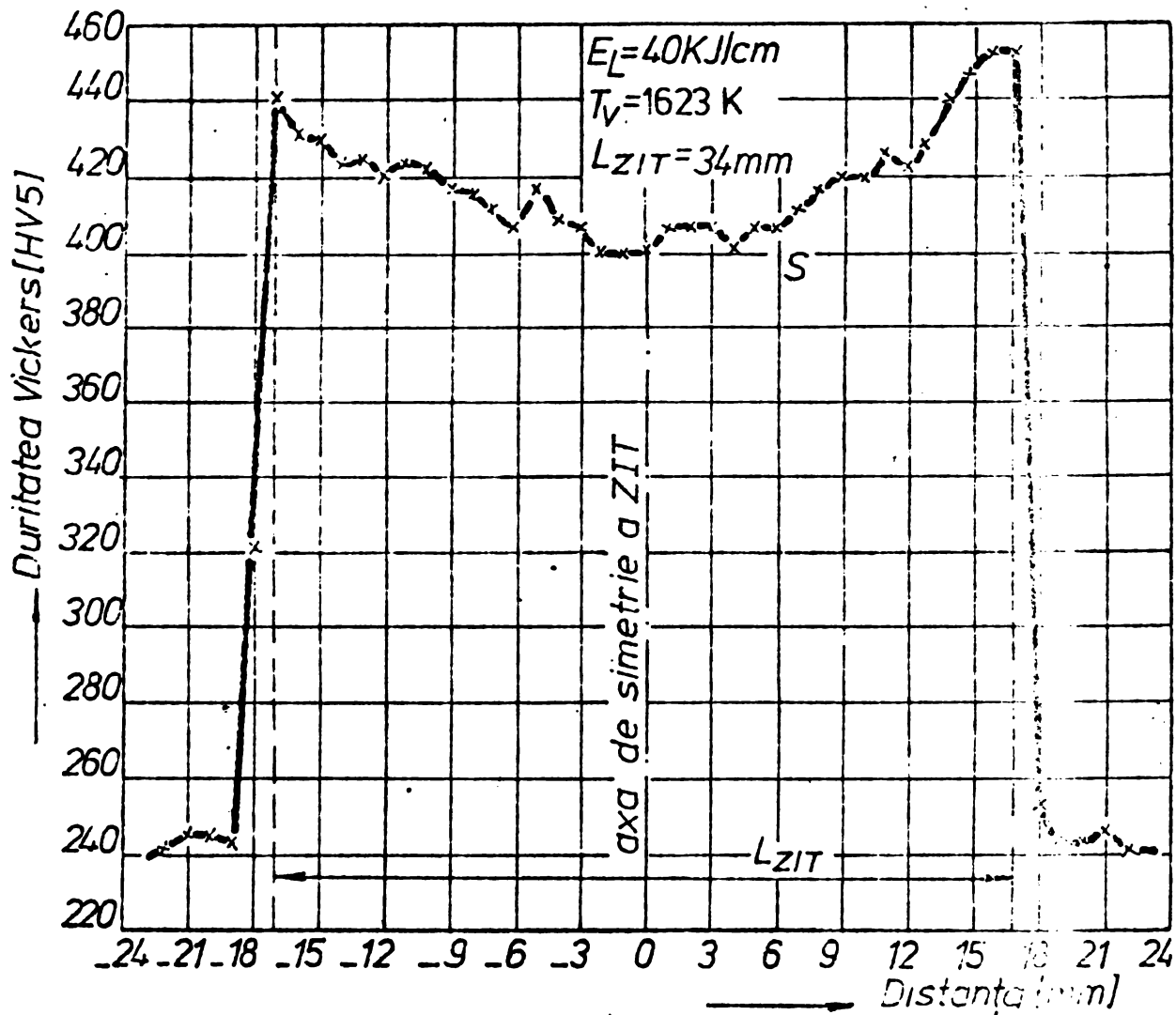


Fig. 2.10. Variatia duritatii functie de distanta la $T_V = 1623 \text{ K}$

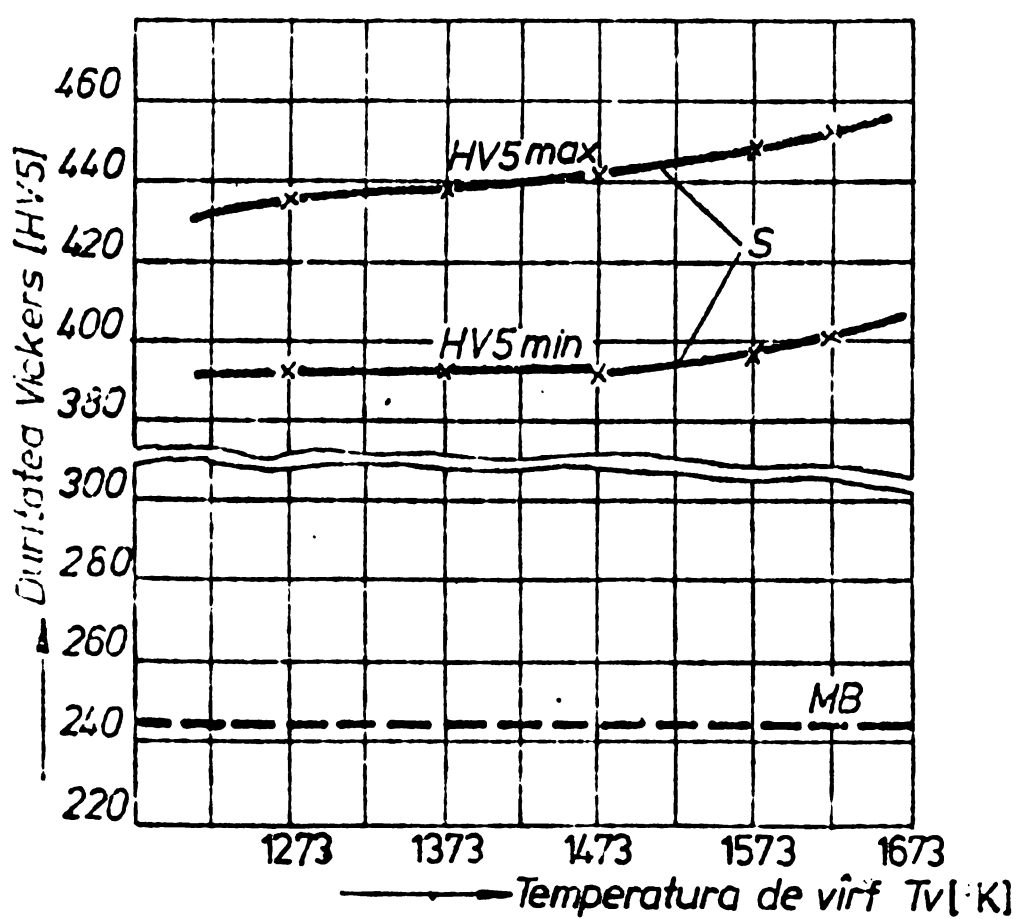


Fig. 2.11. Variatia duritatii functie de temperatura de virf T_V .

Credibilitatea datelor experimentale obținute cu ajutorul criteriului Chauvenet.

Tabelul 2.3.

Nr. măs. n	T_V [K]	Tipul probei	\bar{x}	s	\bar{x}	x_{\min}	x_{\max}
19	1273	S	398,8	3266	28,8	370	428
		S + T	254	445,9	11,1	242	265
25	1473	S	409,7	3037,9	22,7	383	435
		S + T	248,8	239,1	7,4	241	256
31	1623	S	412,8	11523	46,9	366	480
		S - T	246,6	3279,7	24,8	222	271

$$\bar{x} = \frac{1}{n} \sum_{i=1}^n x_i \text{ - media măsurătorilor făcute}$$

$$s = \sqrt{\frac{1}{n-1} \sum_{i=1}^n (x_i - \bar{x})^2} \text{ - deviație}$$

$$h = \frac{s}{\bar{x}} \text{ unde } h = \sqrt{\frac{n}{28}} \text{ H} \rightarrow \text{din tabele statistice funcție de } n$$

$x_{\min} = \bar{x} - h$ valorile extreme între care trebuie să fie

$x_{\max} = \bar{x} + h$ cuprinse măsurările făcute

Limitările intervalelor de confidență calculate cu o încredere $\gamma = 0,99$

Tabelul 2.4.

Nr. măs. n	T_V [K]	Tipul probei	\bar{x}	s	K_2	L_1	L_S
19	1273	S	398,4	3,09	3,221	388	408
		S + T	254	1,14	3,221	250	258
25	1473	S	409	11,2	2,972	376	442
		S - T	248,8	3,15	2,972	239	258
31	1623	S	412,8	19,59	2,84	357	468
		S + T	246,6	10,45	2,84	217	276

$$\bar{x} = \frac{1}{n} \sum_{i=1}^n x_i \text{ - media măsurătorilor făcute}$$

$$s = \sqrt{\frac{1}{n-1} \sum_{i=1}^n (\bar{x} - x_i)^2} \text{ - abaterea standard.}$$

K_2 - coeficient ce rezultă din tabele statistice în funcție de încrederea $\gamma = 0,99$ și de proporția măsurătorilor din totalul de probe încredute $p = 0,95$

$L_1 = \bar{x} - K_2 s$ limitele intervalelor de confidență

$L_S = \bar{x} + K_2 s$

Valorile medii ale duratăii din ZIT și limitele intervalor de confidență calculate cu o încredere $\gamma = 0,99$ pentru cazurile studiate.

Tabelul 2.5.

Grosimea Energia Temperatură tablei liniară ratura masură- de vîrf torii		Nr. de tori	\bar{x}	s	K_2	L_i	L_S	
mm		T _V [K]	n					
o	1	2	3	4	5	6	7	8
		1273	19	398,8	3,09	3,221	398	408
	10	1473	25	409	11,2	2,972	376	442
12		1623	31	412,8	19,59	2,84	357	468
		1273	24	406	6,66	3,004	386	426
	40	1473	30	411	10,20	2,841	382	440
		1623	34	416	18,55	2,748	365	467
		1273	18	408	7,62	3,279	383	433
	8	1473	21	402	9,61	3,121	382	432
		1623	23	421	16,12	3,040	372	470
		1273	19	406	7,14	3,221	383	429
12		1473	21	391	9,93	3,121	360	422
		1623	23	423	16,78	3,040	372	474
		1273	19	389	5,59	3,221	371	407
14		1473	21	393	9,29	3,121	364	422
		1623	23	396	14,14	3,040	353	439
	"	1273	20	408	6,62	3,168	387	429
18		1473	22	411	9,74	3,078	381	441
		1623	25	419	16,82	2,972	369	469
	"	1273	20	409	4,73	3,168	394	424
20		1473	22	413	10,72	3,078	380	446
		1623	25	421	17,49	2,972	362	472
		1273	23	417	8,22	3,040	392	442
30		1473	26	418	10,20	2,941	388	448
		1623	28	424	16,12	2,914	377	471
		1273	24	410	6,99	3,004	389	431
35		1473	26	417	10,89	2,941	385	449
		1623	29	423	19,33	2,841	368	478
		1273	25	407	6,72	2,972	387	427
40		1473	28	415	11,32	2,914	382	448
		1623	33	419	19,65	2,748	365	473

Anterior încercării de încovoiere prin soc, epruvetele au fost subuse unei verificări a razei și aspectului calității suprafeței fundului creștăturii prin compararea la măriri de $\times 50$ cu etaloane.

Rezultatele încercărilor sunt prezentate în tabelul 2.6 și figurile 2.12...2.14.

Analiza rezultatelor încercărilor la încovoiere prin soc evidențiază următoarele aspecte:

- Nu apar diferențe semnificative între energiile de rupere obținute folosind pentru simulare energii liniare cuprinse între 8...35 KJ/cm, la aceeași temperatură de vîrf, la table cu grosimea de 30 mm.

- Temperaturile de vîrf introduc diferențe semnificative la aceeași energie liniară folosită atât la $T_{finc} = 293$ K $T_{finc} = 77$ K.

- La table cu grosimea de 12 mm apar diferențe mai mari între energiile de rupere la diferitele temperaturi de vîrf față de table cu grosimea de 30 mm în cadrul folosirii același energiei liniare;

- Tratamentul termic de detensionare conduce la creșterea energiei de rupere la valori apropiate de ale metalului de bază la $T_{finc} = 293$ K iar la $T_{finc} = 77$ K creșterea este nesemnificativă.

- Folosind pentru simulare energia liniară de 40 KJ/cm la ambele grosimi de tablă (12 respectiv 30 mm) energia de rupere la $T_{finc} = 293$ K a fost sub 20 J la $T_v = 1273$ K și sub 10 J la $T_v = 1473$ K.

De menționat că la probele prelevate din tablă cu grosimea de 12 mm simulate cu energia liniară de 40 KJ/cm au fost cazuri când proba s-a rupt în timpul operației de rectificare datorită fragilității ridicate.

2.7. ASPECTE MICROFRACTOGRAFICE ALE EPRUVETELOR DE REZILIENȚĂ SIMULATE.

În caracterizarea oțelurilor de înaltă rezistență cu structură martensitică sau bainitică importantă deosebită prezintă și analiza caracteristicilor suprafățelor de rupere. Aspectul unei suprafete de rupere permite determinarea precisă a condițiilor care au favorizat avaria și dezvoltarea microfisurilor în cristalele de martensită.

Epruvetele de reziliență rupte la temperatura ambientă și la 77 K, au fost supuse examinărilor microfractografice la un microscop electronic prin transmisie tip BS-613, folosind replici duble de acetat de celuloză și carbon umbrită cu crom.

Valorile energiei de rușere obținute la 293 și 77 K
pe probe simulate cu diferite energii liniare și
temperaturi de vîrf.

Tabelul 2.6.

Nr. probă	$E_L \cdot 10^3$ kJ/cm	T_V [K]	T_{inc} [K]	Energia de rușere [J]			Obs.
				Valori individuale	Media	5	
0	1	2	3	4	5	6	
1,2,3	1273	293	118; 108; 110	112			
4,5,6		77	30; 35; 37	34			
7,8,9	1473	293	83; 94; 100	92,3			
10,11,12	8	77	32; 31; 37	33,3			
13,14,15	1623	293	98; 69; 78	81,3			
16,17,18		77	15; 16; 15	15,3			
19,20,21	1273	293	100; 93; 96	96,3			
22,23,24		77	41; 34; 36	37			
25,26,27	1473	293	107; 93; 100	100			
28,29,30	10	77	28; 30; 37	28,3			
31,32,33	8-12mm	1623	83; 83; 79	81,3			
34,35,36		77	15; 19; 17	17,3			
37,38,39	1273	293	93; 95; 89	92,3			
40,41,42		77	41; 43; 35	34,6			
43,44,45	1473	293	98; 103; 100	100			
46,47,48	12	77	35; 32; 36	34,3			
49,50,51	1623	293	90; 73; 87	82,3			
52,53,54		77	25; 17; 17	19,6			
55,56,57	1273	293	87; 97; 102	95,3			
58,59,60		77	47; 43; 44	44,6			
61,62,63	1473	293	92; 38; 89	89,3			
64,65,66	14	77	26; 33; 27	26,3			
67,68,69	1623	293	72; 76; 77	75			
70,71,72		77	27; 22; 22	23,6			
73,74,75	1273	293	95; 87; 98	93,3			
76,77,78		77	41; 39; 35	38,3			
79,80,81	18	1473	100; 104; 101	101,6			
82,83,84		77	35; 37; 31	34,3			
85,86,87	1623	293	74; 71; 71	72			
88,89,90		77	24; 22; 20	22			
91,92,93	1273	293	87; 105; 109	105,3			
94,95,96		77	30; 36; 30	32			
97,98,99	20	1473	105; 107; 95	102,3			
100,101,102		77	44; 40; 37	40,3			

0	1	2	3	4	5
<u>103,104,105</u>	20	<u>1623</u>	<u>293</u>	<u>93;111;104</u>	<u>104,3</u>
<u>106,107,108</u>			<u>77</u>	<u>21; 21; 19</u>	<u>2,3</u>
<u>109,110,111</u>		<u>1273</u>	<u>293</u>	<u>100;102;101</u>	<u>101</u>
<u>112,113,114</u>			<u>77</u>	<u>45; 43; 38</u>	<u>41</u>
<u>115,116,117</u>	30	<u>1473</u>	<u>293</u>	<u>101;115;106</u>	<u>107,3</u>
<u>118,119,120</u>			<u>77</u>	<u>32; 30; 35</u>	<u>32,3</u>
<u>121,122,123</u>		<u>1623</u>	<u>293</u>	<u>77; 78; 73</u>	<u>73</u>
<u>124,125,126</u>			<u>77</u>	<u>35; 28; 28</u>	<u>32,3</u>
<u>127,128,129</u>		<u>1273</u>	<u>293</u>	<u>90; 92; 87</u>	<u>87,6</u>
<u>130,131,132</u>			<u>77</u>	<u>43; 47; 43</u>	<u>43</u>
<u>133,134,135</u>	35	<u>1473</u>	<u>293</u>	<u>94; 91; 99</u>	<u>91,6</u>
<u>136,137,138</u>			<u>77</u>	<u>37; 37; 33</u>	<u>37</u>
<u>139,140,141</u>		<u>1623</u>	<u>293</u>	<u>81; 78; 73</u>	<u>73</u>
<u>142,143,144</u>			<u>77</u>	<u>25; 27; 24</u>	<u>24,3</u>
<u>145,146,147</u>		<u>1273</u>	<u>293</u>	<u>18; 25; 23</u>	<u>23</u>
<u>148,149,150</u>			<u>77</u>	<u>61 91 7</u>	<u>7,3</u>
<u>151,152,153</u>	40	<u>1473</u>	<u>293</u>	<u>41 61 7</u>	<u>5,6</u>

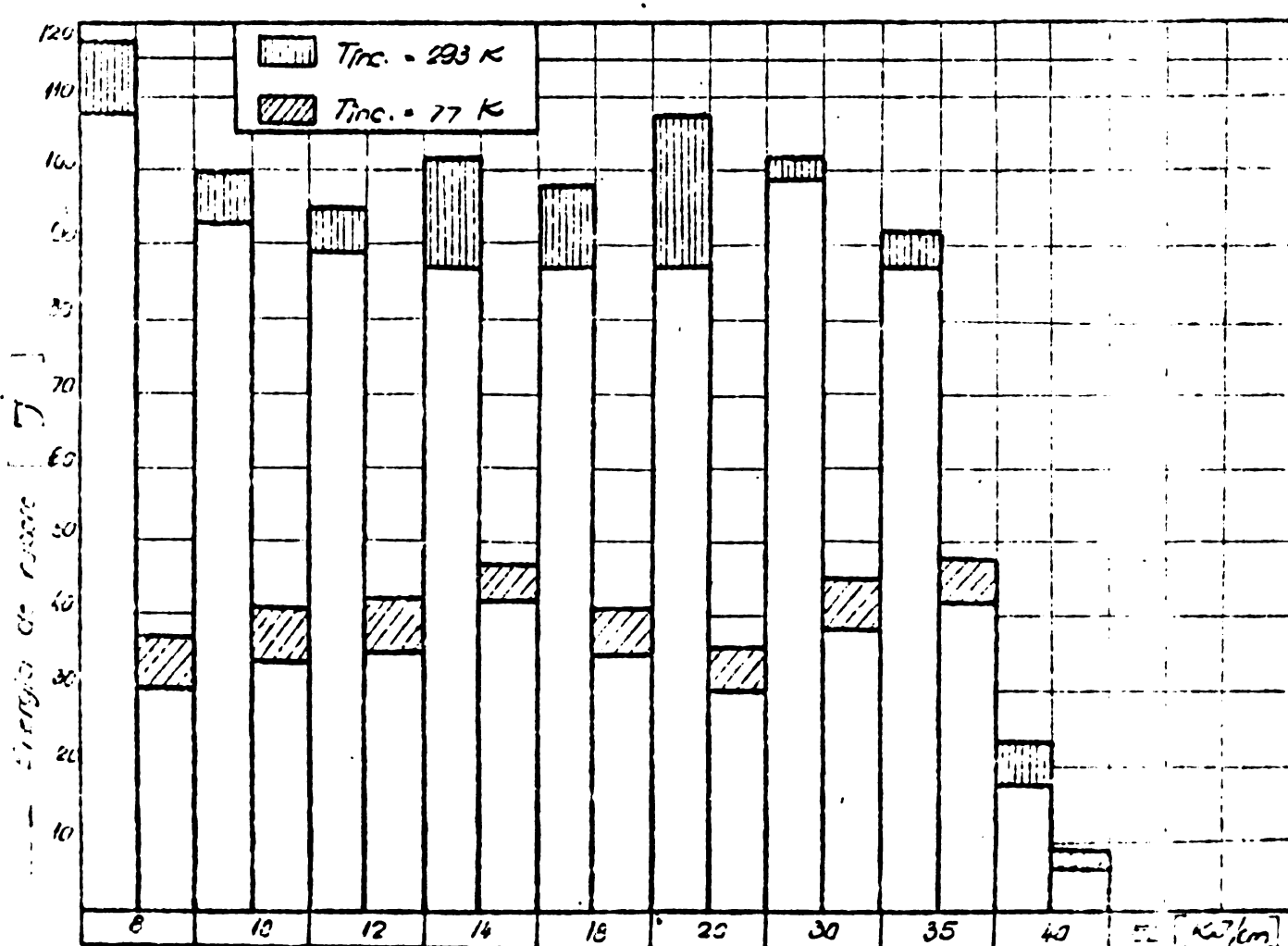


Fig. 2.12. Variatia energiei de răsucire functie de energia liniară și temperatura de încercare la $T_V = 1273^{\circ}\text{K}$

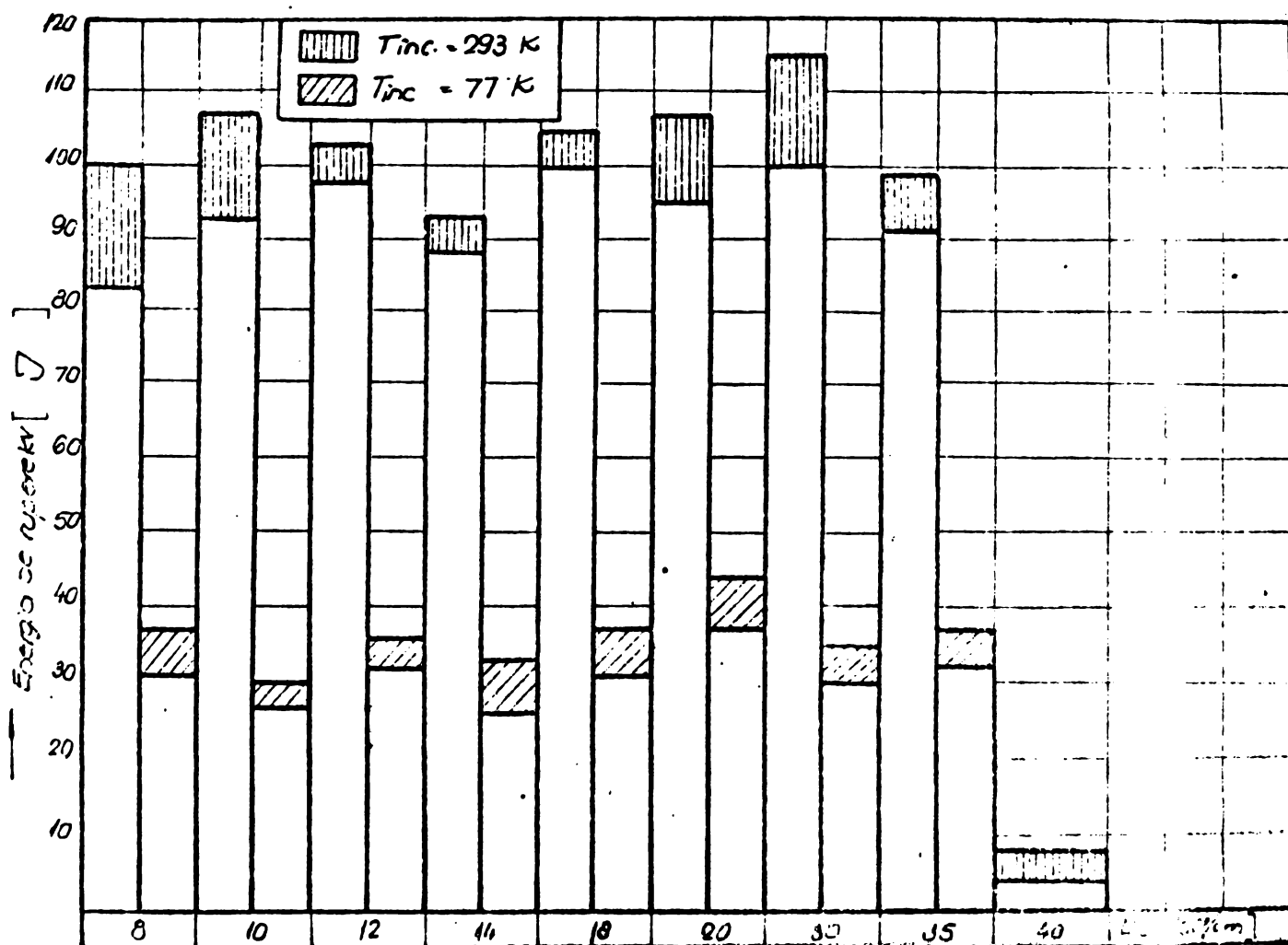


Fig. 2.13 Variatia energiei de runere functie de energia la vîrful
si temperatura de incercare la $T_v = 1473^\circ\text{K}$.

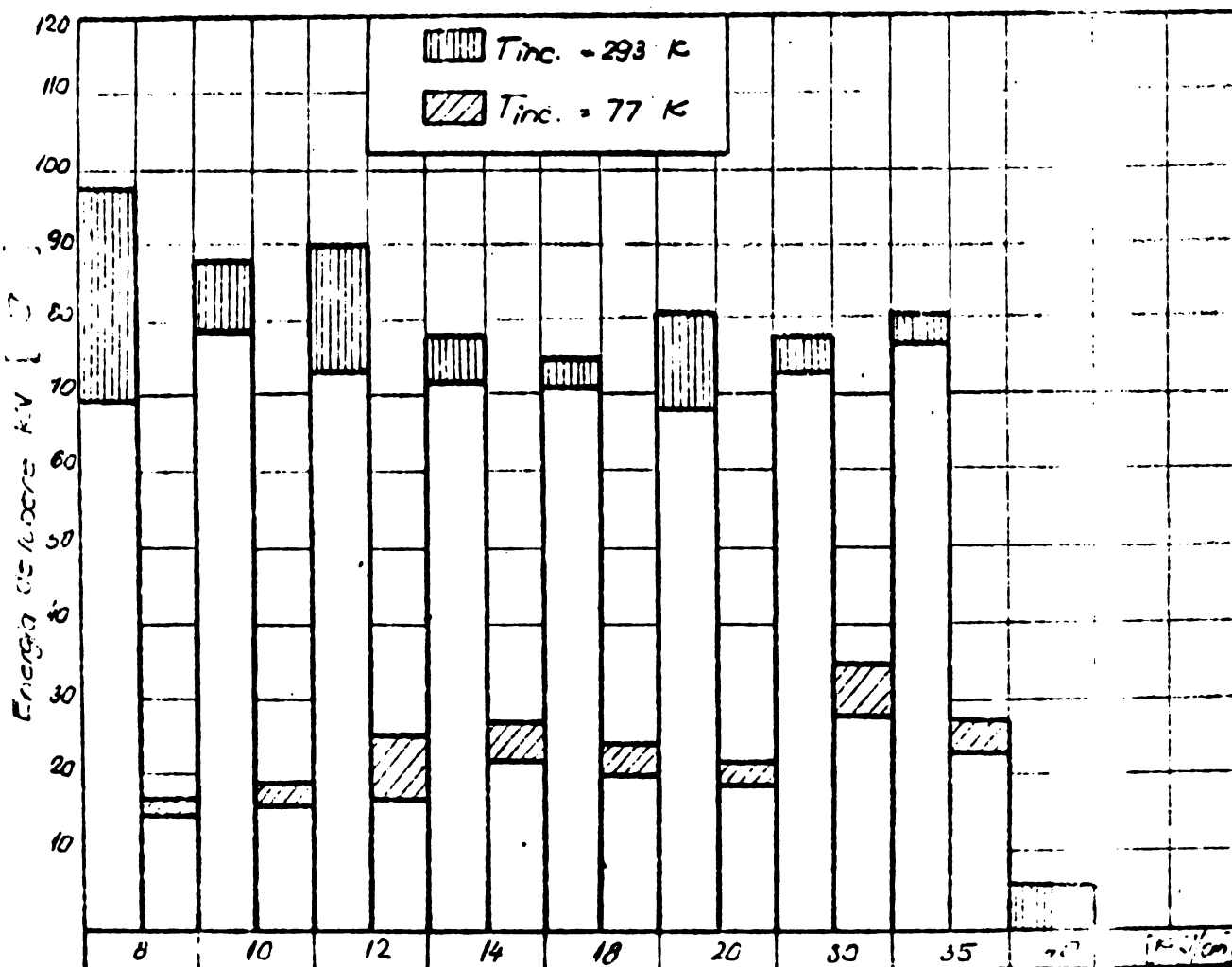


Fig. 2.14. Variatia energiei de runere functie de energia la vîrful
si temperatura de incercare la $T_v = 1623^\circ\text{K}$.

In planșa III sunt prezentate microfractografiile caracteristice probelor simulate respectiv simulate și detensionate, temperatura de încercare fiind de 293 și 77 K.

In cazul probelor simulate cu o energie liniară de 10KJ/cm table cu grosimea de 12 mm la $T_v = 1273$ și 1473 K atât la probe simulate cît și simulate și detensionate ruștura are un caracter ductil, la ambele temperaturi de încercare (Planșa III fig.1 și 2). La $T_v = 1623$ K și $T_{fnc} = 77$ K ruștura prezintă o mare componentă fragilă (Planșa III fig.3).

In cazul probelor simulate cu o energie liniară de 8...35 KJ/table cu grosimea de 30 mm la $T_v = 1273$ și 1473 K atât la $T_{fnc} = 293$ cît și $T_{fnc} = 77$ K ruștura are un caracter ductil (Planșa III fig.4 și 5) iar la $T_v = 1623$ K și $T_{fnc} = 293$ K ruștura are un caracter ductil - fragil (Planșa III fig.6).

In cazul probelor simulate cu energia liniară de 40 KJ/cm la toate temperaturile de vîrf se observă o ruștere fragilă atât la $T_{fnc} = 293$ K cît și la $T_{fnc} = 77$ K (Planșa III fig.7).

In metalul de bază (starea C+R) se observă că ruștura are un pronunțat caracter ductil atât la $T_{fnc} = 293$ K cît și la $T_{fnc} = 77$ K (Planșa III fig.8).

2.8. CORELATIA DIN TRE GROSIMEA TABLELOR, ENERGIA LINIARA SI PARAMETRUL RACIRII $t_{8/5}$

Încercările efectuate pe ecravete orelevate din table de oțel criogenic cu 9% Ni de grosime 12 și 30 mm în stare C+R, supuse ciclurilor termice de sudare, folosind ca parametrii variabili temperatura de vîrf ($T_v = 1273, 1473$ și 1623 K) și energia liniară ($E_L = 8...40$ KJ/cm) permit stabilirea unei corelații între grosimea componentelor de sudat, energia liniară de sudare și legea de răcire între $1073...773$ K ($800...500^\circ C$) caracterizată prin parametrul racirii notat cu $t_{8/5}$.

Pentru calculul parametrului racirii $t_{8/5}$ se poate folosi următoarea metodă:

a. Se determină cronoînă de calcul și a componentelor cu relație

$$s' = \left[\frac{E}{2\rho_0} \left(\frac{1}{500-T_0} - \frac{1}{800-T_0} \right) \right]^{\frac{1}{2}} \quad (1)$$

PLANSA III



Fig.1. $E_L = 10\text{KJ}/\text{cm}$ MEx2700
 $T_V = 1473^\circ\text{K}; T_{fnc} = +293^\circ\text{K}$



Fig.2. $E_L = 10\text{KJ}/\text{cm}$ MEx2700
 $T_V = 1473^\circ\text{K}; T_{fnc} = 77^\circ\text{K}$



Fig.3. $E_L = 10\text{KJ}/\text{cm}$ MEx2700
 $T_V = 1623^\circ\text{K}; T_{fnc} = 77^\circ\text{K}$



Fig.4. $E_L = 20\text{KJ}/\text{cm}$ MEx2700
 $T_V = 1473^\circ\text{K}; T_{fnc} = 77^\circ\text{K}$

PLANSA III



Fig.5. $E_L = 30\text{KJ/cm MEx2700}$
 $T_V = 1273^\circ\text{K}$ $T_{fnc} = 77^\circ\text{K}$



Fig.6. $E_L = 10\text{KJ/cm MEx2700}$
 $T_V = 1623^\circ\text{K}$ $T_{fnc} = 77^\circ\text{K}$



Fig.7. $E_L = 40\text{KJ/cm MEx2700}$
 $T_V = 1273^\circ\text{K}$; $T_{fnc} = 293^\circ\text{K}$



Fig.8. Metal de bază
MEx2700; $T_{fnc} = 77^\circ\text{K}$

b. Dacă grosimea reală a componentelor $s > s'$ atunci $t_{8/5}$ se calculează cu relația:

$$t_{8/5} = \frac{E}{2\pi\lambda} \left(\frac{1}{500-T_0} - \frac{1}{800-T_0} \right) \quad (2)$$

c. Dacă $s < s'$, atunci $t_{8/5}$ se calculează cu formula:

$$t_{8/5} = \frac{E}{4\pi\lambda\rho c s^2} \left[\left(\frac{1}{500-T_0} \right)^2 - \left(\frac{1}{800-T_0} \right)^2 \right] \quad (3)$$

În care notatiile au următoarele semnificații:

λ = conductivitatea termică între $1073\dots773^{\circ}\text{K}$ ($800\dots500^{\circ}\text{C}$) în $\left[\frac{\text{J}}{\text{m}\cdot\text{s}\cdot^{\circ}\text{C}} \right]$

c = căldura specifică $\rho\cdot c$ în $\left[\frac{\text{J}}{\text{m}\cdot^{\circ}\text{C}} \right]$

ρ = masa specifică

E = $0,85 E_L$ pentru sudarea manuală

E = $0,88 E_L$ pentru sudarea automată

E_L = energia liniară în $[\text{KJ/cm}]$.

$T_0 = 293^{\circ}\text{K}$

Introducând valorile numerice în relațiile 1, 2, 3 se obțin relațiile simplificate pentru calculul lui $t_{8/5}$ date în tabelul 2.7

Relații pentru calculul duratei de răcire a ZIT-ului în intervalul $1073\dots773^{\circ}\text{K}$ ($800\dots500^{\circ}\text{C}$) în cazul oțelului aliat cu 9% Ni.

Tabelul 2.7

Oțel cu 9%Ni	Relația de cal- cul pentru s' în $[\text{cm}]$	Relațiile pentru calculul lui $t_{8/5}$ în [s] cind	
		$s > s'$	$s < s'$
	$s' = 0,4526 E_L$	$t_{8/5} = 0,94 E_L$	$t_{8/5} = 0,1125 \left(\frac{E_L}{s} \right)^2$

Având parametrul răcirei $t_{8/5}$ determinat se reprezintă grafic legea de răcire în funcție de grosimea componentelor de sudat, pentru diferite energii liniare, $t_{8/5} = f(s)$ (fig. 2.15) respectiv legea de răcire în funcție de energia liniară de sudare pentru diferite grosimi de tablă, $t_{8/5} = f(E_L)$ (fig. 2.16).

Din analiza dependențelor prezentate în fig. 2.15 rezultă că există pentru fiecare energie liniară folosită o grosime limită înăuntru căre viteza de răcire crește cu grosimea și de la care ciclul termic (viteza de răcire) este practic independent de grosimea tablăi.

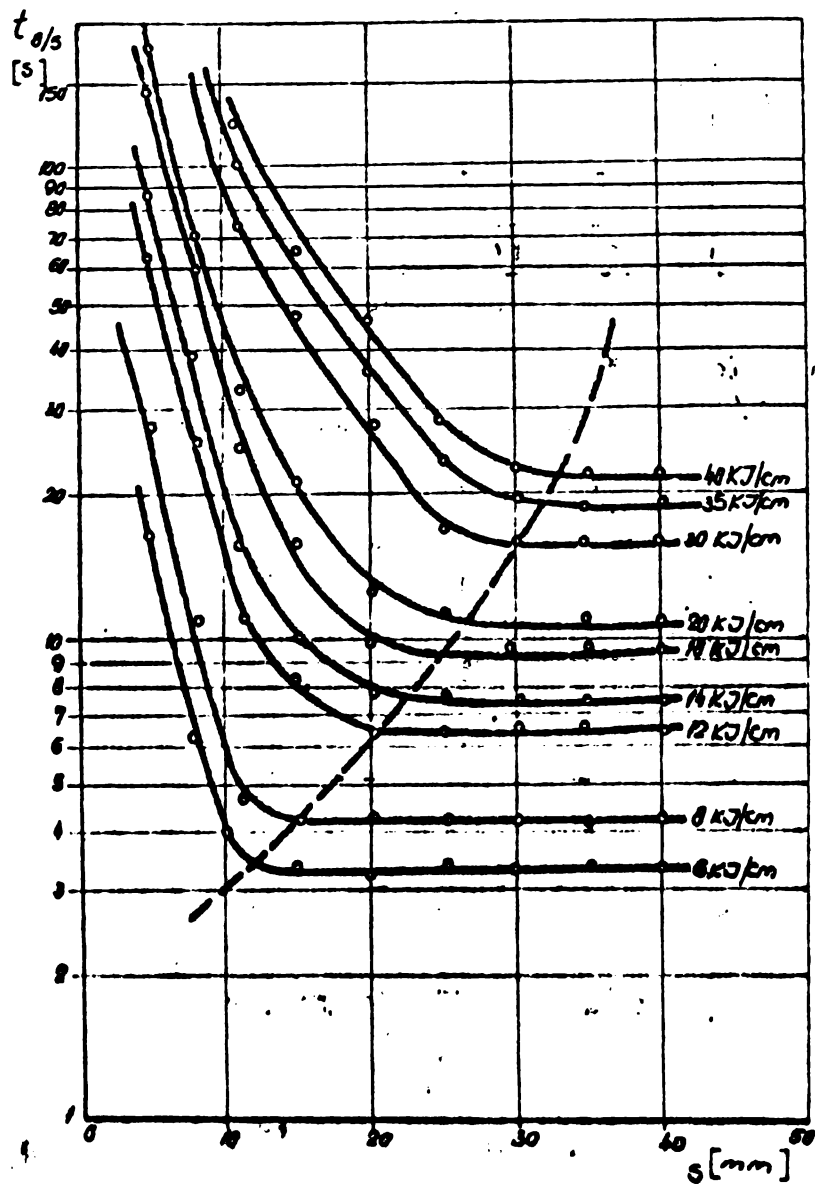


Fig.2.15. Legea de răcire funcție de grosimea tabelelor.

30 mm. nu pot fi sudate cu energie liniară mai mare decât 35 KJ/cm iar table cu grosimea de 12 mm nu pot fi sudate cu energie liniară mai mare de 16 KJ/cm.

La timp de răcire $t_{8/5} > 20$ s desigur diferențe semnificative între valoările măsurătorilor de durată, energia de ruere atât la $T_{fnc} = 293$ K cît și la $T_{fnc} = 77$ K a fost sub 20 J, iar analiza microfractografică a suprafețelor de ruere indică o mare componentă fragilă.

Aceasta se explică prin faptul că la $t_{8/5} > 20$ s se necesită energii liniare mari care produc o întărire exterioară a materialului, anar tensiuni termice de valori mari și pot apărea și toniri locale la limita grăunților, cresc grăunții și materialul devine fragil.

Luând în considerare parametrul răciri $t_{8/5}$ și rezultatele experimentale valorile durătării W_5 în ZIT și energia de ruere la $T_{fnc} = 293$ K și $T_{fnc} = 77$ K se reprezintă grafic variația $W_5 = f(t_{8/5})$ (fig.2.17) respectiv $KV = f(t_{8/5})$ fig.2.18.

Din analiza curbelor de variație a durătării respectiv a energiei de ruere cu parametrul răciri $t_{8/5}$ (fig.2.17 și 2.18) se remarcă faptul că table din oțel cu 9% Ni nu pot fi sudate fără precauții ușine la valori ale parametru lui răciri $t_{8/5} = 20$ s.

Corespunzător parametrului răciri ($t_{8/5} = 20$ s) cu grăsimea tabeli și cu energie liniară fig.2.16 rezultă că table din oțel criogenic cu 9% Ni de grosime

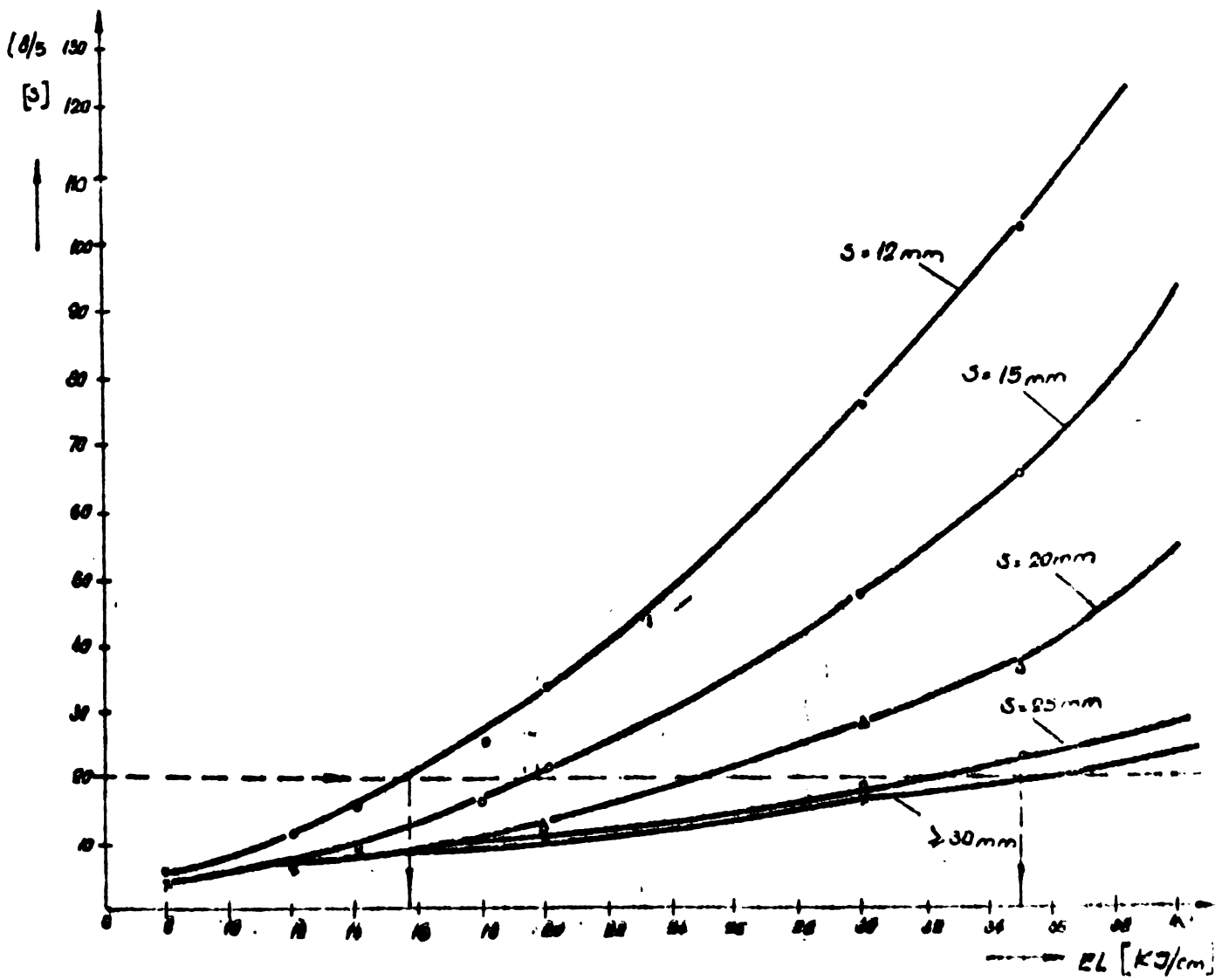


Fig.2.16. Legea de răcire funcție de energia liniară.

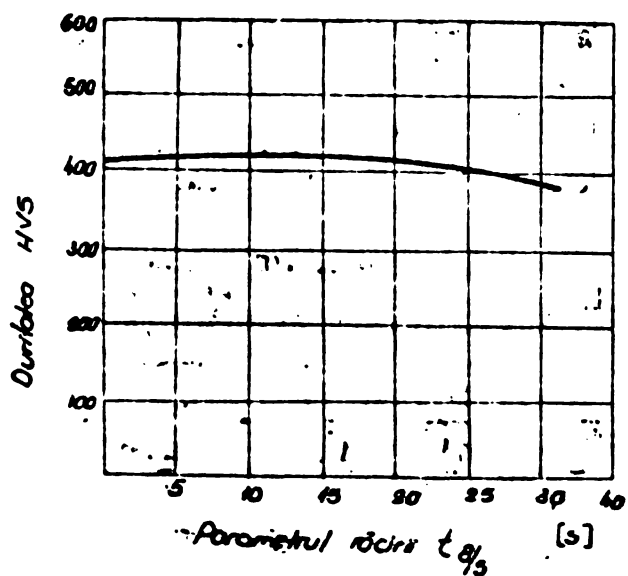


Fig.2.17. Variatia duratii
functie de parametrul
răciri $t_{8/5}$.

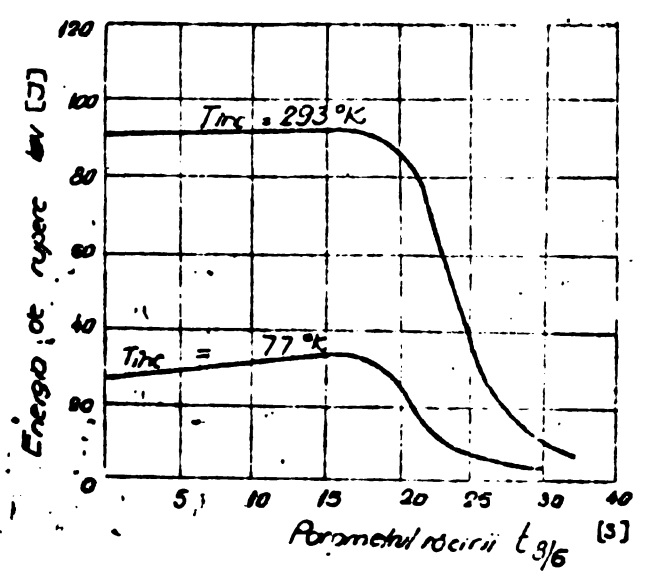


Fig.2.18. Variatia energiei
de răcire functie de para-
metrul răciri $t_{8/5}$.

CONCLUZII

Încercările efectuate pe epruvete prelevate din tablă de oțel criogenic cu 9 % Ni, de grosime 12 și 30 mm în stare C + R, supuse ciclurilor termice de sudare folosind ca parametrii variabili temperatură de vîrf ($T_v = 1273, 1473, 1623$ K) și energia liniară ($E_L = 8 \dots 40$ KJ/cm) scot în evidență următoarele :

- Din punct de vedere al valorilor măsurătorilor de duritate, nu apar diferențe semnificative între probele simulate, folosind pentru simulare energii liniare de 8...40 KJ/cm la aceeași temperatură de vîrf. Ridicarea temperaturii de vîrf produce în ZIT-ul probelor simulate durități cuprinse între 380 450 HV5. Duritățile de valori ridicate se datorează prezenței nichelului în compozitia oțelului, element care duce la micșorarea vitezei critice de călire și la apariția de structuri în afară de echilibru chiar la viteze de răcire mai mici de $2^{\circ}\text{C}/\text{min}$.

Tratamentul termic de detensionare la 848 K / 2h aplicat probelor simulate pentru toate temperaturile de vîrf uniformizează în ZIT structurile reducind duritățile la nivelul metalului de bază în plajă de valori de 230.... 260 HV5, fiind astfel oportun în îmbunătățirea structurii influențate de ciclurile termice de sudare.

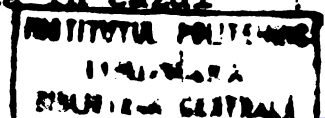
- Din punct de vedere al valorilor energiilor de rupere nu apar diferențe semnificative între probele simulate din tablă cu grosimea de 30 mm folosind pentru simulare energii liniare de 8...35 KJ/cm și temperaturi de vîrf $T_v = 1273$ și 1473 K atât la $T_{inc} = 293$ K cît și la $T_{inc} = 77$ K.

Ridicarea temperaturii de vîrf la 1623 K conduce la scăderea valorilor energiei de rupere atât la $T_{inc} = 293$ K cît și la $T_{inc} = 77$ K.

Acst lucru se datorează creșterii grăuntelui austenitic cu temperatura care la răcirea ulterioară va da naștere la structuri grosolane și fragile.

Tratamentul termic de detensionare conduce la creșterea energiei de rupere la valori apropiate de ale metalului de bază la $T_{inc} = 293$ K iar la $T_{inc} = 77$ K creșterea este nesemnificativă.

Degluritățile în ZIT depășesc valoarea de 350 HV5, materialul se comportă satisfăcător atât la $T_{inc} = 293$ K cît și la $T_{inc} = 77$ K ($KV > 35$ J) iar analiza microfractografică a suprafețelor de rupere indică la ambele temperaturi de încercare o rupere ductilă în cazul



probelor din table de 30 mm grosime simulate cu $E_L = 8...35 \text{ kJ}$.

Din analiza acestor date rezultă că pentru oțelul aliat cu 9 % Ni valoarea duratăii de 350 HV5 nu este un criteriu de apreciere a comportării metalurgice la sudare.

Parametrul care trebuie să fie luat în considerare în aprecierea comportării metalurgice la sudare a oțelului cu 9 % Ni este timpul de răcire $t_{8/5}$ care trebuie să fie corelat cu grosimea pieselor de sudat și cu energia liniară folosită la sudare.

Cercetările experimentale au stabilit că la sudarea oțelurilor criogenice cu 9 % Ni timpii de răcire care dau valori corespunzătoare caracteristicii de rezistență la încovoiere prin soc în ZIT ($KV > 30 \text{ J}$) la temperatura azotului lichid (77 K) sunt $t_{8/5} = 4...20 \text{ s}$ la table cu grosimea cuprinsă între 12...30 mm.

CAPITOLUL III

CERCETARI ASUPRA COMPORTARII METALURGICE LA SUDARE

A OTELURILOR CRIOGENICE ALIATE CU 9%Ni.

3.1. INFLUENTA COMPOZITIEI CHIMICE ASUPRA COMPORTARII METALURGICE LA SUDARE A OTELURILOR CRIOGENICE ALIATE CU 9%Ni.

In cazul otelurilor criogenice aliate cu nichel studiul variației reziliențe la $T = 77 \text{ K}$ în funcție de conținutul în nichel a fost criteriu care a condus în cele din urmă la reținerea procentului de 9% Ni care oferă securitatea la această temperatură fig.3.1. [8;70].

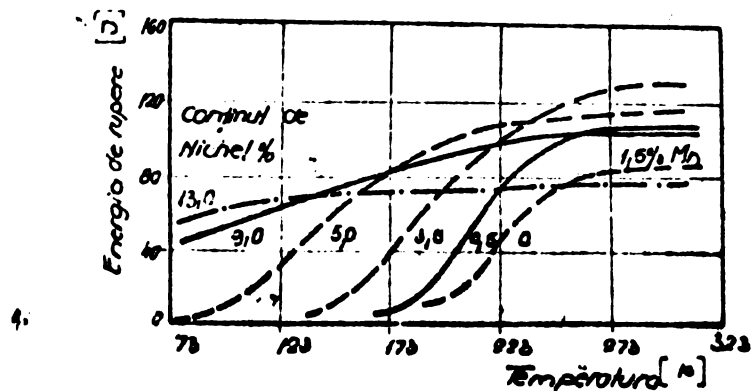


Fig. 3.1. Influența conținutului de nichel asupra energiei de rupere la diferite temperaturi de încercare [8] .

Asupra rezilienței martensitei. Această remarcă a condus la studiul influenței conținutului în Al asupra plasticității martensitei cu 9% Ni [7,48].

Cercetări numeroase efectuate în Franța au avut drept scop studierea influenței unui conținut în Al cuprins între 0,020 și 0,050%, cercetări care au valoare pentru ansamblul ootelurilor feritice, ele stau la baza fabricării ootelurilor sudabile cu granulație fină.

Rezultatele studiilor asupra ootelului cu 9% Ni sunt prezentate în figura 3.2.

Conținutul în carbon a constituit obiectul unor largi consultări și studii importante. Preocuparea principală a fost aceea de a conferi o bună reziliență în zona influențată termic (ZIT). [7,48].

R.M. Abom a arătat influența conținutului în carbon asupra plasticității martenșitei slab sau mediu aliate și a subliniat influența marimii grăunților de austeni-

Analiza rezultatelor prezentate în figura 3.2. demonstrează

- conținuturi în Al de 0,04% sunt net favorabile față de conținuturi scăzute ($\leq 0,01\%$) sau ridicate ($0,070\%$):
- oțelurile cu un conținut în carbon scăzut sunt mai sensibile la influența Al, decât cele cu conținut ridicat:

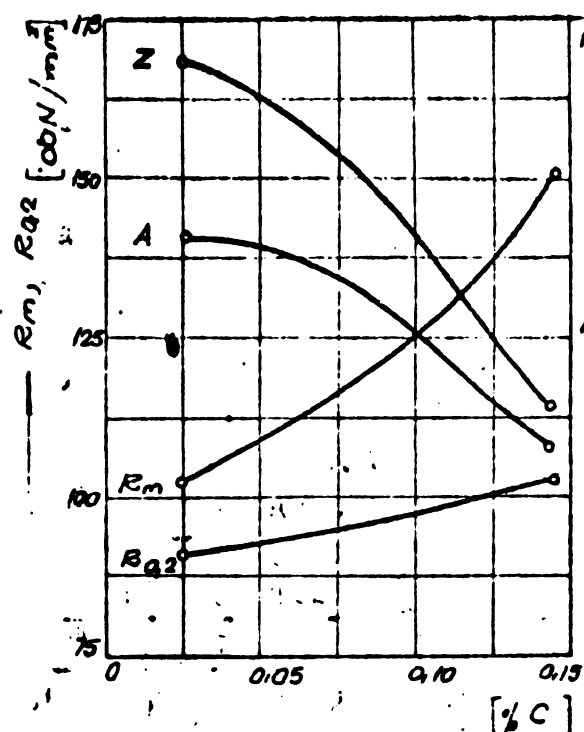
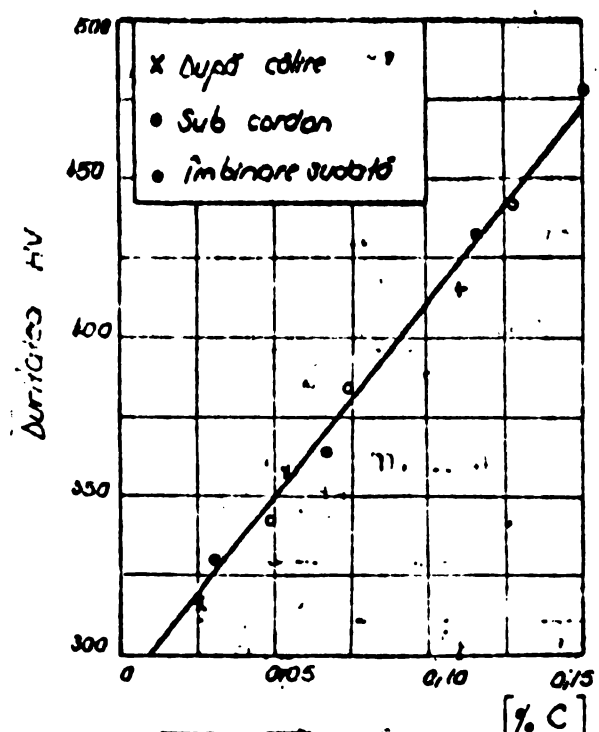
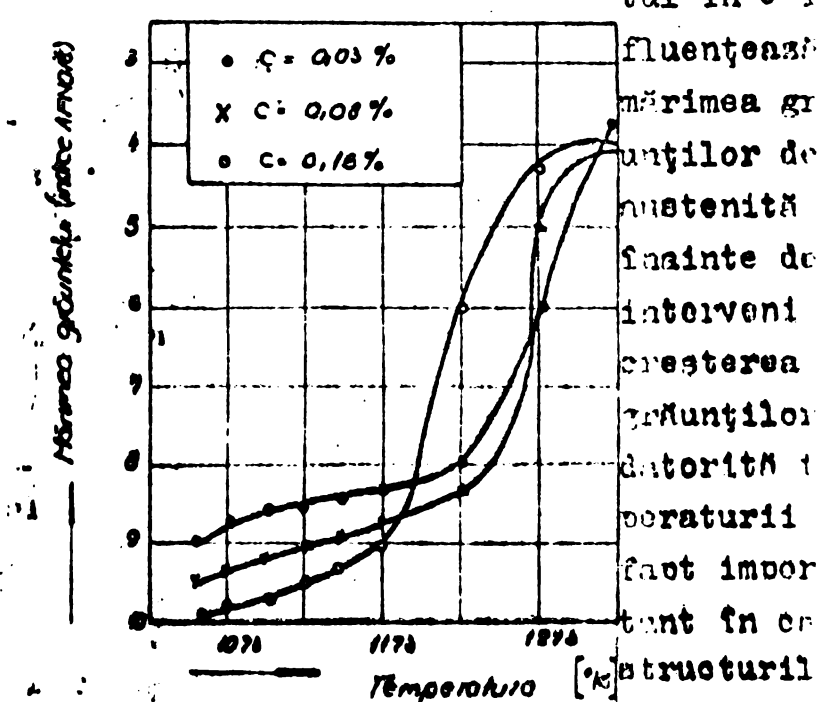
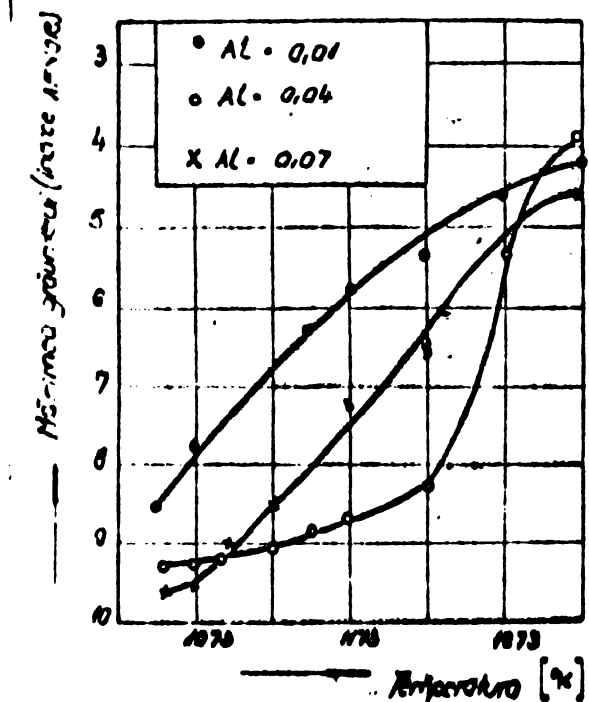


Fig. 3.2. Influența conținutului în C și Al asupra mărimi grănitilor de austenit și asupra proprietăților mecanice.

- conținutul în C și Al influențează mărimea grănitilor de austenit înainte de interveni creșterea grănitilor datorită creșterii temperaturii fără importanță în ceea ce privește structurile cîlito și revonite.

Studiul lucrărilor care determină plasticitatea în ZIT a fost făcut pe o serie de șase experimente avînd cîntinuturile în C și Al în limite foarte largi. Încercările efectuate sunt următoarele:

- Încercări de duritate efectuate pe probe călite pe un cordon deuns prin sudură și pe fimbrii sudate; în ultimul caz trecerile successive au un efect de revenire care provoacă o variație a duratăii și nu au fost luate în considerare aceleia obținute în ultima trecere. Rezultatele obținute devind doar de conținutul în carbon al oțelului; cînd conținutul în carbon al oțelului variază de la 0,025% la 0,145% duritatea Vickers crește de la 320 la 470 HV.

Încercările de duritate efectuate pe probe din oțeluri orionice aliante cu 9% Ni având compozitia chimică prezentată în tab. 2.1. ZIT-ul fiind creat prin simularea ciclurilor termice de sudare atestă că duritatea este independentă de parametrul de răcire $t_{3/5}$ depinzînd doar de conținutul în C al oțelului.

Rezultatele obținute pot fi comparate cu cele obținute de IRSID 121 pe un oțel aliat cu 9%Ni, ZIT-ul fiind creat prin decouneron unui cordon de sudură (fig.3.3).

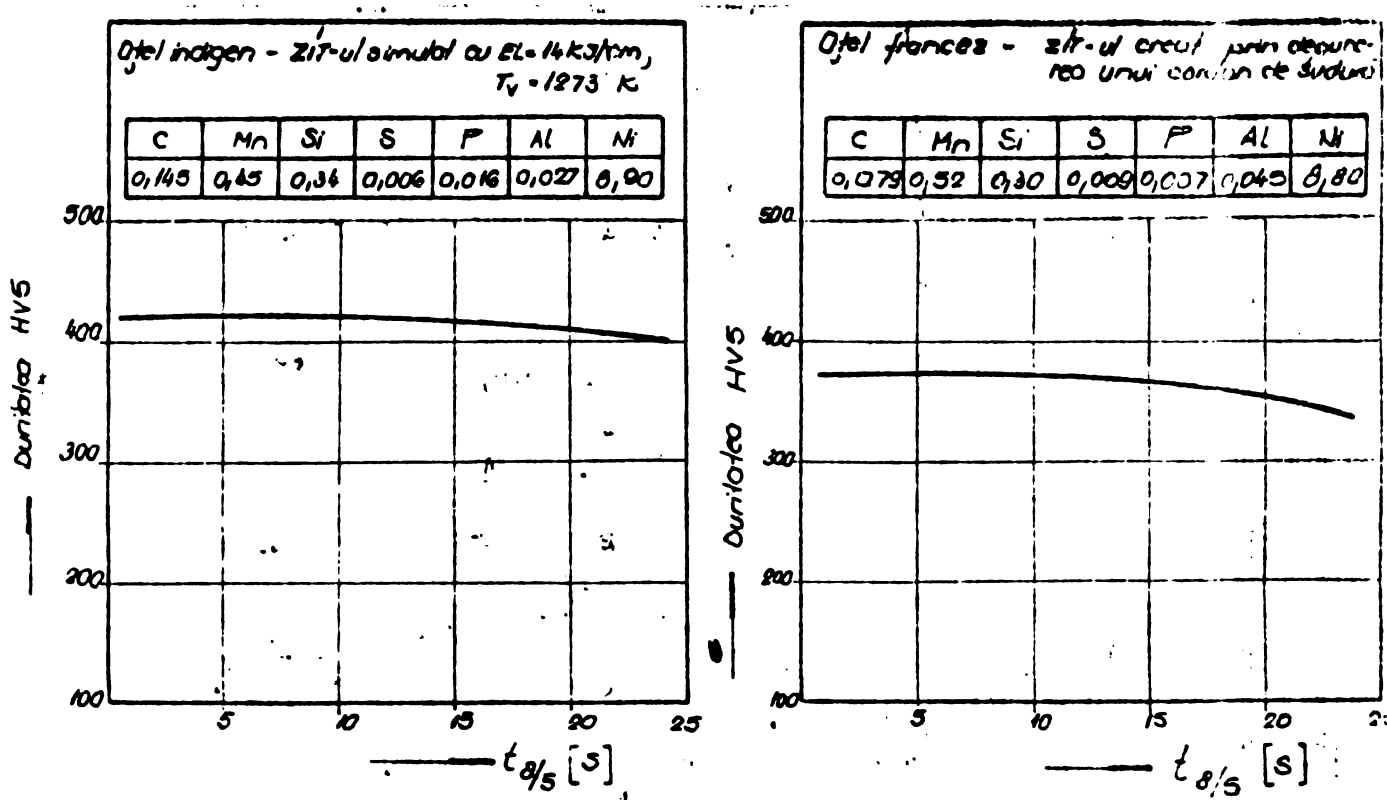


Fig.3.3. Variația durătăii HV5 funcție de parametrul răciri $t_{3/5}$.

Se confirmă astfel cele prezentate în lucrarea 121 că valoarea maximă a durătăii (durătatea martensitică) nu depinde practic decît de conținutul în carbon. Studiile și încercările efectuate de IRSID pe oțeluri cu diferite conținuturi în carbon (0,06% C - 0,21%) au permis stabilirea unei relații între durătatea maximă în ZIT și conținutul în carbon al oțelului de forma:

$$HV_{\max ZIT} = 283 + 930\% C$$

Această relație se verifică experimental și în cazul oțelurilor criogenice cu 9%Ni indigene care au fost suvuse simulării ciclurilor termice de la sudare.

$$\text{Pentru } 0,13\% C \quad HV_{\max ZIT} = 283 + 930 \cdot 0,13 = 404$$

$$\text{Pentru } 0,15\% C \quad HV_{\max ZIT} = 283 + 930 \cdot 0,15 = 423$$

- Încercări de reziliență efectuate pe epruvete Charpy V la 77°K. Epruvetele au fost călite, prelevarea lor s-a făcut din ZIT. Cind conținutul în Al este cel normal (0,040%) reziliențele pe epruvete călite scad proporțional cu creșterea conținutului în C (fig.3.4)

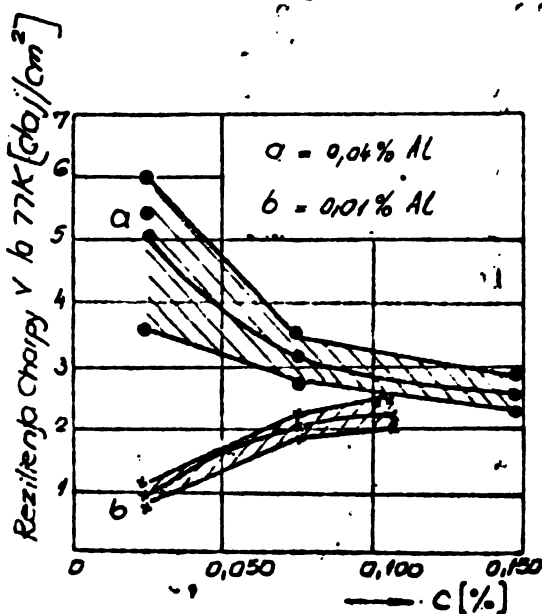


Fig. 3.4. Variația rezilienței

Chery V la 77 K funcție de conținutul în C și Al. 7 ... și consumatorii de oțeluri criogenice din lume (Tabelul 2.1)

Încercările prezentate în lucrările [48,70] au condus la concluzia că cele mai bune rezultate se obțin în cazul în care se realizează simultan un conținut scăzut în C și conținut în Al convenabil.

Conținuturile între 0,020% și 0,050% sunt cele mai favorabile pentru ambele elemente. Totuși se va că un conținut în C puțin mai ridicat, de ordinul 0,06% C ar fi preferabil pentru o comportare bună a ansamblului construcției.

Studiile efectuate pe rezervoare din oțel cu 0,09% C au demonstrat că se pot obține rezultate satisfăcătoare în cazul oțelului cu conținut în C sensibil mai ridicat.

Rezultatele obținute în cazul sărjelor experimentale fără adăo de Al sunt mult mai slabe, diferența apărând mai evident în cazul oțelurilor cu conținut scăzut în C. 7 .

Caracteristicile mecanice ale oțelului cu 9%Ni de proveniență indigenă (tabelul 2.1) obținute pe probe în stare călită și revită respectiv simulate sunt prezentate în tabelul 3.1.

Valori din tabel sunt media a trei măsurători.

Valorile obținute se încadrează în normele și specificațiile naționale ale țărilor producătoare și consumatorii de oțeluri criogenice din lume (Tabelul 2.1)

Caracteristicile mecanice ale oțelului cu 9% Ni de proveniență indigenă, obținute pe probe în stare C+R, respectiv simulate, simulate și detensionate

Tabelul 3.1.

Nr. crt.	Tipul probei	T_{inc} K	Characteristici mecanice						Obs.
			R_m daN/mm ²	$R_{0,2}$ daN/mm ²	A_5 %	Z %	KCV	daJ/cm ²	
MB									
călit și	293	76,7	71,4	69,7	20,5	15,2			Table cu erosiunea 30 mm
revenit	77	108,2	104,9	66,3	19,4	8,3			
ZIT									
simulat	293	134,2	120,1	67	13	12,3			
Cu $E_L =$ $= 14 \text{ kJ/cm}^2$	77					4,8			
simulat și detensionat	293	94	82,1	70	21	15,1			
	77					5,6			

Tinând seama de necesitatea de a limita duritatea în ZIT la 400 HV și de scăderea progresivă a plasticității metalului cu creșterea conținutului în C, apare necesitatea de-a limita la maximum 0,1% C, în cazul construcțiilor la care nu se aplică tratament termic de detensionare după sudare, în toate cazurile apare necesitatea calibrării cu Al, astfel că se rămâne 0,09% Al reziduul.

3.2. MATERIAL DE ADAOS.

3.2.1. Condiții impuse materialelor de adaos.

Materialele de adaos folosite la sudarea oțelurilor cu 9%Ni trebuie să asigure în același timp o rezistență la runere de valori ridicate peste 70 daN/mm^2 , o reziliență KCV de $4 \dots 6 \text{ daJ/cm}^2$ la 77°K și să fie și economice.

Că materiale de adaos se vor utiliza:

- aliaje de bază de Cu care în general nu corespund datorită rezistenței de runere mici [50:95]

- aliaje cu conținut ridicat în Ni care au un coeficient de dilatare apropiat de cel al metalului de bază, dar au un preț de cost ridicat.

- oțeluri bifazice austenito-feritice care având structuri frațile nu fost abandonate;

- oțelurile austenitice care rezolvă problema rezilienței la temperaturi scăzute, dar prezintă pericolul fisurării la cald și au o rezistență la tracțiune mai mică decât a MB.

Cu toate aceste, năjunsuri electrozii austenitici ară că cei mai indicați [50, 95].

Materialele de adas (MA) folosite trebuie să asigure ca fimbriile sudate să satisfacă următoarele condiții:

- nici o fisură să nu apară în MA;
- coeficientul de dilatare termică a MA să fie apropiat de cel al MB;

- proprietățile mecanice ale cuplurilor să fie sensibile egale cu cele ale MB mai ales în ceea ce privește rezistența la tracțiune și reziliența la 77 K.

Cu privire la alegerea MA adecvate pentru sudarea oțelurilor criogenice cu 9%Ni năjurerile sunt contradictorii. Dacă în U.S.A. și parțial în Franța se folosesc aliaje pe bază de Ni cu limită de curgere scăzută dar cu coeficient de dilatare avantajos în Europa se folosesc MA speciale pe bază de Cr-Ni cu limită de curgere mai ridicată. [47; 50; 110; 117].

3.2.2. Tipuri de electrozi și sârmă pentru sudarea oțelurilor cu 9% Ni.

3.2.2.1. Electrozi tip INCONEL

Electrozii încercăți la sudarea oțelurilor cu 9% Ni și fost de mai multe tipuri și se vede că încă nu a fost găsit un electrod care să satisfacă toate cerințele impuse.

Construcțiile de rezervoare realizate pînă în prezent în U.S. și Franța au fost sudate cu electrozi tip INCONEL.

Compoziția chimică a sârmelor inconel folosite la electrozii înveliți pentru sudarea oțelurilor criogenice cu 9% Ni este prezentată în tabelul 3.2.

La toate sârmele conținutul în Ni este restul pînă la 100%. În toate sârmele Si ≤ 0,75%; P = 0,02%; S ≤ 0,02%.

Încercările efectuate pe fimbriile sudate cu electrozii INCONEL ale oțelului criogenic cu 9%Ni sunt prezentate în cele ce urmează [7].

Compoziția chimică a sîrmelor Inconel folosite la electrozii înveliți pentru sudarea otelurilor criogenice cu 9% Ni

Tabelul 3.2.

Tipul	Compoziția chimică %							
	C	Mn	Cr	Mo	Nb	W	Fe	Cu
WELD8	0,10		13..17	0,5..2,5	1,0..3,0	-		
WELD9M				1,5..2,5	-	6..12		0,5
WELD42	1,0..3,5				1,5..3,0	-		
WELD44	0,15		11..15	1,3..2,5		2,0..3,0		
WELD112	0,10	1,0	16..21	7,0..10,0	2,0..3,0	-	"	-

Analiza metalului de sudare % .

C	Si	Mn	Cr	Mo	Co	Fe	Cu	S	N
max 0,15	max 0,75	1,0..3,5	13..17	0,5..2	1,0..3,0	6,0..12,0	0,5	0,02	re

Proprietățile mecanice ale metalului de sudare sunt:

$R_m = 64 \text{ daN/mm}^2$; $R_o = 26,6 \text{ daN/mm}^2$; $A_s = 43\%$; $Z = 55\%$ la $T_{fne} = 293 \text{ K}$

$R_m = 0,3 \text{ daN/mm}^2$; $A_s = 21\%$ la $T_{fne} = 77 \text{ K}$

In tabelul 3.3. sunt prezentate proprietățile mecanice ale îmbinărilor sudate (R_m în daN/mm^2) în diferite poziții de sudare

R_m [daN/mm²] a îmbinării sudate realizate cu electrozi

Inconel în diferite poziții de sudare

Tabelul 3.3.

Nr.	Metal dublu normalizat	Metal călit și revenit	Poziție de sudare							
			vert.	oriz.	vert.	oriz.	vert.	oriz.	vert.	oriz.
1.	64,5	77,0	66,3	75,4	71,8	78,9	71,5	76,7		
2.	66,0	76,0	65,0	75,3	73,5	90,0	68,0	76,6		

În tabelul 3.4. sunt prezentate rezistențele Charpy V

la 77 K. în $\frac{\text{dej}}{\text{cm}}$

Reziliențele Charpy V $\frac{\text{daF}}{\text{cm}^2}$ la 77 K funcție de
poziția creștării.

Tabelul 3.4

Crestătura în ZIM	3,7	4,4	3,8	2,8	4,0	3,0	3,3	3,9
Crestătura în MA	5,0	4,9	5,0	6,0	5,1	5,9	5,3	5,0

Valorile indicate în tabel sunt medie a trei încercări.
În tabelul 3.5 se prezintă stabilitatea proprietăților mecanice ale
oțelului cu 9%Ni după menținere la $T_{\text{inc}} = 77$ K.

Influența menținerii la 77 K asupra caracteristicilor
de tractiune ale oțelului cu 9%Ni [7].

Tabelul 3.5

Proprietăți mecanice	Înainte de menținere	După menținerea la 77°K	
		1 lună	3 luni
R_m daN/mm ²	178,5	83,5	90,0
$R_{0,2}$ daN/mm ²	57,2	57,0	57,0
Alungirea A_5 %	22,0	20,3	20,0
Gătuirea Z %	68,5	66	67,0
Reziliență KCV $\frac{\text{daF}}{\text{cm}^2}$	9,5	10	10
pe metal denus tip Inconel			

3.2.2.2. Electrodul Z-20CNMW17-3

Literatura studiată nu prezintă construcții sudate și acest
tip de electrod ci doar încercări de laborator [3]. Compoziția
chimică medie a metalului denus este:

Tip	Compoziția chimică %					
	C	Si	Mn	Ni	Cr	W
A	0,18	0,25	6,0	12	15,5	3,0
B	0,25	0,60	9,0	13	17,5	4,5

Stabilitatea austenitei metalului denus cu acest tip de
electrod a fost urmărită prin încercări de reziliență și prin urmă-
rirea evoluției permeabilității magnetice pe surubete, menținute
timp de o lună la 77 K, respectiv 180 ore la 293 K și 77 K. Ambele

Încercările au arătat o bună stabilitate a eustenitei.

Coefficientul de dilatare ($13,1 \cdot 10^{-6}$) este mai ridicat decât cel al oțelului cu 9% Ni.

Electrodul are încovoiș basic cu puțin hidrogen și nu permite sudarea în toate pozițiile. Reziliențele obținute sunt de temenea satisfăcătoare. Încercările au arătat că adăosul de Ni elimină pericolul de fisurare la cald, deci din acest punct de vedere este superior electrozilor tip Inconel. Se utilizează ca electrod pentru sudarea manuală și sferul pentru sudarea MIG.

În tabelul 3.6 se prezintă caracteristicile mecanice ale metalului denumit cu electrodul Z20CNW17-13.

Caracteristicile mecanice ale metalului denumit cu electrodul Z20CNW17-13

Tabelul 3.6

T finc K	Rm daN/mm ²	R _{0,2} daN/mm ²	A ₅ %	Reziliență KCV daJ/cm ²
293	64-70	49-52	37-42	12,5-13,5
77	113-117	85-86	22-29	7-9

3.2.2.3. Electrozii 25Cr20Ni, 17Cr14Ni și 18Cr8Ni12Mo

In ideea utilizării unor electrozi mai economici și mai manevranti decât electrozii tip Inconel au fost experimentați electrozi de alte compozitii. Astfel sunt electrozii de tip 25Cr20 și 17Cr14Ni, și niște austenitice și electrozii 18Cr8Ni12Mo care conțin cantități variabile de ferită 7%.

Proprietățile mecanice ale îmbinărilor sudate realizate cu diferite sorturi de electrozi sunt prezentate în tabelul 3.7.

Tabelul 3.7

Marca electrod denum	Metal	Caracteristici mecanice				Tensiunea la fragilizare
		daN/mm ²	daN/mm ²	A ₅ %	daJ/cm ²	daJ/cm ²
17Cr70Ni Inconel	Allini tip	67-72	40-47	30-34	30-34	9-12
17Cr60Ni Inconel	Allini tip	56	36	20	34	10

1	2	3	4	5	6	7	8
	C sc̄zut	59	37,2	37	35	5,1	da
	Mn normal						
25Cr20Ni	C sc̄zut + Mo	63,2	40	26	32	0,5-3	da
	C sc̄zut	58,6	45	30	-	-	-
	Mn ridicat						
	C sc̄zut						
	Mn normal	43-61	36-45	14-29	14-15	6,5-7,5	da
17Cr14Ni	C sc̄zut	50,3	34	35	43,2	5,1	-
	Mn ridicat						
	10-20% Fe	73,4	57	29,8	43	2,0	-
18Cr10Ni	Fe-5%						
12Mo	Mn-2%	58,5-	0-51	23-26	28,5-	3,7-4,7	nu
		62,5			54		
	Fe-5%						
	Mn ridicat	62-64	46,6-	35	50	3,9-4,6	nu
			49,4				
Cr25Ni20B	x C ^{max} o 126	56-70	39-45	36-42	-	6,8-8	nu

* Electrozi românești

Se obserwuje:

- reziliența antisfocatoare se obține cu condiția ca fecita să nu depășească 6% și conținutul în C = 0,08%;

- rezistența la ruperere este în general insuficientă în cazul electrozilor 25Cr20Ni și 17Cr14Ni, cu electrozii 18Cr10Ni2Mo se poate însă obține $R_u = 63 \text{ daN/mm}^2$;

- necesitatea obținerii unei limite de curgere finală nu pune probleme;

- fragilizarea metalului deoarece este întotdeauna mai mare la electrozii austenitici cu teste că au un conținut în C mai scăzut

Electrozii 18CrMoNil²⁻¹⁰ au arătut că cei mai promițători date rezultă prezenței Mo care are un efect favorabil atât asupra rezistenței la fisurare cît și asupra R_m .

In tabelul 3.8 se prezinta mările de electrozi produse de diferite firme care au caracteristici mecanice acceptabile sau și în unele cazuri reziliente la 77 K și care nu fi recomandate la sudarea țelurilor/criogenice alinte cu Q671.

ELECTROZI RECONANDATI PENTRU SUDAREA OTELURILOR CRIOGENICE

Reciflente a PC enruvete DVM.

3.2.3. Elaborarea unor noi firme și electrozi pentru sudarea oțelurilor criogenice cu 9%Ni.

... Deseori a apărut ideea de a folosi un electrod similar cu 9...12% Ni pentru sudarea oțelurilor criogenice cu 9%Ni, dar literatura consultată nu prezintă nici construcții sudate și nici încercări de laborator cu acest tip de electrod.

Pornind de la aceste considerente am căutat elaborarea unei mărci de electrozi cu compozitie chimică similară cu a metalului de bază.

3.2.3.1. Material folosit - compozitie chimică - pregătire.

Oțelul cu 9%Ni a fost elaborat în cunțor electric de 500 kg și turnat în lingouri de 170 kg. Lingourile au fost laminate la țagle cu latura 7 mm. Încălzirea țaglelor s-a făcut într-un cunțor electric, vîrtej de încălzire fiind de 1,5 min. pentru fiecare mm din latura semicirculară. Temperatura de încălzire a fost de 1423 K.

Țaglele au fost sunate în continuare laminării, vîrtej la Ø6mm.

Schema de laminare este prezentată în figura 3.5.

Compozitie chimică a oțelului criogenic cu 9% Ni folosit în elaborarea firmei este prezentată în Tabelul 3.9.

Tabelul 3.9.

Marca	Compozitie chimică %							
	C	Mn	Si	P	S	Ni	Cr	Al
12Ni90	0,11	0,39	0,20	0,010	0,004	8,95	0,04	0,006
	0,14	0,43	0,36	0,012	0,005	9,28		0,012

3.2.3.2 Încercări și rezultate privind elaborarea firmei de sudare

Datorită scruisării puternice a materialului în timpul laminării, la toate categoriile de oțeluri dinăuntrul laminare în vederea trefilării se recomandă un tratament termic de reconacere care să ducă la creșterea susținărilor de plasticitate.

La oțelurile obișnuite reconacerea se face în temperaturi de 1073...1173 K.

La oțelul cu 9%Ni reconacerea la 1123...1173 K nu a dat rezultate asemănătoare motiv pentru care s-au făcut încercări experimentale

folosind diferite regimuri de tratament termic (Tabelul 3.10)
în vederea obținerii caracteristicilor de rezistență și plasticitate dorite ($R_m = 30 \text{ daN/mm}^2$ și Z este 65%)

Cojă	Tip cojei	Formă calibrată	Dimensiuni călăru	Secțiune	D_{cl} (mm)
Preparat I	1	-	75 x 75	5850	-
		3	90 x 42	3065	580
		4	49	2336	580
		5	70 x 28	1680	580
		6	36,5	1300	580
		7	52 x 20	920	580
		8	26	667	340
Preparat II	2	9	42 x 14	460	340
		3	10	336	350
Preparat III	4	11	30 x 10	230	355
Preparat IV	1	12	13 x 13	165	200
	2	13	21 x 7,4	116	305
	3	14	9,5 x 9,5	85,2	340
	1	15	16 x 5,4	64	310
	2	16	7,6 x 7,6	52,5	280
	3	17	11 x 5,6	44	310
	1	18	Φ 7	39,3	40
	2	19	10 x 4,25	32,3	310
	3	20	Φ 6	28,3	310

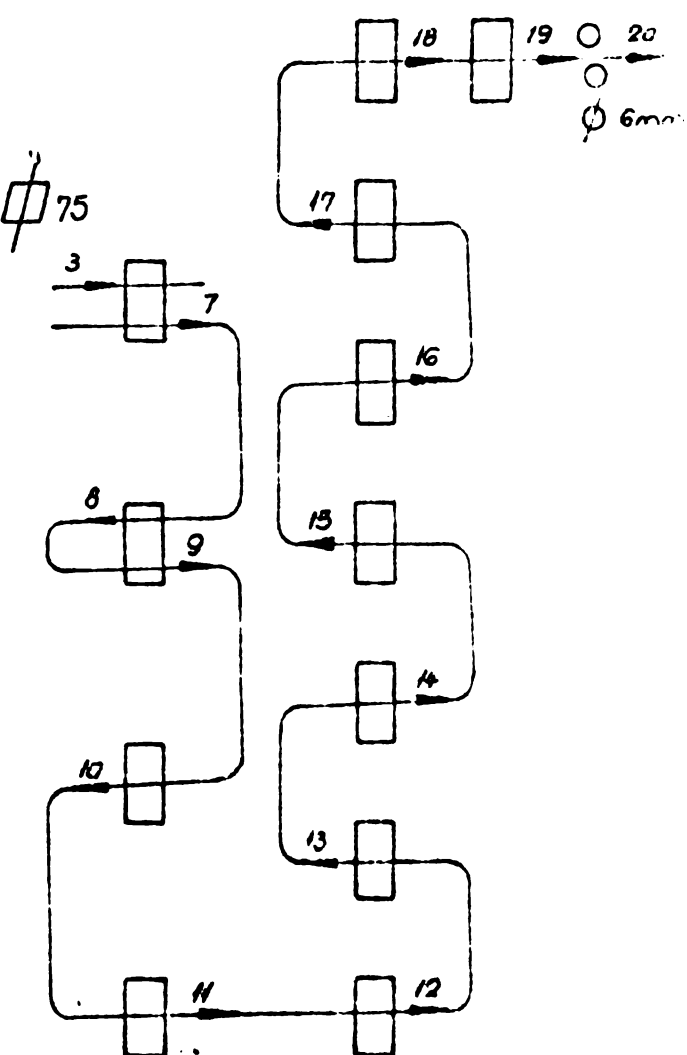


Fig. 3.5. Schema de laminare a șailelor din oțel
cu 9.5N1

Caracteristice mecanice ale oțelului cu 9%Ni
funcție de tratamentul termic aplicat.

Tabelul 3.10

Tipul probiei	R_m [daN/mm ²]	A_5 [%]	Z [%]		
	Valori individuale	Media	Valori individuale	Media	Valori individuale
Duș laminare la Ø6mm	138,3 140,1 136,2	138,2	13,3 14,8 14,5	14	62 60 62
Recoacere la 1173 K/ 2h/cuptor	96,6 98,3 98,7	97,8	14,8 15 14,6	14,8	60 60 60
Recoacere la 1123 K/ 2h/cuptor	108,3 105,4 106,2	106,6	14,6 14 14,3	14,3	59 60 60
Recoacere la 1123 K/ 2h/cuptor + revenire la 848 K/2h/acer	80,6 78,1 80,2	79,6	21,1 32,1 22,3	22	68 68 68
Încălzire la 848 K/ 2h/acer	82,6 81,9 81,3	81,9	14,6 16,1 17,3	16	70 61 67

3.2.3.2.1. Încercări de tractiune

Toate încercările de tractiune s-au făcut conform STAS 200-7 și rezultatele obținute sunt prezentate în tabelul 3.10.

- Analiza acestor rezultate sugerează următoarele observații:
- Recoacerea la 112...1173 K/2h/cuptor duce la obținerea unor caracteristici de rezistență de valori ridicate ($R_m = 98...107$ daN/mm²) și a unor caracteristici de plasticitate necorespunzătoare ($A_5 = 14,3...14,8\%$ și $Z = 59,6...60\%$).
 - Recoacerea la 1123 K/2h/cuptor urmată de revenire la 848 K/2h/acer a condus la obținerea următorelor caracteristici, $R_m = 79,6$ daN/mm²; $A_5 = 22\%$; $Z = 68\%$.
 - Încălzirea la 848 K/2h/acer a condus la obținerea următorelor caracteristici: $R_m = 81,9$ daN/mm²; $A_5 = 16\%$; $Z = 63,6\%$.

Conform acestor încercări tratamentul termic optim aplicat duș laminarea la Ø 6 mm ar fi încălzirea la 848 K/2h/acer care asigură însurări de plasticitate corespunzătoare deformării în bune condiții a materialului.

3.2.3.2.2. Încercări de duritate.

Încercările de duritate s-au făcut prin metoda Vickers (HV_5) respectându-se condițiile STAS 492-73.

Valorile măsurătorilor de duritate în funcție de starea de tratament termic aplicat sunt prezentate în figura 3.6.

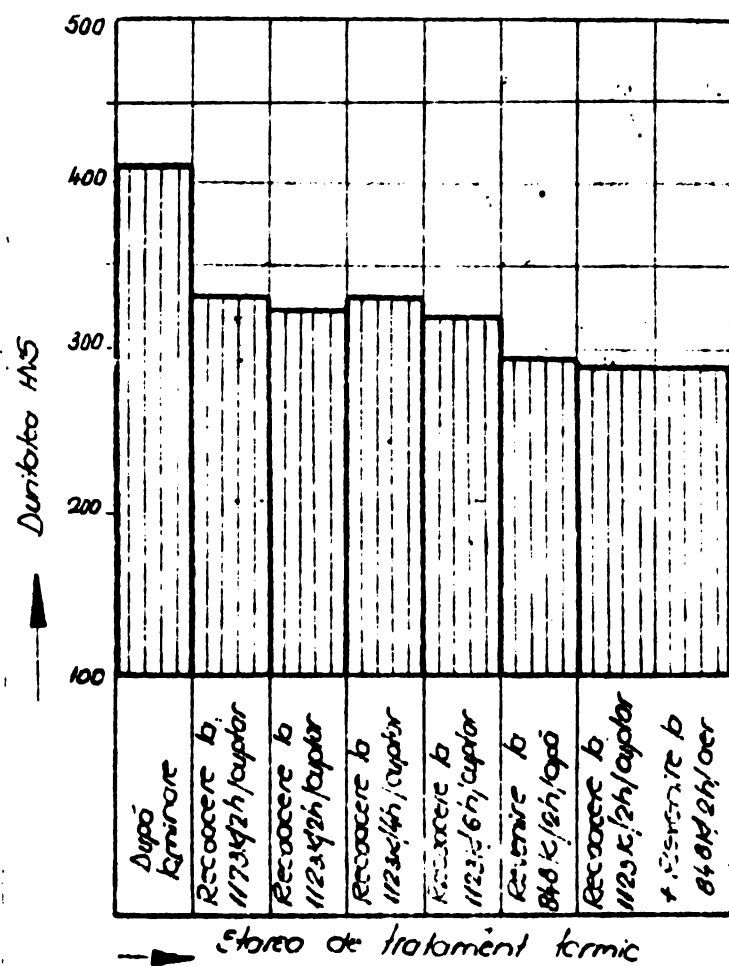


Fig.3.6. Variația durității HV_5 funcție de tratamentul termic aplicat

3.2.3.2.3. Structura probelor.

Examinarea structurii s-a făcut cu ajutorul microscopului electronic folosind o reaclică dublă de celuloză și carbon umbrită cu crom.

Cercetările metalografice electronice scot în evidență următoarele:

- structura probelor dină laminare este alcătuită din bainită aciculară, constituent care asigură caracteristici de rezistență de valori ridicate (Planga IV fig.1);

- în urma reconcerii la 1123 K respectiv 1173 K/2h/cu tor structura obținută este alcătuită din bainită granulară. La 1123 K/2h/cu tor strucutura obținută este mai fină decât la 1173 K/2h/cu tor (Planga IV fig.2 și 3).

De menționat că valorile prezentate sunt media a 5 măsurători individuale. Din analiza rezultatelor prezente în graficul din figura 3.6. rezultă că în urma tratamentelor termice de reconcere la 1123 K/2h/cu tor+revenire la 848 K/2h/aer sau încălzire la 848 K/2h/urză duritatea scade cu circa 120 unități HV_5 față de starea inițială cea căduce la îmbunătățirea deformabilității materialului.

Pe măsură ce crește durata de menținere la aceeași temperatură de recoacere structura devine mai grosolană datorită efectului timpului asupra fenomenelor de difuziune (Planșa IV fig.4 și 5)

- în urma recoacerii la 1123 K/2h/cuptor urmată de revenire la 848 K/2h/aer structura este formată din ferită și o mică cantitate de bainită constituente care asigură caracteristici de rezistență și plasticitate de valori ridicate (Planșa IV fig.6);

- în urma încălzirii la 848 K/2h/undă structura este formată din ferită și cementită globulară (Planșa IV. fig.7) constituente care asigură însușiri de plasticitate corespunzătoare deformării în bune condiții a materialului.

Pe baza încercărilor efectuate se poate concluziona că oțelul aliat cu 9%Ni poate fi utilizat la fabricarea sîrmelor de sudare în următoarele condiții:

- temperatura de laminare este de 1423...1123 K; viteză de încălzire este de 1,5 min/mm din latura semișantierului;

- răcirea se efectuează în patul de laminare cu viteza de răcire sub 473 K/min;

- după laminarea la Ø6 mm în vederea trefilariei în Ø4 ; 3,25; 1,2 și 0,8 mm se necesită fie o reconcere la 1123 K/2h/cuptor urmată de revenire la 848 K/2h/aer fie o încălzire la 848 K/2h/undă.

Din motive economice se recomandă încălzirea la 848 K/2h/undă.

Sîrmele cu 9%Ni obținute dintr-o tehnologie prezentată au fost folosite la elaborarea electrozilor cu 9%Ni respectiv 12%Ni, 16%Cr, 8%Mn, 3,5%W utilizati în încercările experimentale prezentate în calea următoare.

3.3. PRELIMINARĂ ATĂUATORIE ÎN VĂDAREA SUDARII

Cercetarea experimentală a cuprins două mari grupe de eșantioane având ca material de bază oțelul criogenic cu 9%Ni de grosimi 12 și 30 mm.

Compoziția chimică a tablelor din oțel criogenic cu 9%Ni de grosimi 12 și 30 mm este prezentată în tabelul 2.1.

Datorită acestor oțeli se utilizează pentru fabricarea inutilizărilor în stare tratată termic. S-a efectuat după laminarea semi-fabricatelor o recoacere completă urmată de călăre și revenire.

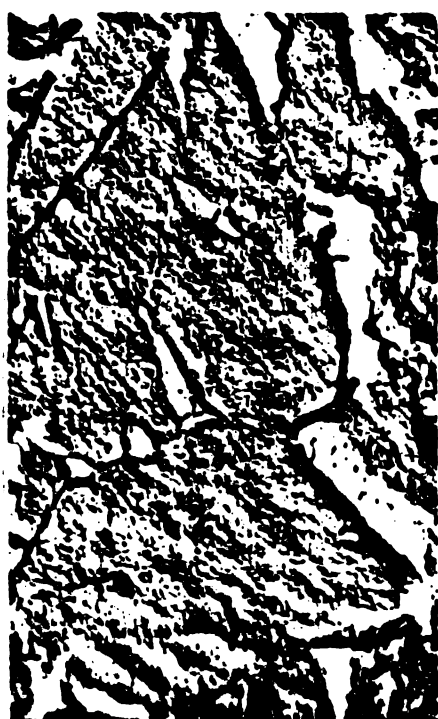
Regimul de tratament termic a fost: recoacere la 1173 K/2h/cuptor + călăre la 1083 K/2 min/mm/undă + revenire la 848 K/2h/aer.

PLANSA IV



MEx6300

Fig.1. Starea initială



a. MEx6300

Fig.2. Recristalizare la $1173^{\circ}\text{K}/2\text{h}/\text{cuntor}$



b. MEx2500

Fig.2. Recristalizare la $1173^{\circ}\text{K}/2\text{h}/\text{cuntor}$

PLANSA IV (continuare)



a. ME_x6300



b. ME_x2500

Fig.3. Recoacere la 1123°K/2h/cuptor



a. ME_x6300



b. ME_x2500

Fig.4. Recoacere la 1123°K/4h/cuptor

PLAVSA IV (continuare)

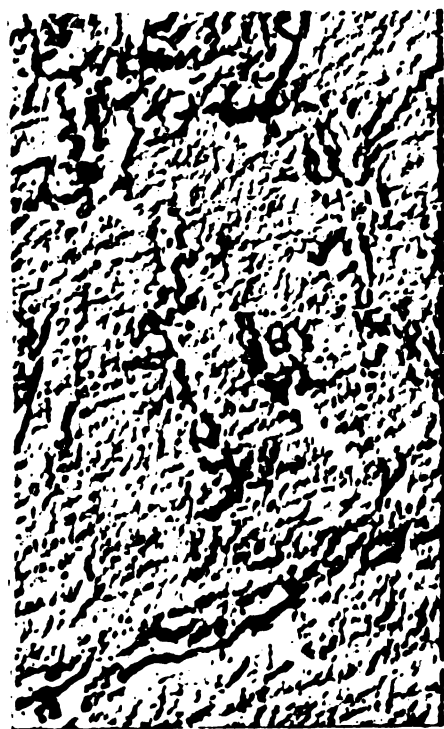


a. MEx6300



b. MEx2500

Fig.5. Reconcere la $1123^{\circ}\text{K}/6\text{h}/\text{cuntor}$



a. MEx6300



b. MEx2500

Fig.6. Reconcere la $1123^{\circ}\text{K}/2\text{h}/\text{cuntor} +$
Revenire la $848^{\circ}\text{K}/2\text{h}/\text{aer}$

PLANSA TV (continuare)



a. MEx6300



b. MEx2500

FIG.7. Încălzire la $848^{\circ}\text{K}/2\text{h}/\text{apm}$

Marginile tablelor au fost prelucrate în V cu unghiul deschiderii rostului de 60° și umărul rostului 2...2,5 mm la tabla de 12 mm și în X cu unghiul rostului de 60° , respectiv în X cu unghiul deschiderii rostului de 45° și umărul rostului de 2...3 mm la tabla de 30 mm.

Prelucrarea rostului a fost efectuată numai prin rabotare.

In vederea sudării s-a făcut curățirea tablelor pînă la luciu metalic cu o perie de sîrmă pe o distanță de cel puțin 30 mm de o parte și alta a rostului, iar în cazurile în care stratul de oxizi a avut o adîncime mai mare de 0,5 mm, curățirea s-a făcut prin polizare pe aceeași distanță.

3.4. PROCEDEE DE SUDARE APLICATE

Executarea probelor sudate a constat în sudarea cuplu cuplu în cîte două table avînd dimensiunile $12 \times 90 \times 300$ mm și $30 \times 130 \times 300$ mm în variantele de rost și procedee de sudare prezentate în figura 3.

Sudarea manuală s-a făcut, în curent continuu cu polaritate inversă folosind ca materiale de adaos electrozii ELCr25Ni20B din

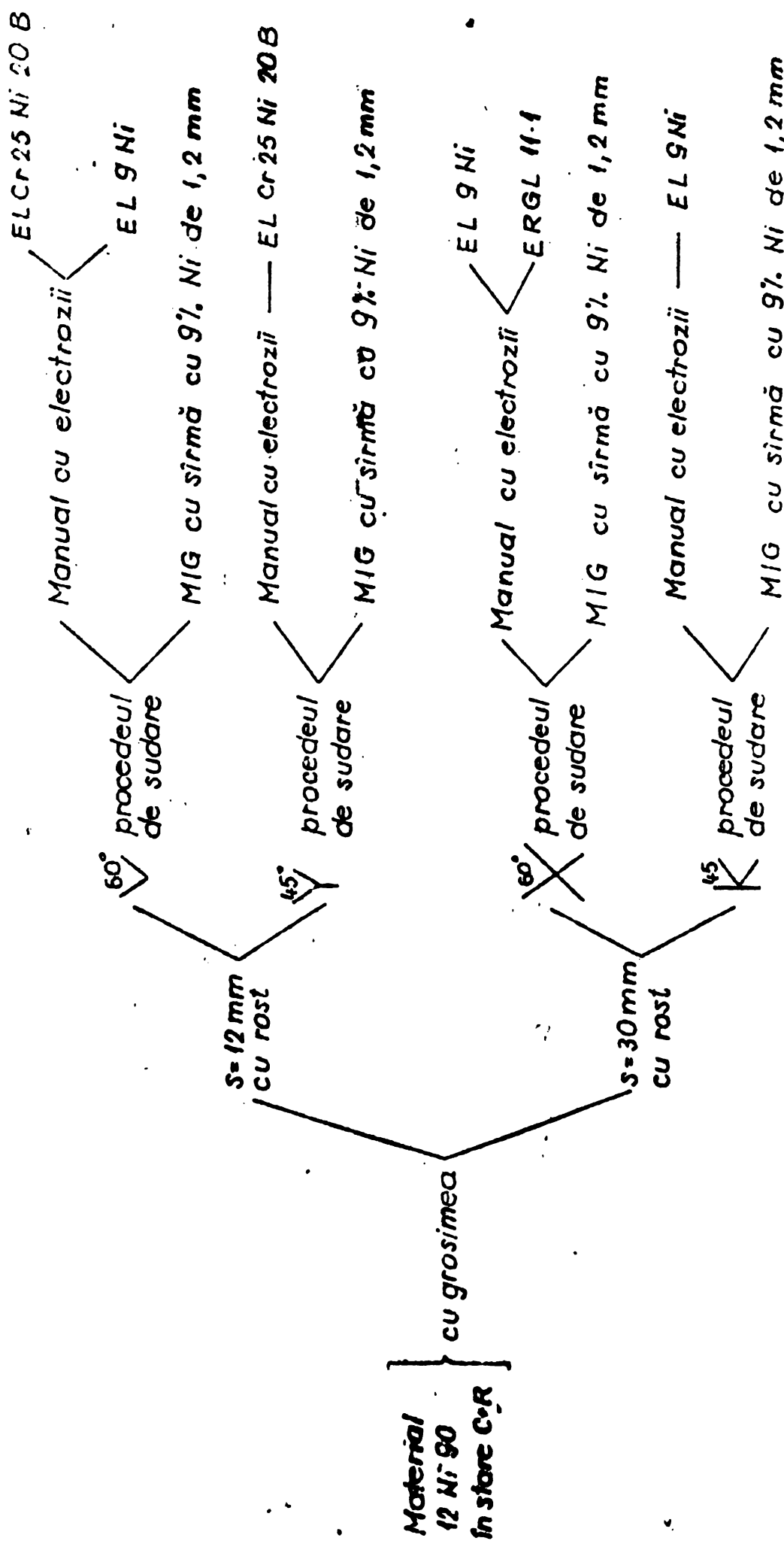


Fig. 3.7 Modul de realizare a imbinărilor sudate

producția curentă, electrozi EL9Ni și ERGL11.1 realizati experimental iar ca surse, generatorul monobloc tip GES-350. Electrozii nu sunt uscați înainte de utilizare.

Sudarea în mediul protector de argon (sudarea MIG) s-a făcut folosind sîrma cu 9%Ni avînd compoziția chimică apropiată de a metalului de bază iar ca și surse de sudare instalația Tip ARCOS - Micromatic TC.300.

Compoziția chimică a metalului depus cu electrozii menționat respectiv cu sîrma cu 9%Ni este prezentată în tabelul 3.11.

Tabelul 3.11

Tipul electrodului	C	Mn	Si	S	P	Vi	Cu	Cr	Al	W
ELCr25Ni20B	0,10	0,60	0,15	0,010	0,01	21,1		24,8	-	-
EL9 Ni	0,08	0,55	0,17	0,009	0,02	9,02	-	0,08	0,010	-
ERGL11.1	0,15	7,63	0,62	0,005	0,015	11,98	0,11	-	3,31	16,77
Sîrma cu 9%Ni	0,08	0,60	0,18	0,010	0,018	9,05	-	0,05	0,012	-

In cadrul încercărilor s-a urmărit influența numărului de traci și a ordinii de depunere a straturilor asupra calității îmbinărilor și asupra tensiunilor și deformărilor care apar în urma sudării.

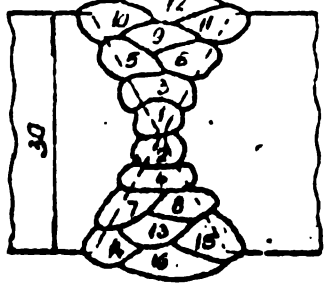
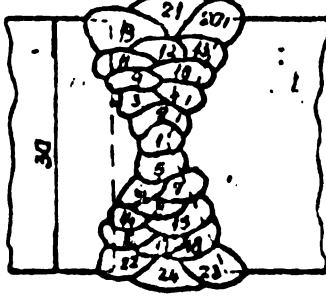
Pe baza rezultatelor experimentale și a datelor existente în literatura de specialitate [3,5,28,50,71,95] s-au stabilit parametrii regimului de sudare, la table cu grosimea de 12 și 30 mm.

Modul de realizare a îmbinărilor sudate (forma rostului, numărul și ordinea straturilor și parametrii regimului de sudare) sunt prezentate în tabelul 3.12

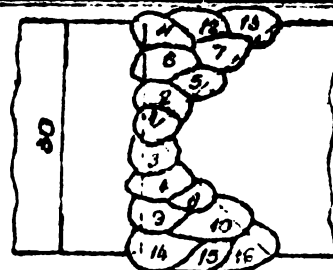
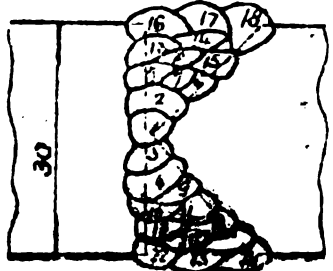
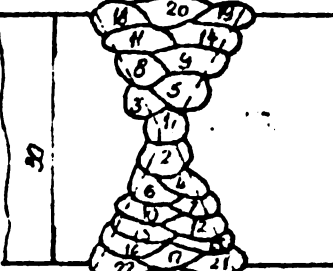
3.5. TRATAMENTE TERMICE. ANTE SI-POST SUDARE

Problema de bază a tratamentelor termice în legătură cu sudarea este de a zăsi acel ciclu termic care suprapus peste ciclul parcurs la sudare să dea un ciclu rezultant în urmă căreia îmbinarea să obțină însușirile dorite.

Tabelul 3.12

Nr en.	Formă întâlnită	Procedură de aplicare	Material de ocasie	Nr. de locuri	Δt [mm]	I_s [A]	U_0 [V]	E_L [kJ/cm ²]	Q_{gr} [J/min]	V_p [m/min]
1		Manual	ELCr 25Ni 20	13/2	3,25	90±5	22±2	8...10	—	—
				3...5	4	120±5				
2		Manual	EL 9 Ni	13/2	3,25	90±5	22±2	8...14	—	—
				2-4	4	125±5				
3		MIG	Sirnă cu 9% Ni Ø 1,2 mm	1...5	1,2	235±10	26±2	7...14	22 ~ 25	7,5
4		Manual	ELCr 25Ni 20B	13/2	3,25	90±5	22±2	8...14	—	—
				3...5	4	120±5				
5		MIG	Sirnă cu 9% Ni	1...5	1,2	235±10	28	7...14	22 ~ 25	7,5
6		MIG	Sirnă cu 9% Ni	13/2		225±5			22 ~ 25	7,5
				3...16	1,2	235±10				
7		Manual	EL 9 Ni	13/5	3,25	90±5	22±2	8...14	—	—
				2-24	4	125±5				

Tabelul 3.12 (continuare)

1	2	3	4	5	6	7	8	9	10	11
8		M10	Sirmo ^t cu 9% Ni	42		28	7...14	22 ~ 25	75	
9		Manual	CL 9Ni	10' 3	3,25	90±5	22±2	8...14	—	—
10		Manual	ERGL II.1	15' 2	3,25	NO 10	22±2	8-14	—	—

Luind în considerare modul de suprapunere în timp a ciclurilor termice corespunzătoare sudării și tratamentului termic în cazul sudării oțelurilor criogenice cu 9%Ni se întâlnesc ca și tratamente termice în legătură cu sudarea preîncălzirea și detensiunea.

3.5.1. Preîncălzirea

Preîncălzirea pișecelor în vederea sudării este utilă pentru reducerea tendinței spre fisurare, prevenirea porilor și a fragilizării în ZIT, pentru micșorarea tensiunilor interne. În același timp însă preîncălzirea mărește cheltuielile de producție îngreunând nuanța sudorului și poate duce la efecte negative cum sunt: creșterea grăunților cristalini în ZIT, deformații în structură.

Oportunitatea preîncălzirii și temperatură de preîncălzire necesară se determină luând în considerare atât compoziția chimică a metalului de bază cît și concepția constructivă a produsului sudat împreună cu parametrii procesului de sudare și caracteristicile materialului de ados 57,30.

În cazul oțelurilor criogenice aliante cu 9%Ni s-au făcut determinări teoretice ale temperaturii de preîncălzire prin mai multe metode [77,80,84,103] rezultatele fiind prezentate în tabelul 3.13

Tabelul 3.13

Tipul oțelului tablei	Grosimea mm	Normele japoneze		Metoda Kroško		Metoda IIS		Norma M-27-50	
		Ce %	Tpr K	Ce %	Tpr K	Ce %	Tpr K	Ce %	Tpr K
12Ni90	12	0,42	-	0,80	x	0,82	x	0,81	x
	30	0,45	-	0,83	x	0,85	x	0,84	x

Obs. x în tabel arată că preîncălzirea nu este eficientă

→ în tabel arată că preîncălzirea nu este necesară

S-a verificat și experimentat problema preîncălzirii, folosin metoda C.T.S. [103,105] și se confirmă cele stabilite prin calcul (Tabelul 3.13).

Se confirmă astfel cele prezentate în literatura de specialitate că table din oțel criogenic aliante cu 9%Ni pot fi sudate fără preîncălzire până la grosimiile de 50 mm [30,47].

3.5.2. Detensionarea

Detensionarea este tratamentul termic aplicat structurilor sudate pentru a reduce tensiunile interne produse de fabricația structurii.

Normele franceze nu prevăd tratament termic de detensionare după sudare pentru rezervoarele realizate din oțel cu 9%Ni. Rezervoarele construite în Franță au fost sudate în șantier și nu au fost supuse la nici-un tratament termic după sudarea elementelor constructive. În U.S.A. situația este diferită ASME Boiler and Pressure Vessel Code prevede ca rezervoarele fabricate din oțel cu 9%Ni trebuie supuse la tratamentul termic de detensionare după sudare la 838 K durata acestuia fiind funcție de grosimea tablelor utilizate. Această prevedere este realizată dacă rezervoarele au

un gabarit care permite tratamentul termic în cupoare de tratament clasice. Înă din 1960 în U.S.A peste 200 de rezervoare construite din oțel cu 9%Ni au fost supuse după sudare la un astfel de tratament termic. Dacă rezervoarele au dimensiuni mari tratamentul termic de detensionare după sudare este foarte dificil de realizat.

Deoarece aceste rezervoare au diametru și înălțime de ordinul zecilor de metri uneori sudarea trebuie făcută pe șantier și nu este avantajos tratamentul termic de detensionare după sudare. Chiar admitînd transportul lor posibil, tratamentul termic în uzină presupune existența de cupoare gigantice.

Din punct de vedere metalurgic nu este evident că tratamentul termic de detensionare al rezervorului cu 9%Ni este absolut necesar. Unele cercetări efectuate în U.S.A. pe rezervoare din oțel cu 9%Ni au demonstrat că tratamentul termic de detensionare prescris în norme nu este totdeauna favorabil pentru tenacitatea ansamblului. Aceste consideranțe au condus în U.S.A la realizarea unui program important de încercări pentru a stabili:

- dacă oțelul cu 9%Ni este un material tenace și rezistent la temperatură azotului lichid sau temperaturi mai joase;
- dacă metalul călit și revenit prezintă caracteristici mecanice apropiate de cele ale metalului supus la tratamentul termic de dublu normalizare și revenire prevăzut de ASTM;
- dacă este necesară efectuarea după sudare a unui tratament termic de detensionare.

Pe scurt acest program de încercări denumit operațiunea Criogenică [7] a constat în a încerca la țoc sau la presiune un număr de rezervoare rectangulare și cilindrice din oțel cu 9%Ni umplute cu azot lichid. Aceste rezervoare au fost analoge cu cele utilizate în practică, rezervoare rectangulare simulând pe cele montate pe metaniere, iar rezervoare cilindrice ca și cele utilizate pentru stocarea gazelor lichefiate. Acele rezervoare au fost fabricate din table dublu normalizate și rovenite, celelalte din metal călit în apă și revenit. Din fiecare categorie unele rezervoare au suferit tratament termic de detensionare, celelalte nu.

Elementele de rezervor care au fost ecruisate puternic în cursul deformării la rece au fost supuse la tratamentul termic de detensionare.

Toate rezervoarele au fost sudate cu electrozi INCOVELD A. Rezervoarele au fost umplute succesiv cu azot lichid la $T=77$ K apoi

supuse la șocuri repetate de către o masă de 1970 kg care cădea do la înălțimi diferite, înălțimea maximă fiind de 5,8 m.

O primă serie de încercări s-a rezumat la efectul de șoc care doar a deformat plastic materialul în jurul punctului de impact. Apoi s-a aplicat o presiune internă. Rezervorul construit din metal călit și revenit cît și cel din metal dublu normalizat și revenit ambele detensionate după sudare. Ruperea a fost făcută prin efectul conjugat al șocurilor și presiunii interne.

Eforturile care au produs ruperea au fost identice în ambele cazuri ($p_{int} = 7 \text{ daN/cm}^2$, energia masei de șoc a fost de 11300 daJ). Rezervorurile supuse la cele două tipuri de tratament termic detensionate după sudare s-au rupt datorită presiunii interne practic în același ordin de mărime.

Concluzia acestui program de încercări a fost că felul tratamentului termic aplicat tablelor (călire și revenire sau dublă normalizare și revenire) precum și existența sau nu a tratamentului termic de detensionare după sudare nu pare să aibă o influență sensibilă asupra rezultatelor.

In consecință, după Operațiunea Criogenică s-au fabricat rezervoare din oțel cu 9%Ni supus în prealabil tratamentului termic de dublă normalizare și revenire, fie unei căliri și reveniri, iar după sudare nu s-a mai aplicat recoacerea de detensionare [70].

De menționat că la I.P.Tr.Via Timișoara catedra de TMT a fost inițiat și realizat un procedeu de tratament termic integral în vederea detensionării după sudare, pe șantier a unui corp cilindric agabaritic (de dimensiuni mari) prin încălzirea lui cu gaze calde provenite de la o sursă exterioară (un generator de gaze calde) și nu prin introducerea unor arzătoare în cilindru, cum procedează unele firme străine [27].

De asemenea s-a conceput și realizat în colaborare cu TCNRIC București o stație pilot pentru îndepărtarea procederii și verificarea prin măsurători a rezultatelor celulelor inițiate.

Procedeul de tratare termică în vederea detensionării concepută în cadrul catedrei TMT prevede:

- încălzirea recipientului de tratat cu o viteză maximă de încălzire de 473 K/oră în intervalul dintre temperatura ambientă și temperatura de 373...973 K în funcție de material și dimensiuni,

- menținerea temperaturii de palier prescrisă pentru recipient în limitele de $\pm 323^{\circ}\text{K}$ pe timp maxim de trei ore.

- răcirea controlată de la 873...973 K pînă la 573 K cu o viteză de răcire care să se încadreze între aceleasi limite ca și viteza de încălzire,

- răcirea necontrolată de la 573 K pînă la temperatura ambiantă.

Încălzirea recipientului se face prin schimbul nestaționar de căldură între gaze calde și mantaua recipientului.

Gazele calde, rezultate din amestecul gazelor de ardere produse într-un generator de gaze calde cu aer secundar rece intră printr-un racord disous în partea de jos a recipientului iar după parcurgerea lui, în direct în atmosferă.

Pornind de la aceste considerente în cadrul lucrării se prezintă rezultatele încercărilor experimentale atît pe probe sudate cît și pe probe sudate și dotensionate, punindu-se în evidență influența tratamentului termic de dotensionare asupra structurii și proprietăților otelurilor criogenice aliata cu Ni indigene.

3.6. EXAMINARI LA MICROSONDA ELECTROVICA A IMBINARILOR SUDATE

Imbinările sudate realizate manual cu electrozii ELCr25Ni20B și ERG11.1 și MIG folosind sîrmă cu 9%Ni au fost examinărilor calitative și cantitative la microsonda electronică JCXA-50A.

Analizele calitative și cantitative prin spectrometrie de raze X dispersivă în lungime de undă a urmărit distribuția elementelor componente din cusătură, zona influențată termic (ZIT) și metalul de bază (MB).

Analiza cantitativă s-a efectuat la o tensiune de accelerare de 25KV, și un curent de $2,8 \cdot 10^{-8}$ A, pentru care diametrul fasciculu lui de electroni la suprafața probei a fost de aproximativ 6 μ m.

Microzonele analizate au fost situate pe o direcție transversală zonelor caracteristice imbinării sudare dinspre cusătură spre metalul de bază.

În cazul imbinării realizate manual cu ELCr25Ni20B distribuții intensității radiației X caracteristică Ni evidențiază o creștere în cusătură, urmată de o scădere bruscă la interfața cusătură-ZIT pînă la palierul din MB (Planșa IVa, fig.1)

În fig.2 Planșa IVa se observă foarte clar scăderea continuă prin fenomene de difuzie a concentrației în Ni dinspre cusătură către MB. Totodată se poate aprecia că fenomenele de segregare a Ni sunt practic inexistente. acest fapt contribuie la obținerea

unor însușiri de exploatare favorabile pentru îmbinarea sudată.

In cazul îmbinărilor realizate manual cu electrozii ERG11.1 distribuția intensității radiației X indică o creștere a fierului în ZIT și o scădere bruscă a cromului (Planșa IV.a,fig.3).

In Planșa IVa, fig. 4 este redată distribuția intensității radiației X caracteristică Ni evidențiind o creștere în cusătură în imediata vecinătate a interfeței, urmată de o scădere lentă pînă la palierul din MB.

Wolframul urmărit pe aceeași direcție prezintă o scădere bruscă la interfața cusătură- ZIT (Planșa IVa,fig.5).

In cazul probelor realizate MIG cu sîrmă cu 9 % Ni de 1,2 mm distribuția radiației X caracteristică Ni indică o repartiție uniformă a acestuia, neexistînd diferențe între zonele caracteristice îmbinării sudate (Planșa IVa, fig.6).

In ZIT-ul realizat MIG (Planșa IVa,fig.7) și MB (Planșa IVa, fig.8) se observă o repartiție uniformă a nichelului.

Pe baza examinărilor efectuate se apreciază că la realizarea legăturii dintre cusătură și MB,Fe și Ni au o mare influență. Acest lucru are la bază creșterea coeficientilor de autodifuzie a Fe respectiv de difuzie a Ni în Fe cu temperatura.

PLANSA IVa.

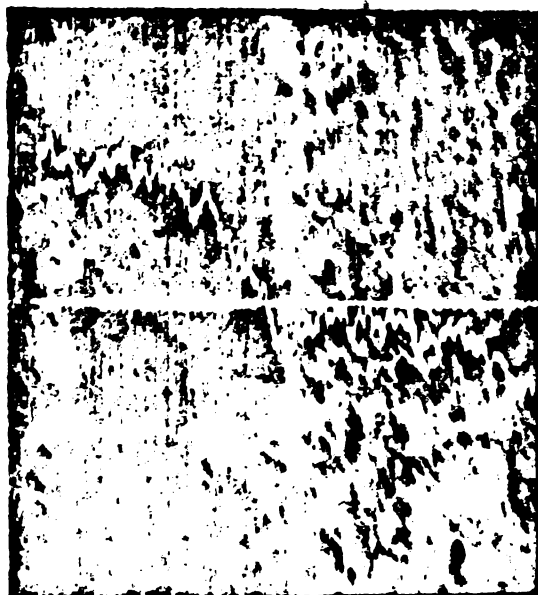


Fig.1. Variatia liniara a concentrației în Ni.X1200

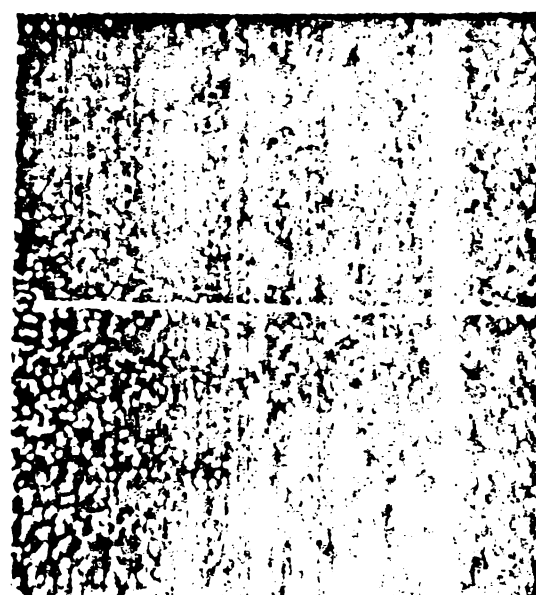


Fig.2. Repartitia Ni.X1200

Imbinare realizata manual cu electrozii ERG25Ni26M

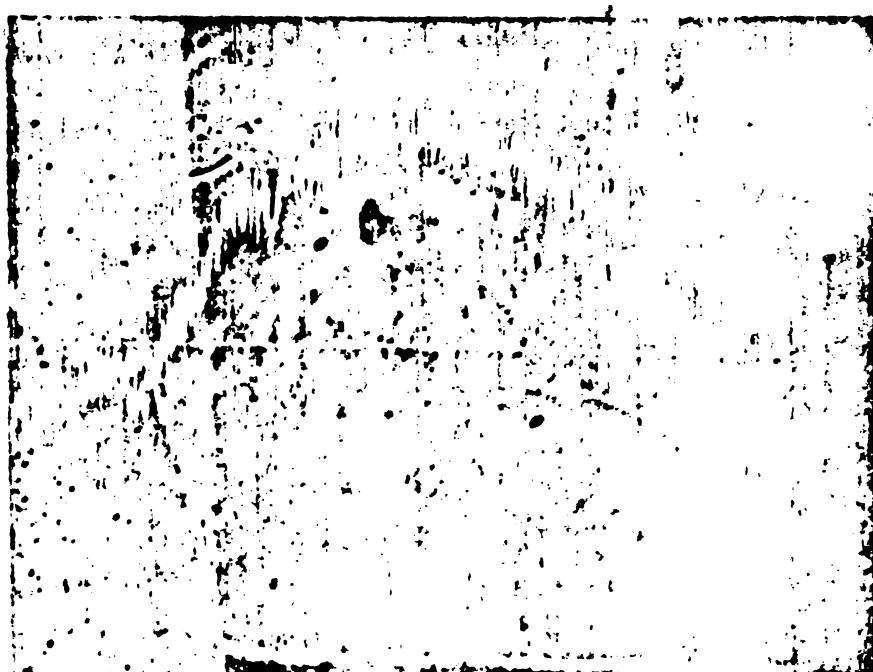
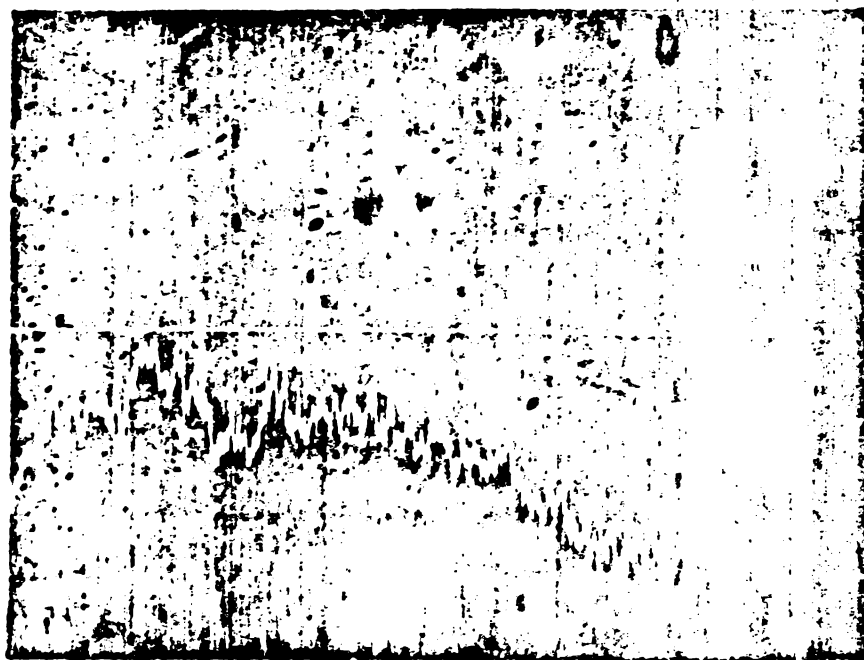


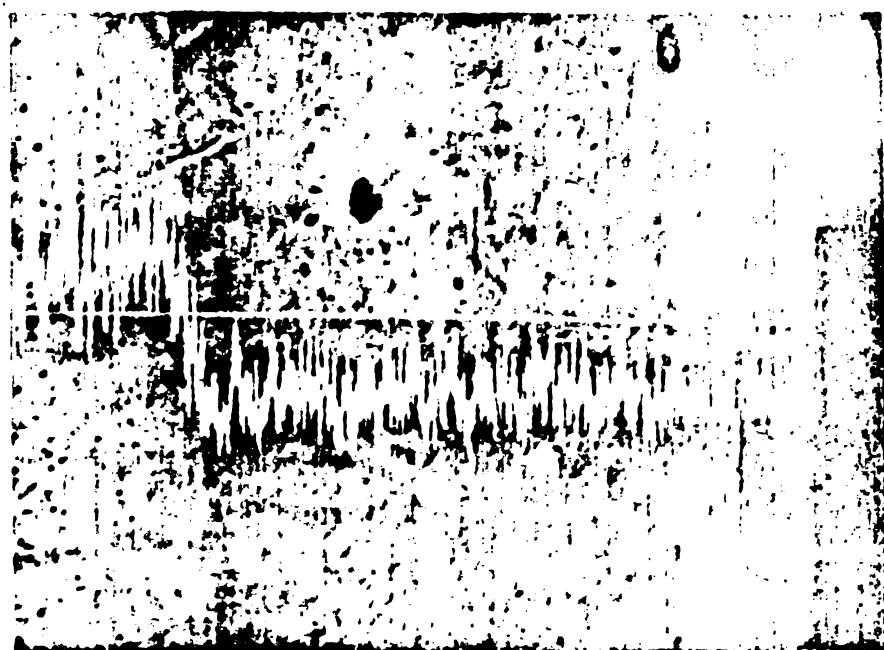
Fig.3. Variatia liniara a concentratiei in Fe și Cr
X700.

Imbinare realizata manual cu electrozii ERGL11.

PLANSA IVa (continuare)



**Fig.4. Variația liniară a concentrației în Ni.X700
Imbinare realizată manual cu electrozii ERGL11.1**



**Fig.5. Variația liniară a concentrației în W.X700
Imbinare realizată manual cu electrozii ERGL11.1**

PLANSA IVa (continuare)

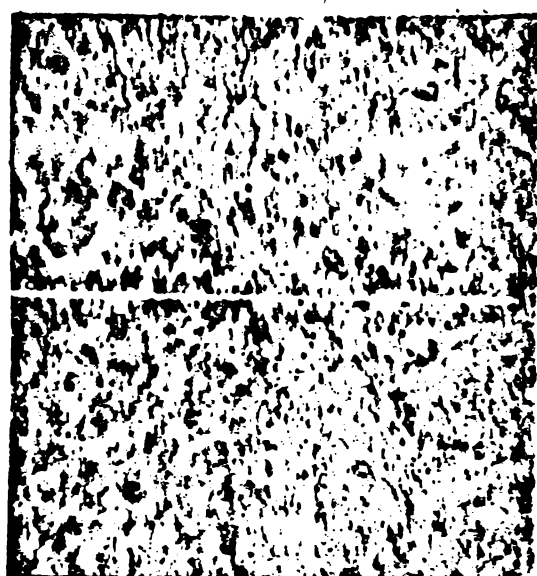


Fig.6.Variația liniară a concentrației în Ni.
X1200.
Imbinare realizată
MIG cu sîrmă cu 9%Ni.

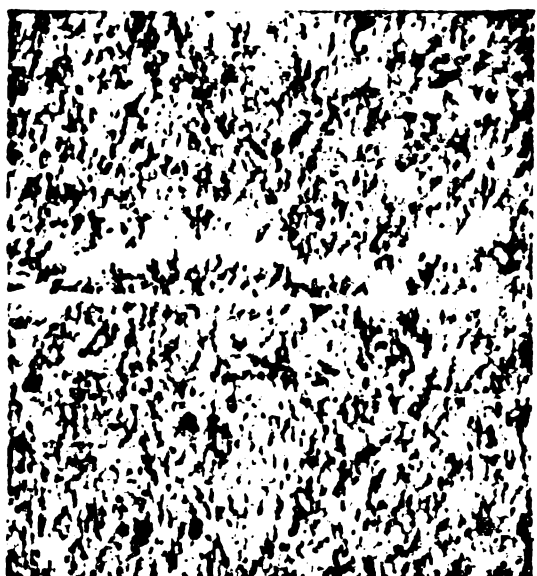


Fig.7.Variația liniară a concentrației în Ni,
în ZIT-ul realizat
prin procedoul MIG
cu sîrmă cu 9%Ni.
X1200.



Fig.8.Variația liniară a concentrației în Ni
în MB în stare căldură
și revenită. X1200

3.7. PROPRIETATILE MECANICE ALE IMBINARILOR SUDATE

Din probele supuse studiului s-au prelevat epruvete care să caracterizeze fnsusirile imbinării sudate în corelație cu procesul tehnologic aplicat.

Investigațiile întreprinse pentru cele două grosimi de tablă două noduri de prelucrare a rostului și două procedee de sudare total 10 variante (Tabl. al 3.12) au abordat următoarele metode de analiză și încercări:

- a. determinările de duritate HV5;
- b. încercări mecanice pentru determinarea caracteristicilor:
 - b₁. energia de rupere la probe ISO-V(KV) la 293 și 77 K;
 - b₂. energia de rupere la probe ISO-V(KV) după menținerea timp de o lună de zile în azot lichid (la 77 K);
 - b₃. energia de rupere la probe ISO-V(KV) după lozocuri termice între 293 și 77 K;
 - b₄. deplasarea critică la deschiderea fisurii CO_{cd} - ($\%_{cd}$);
- c. încercări de tracțiune.

3.7.1. Determinarea variațiilor de duritate

Încercările de duritate au fost efectuate în conformitate cu STAS 492-78 și STAS 5540-77 prin metoda Vickers cu sarcina de 49,6 N (HV5). Duritățile au fost măsurate în metalul de bază (MB) în zonă influențată termic (ZIT) și în metalul de adaos (MA). Imprecizia de măsurare a fost de $\pm 5\%$.

Evoluția durității în diferitele zone ale imbinării este prezentată în graficele din figurile 3.8...3.13

Rezultatele obținute permit următoarele constatări mai importante.

La sudarea otelului 12 Ni 90 (tablă cu grosimea $s=12$ mm) cu electrozi ELCr25Ni12oB duritatea maximă în ZIT nu depășește 330 daN/mm², duritatea cusăturii fiind de 190...220 daN/mm² iar a metalului de bază de 230...250 daN/mm² (fig.3.8).

La sudarea otelului 12Ni90 cu electrozi EL9Ni respectiv cu sfermă cu 9Ni prin procedeul MIG duritatea maximă în ZIT nu depășește 350 daN/mm² atât la table cu grosimea de 12 mm cât și 30 mm, duritatea în ultimul rînd depus atingând valori cuprinse între 380...430 daN/mm² avînd maximele amplasate la marginile rîndului, duritatea cusăturii în celelalte rînduri fiind sub 350 daN/mm², iar a metalului de bază de 230...270 daN/mm² (fig.3.9, 3.10, 3.11, 3.12).

Tăbă din oțel
12Ni90;
s = 12 mm
sudat manual
cu ELCr 25Ni 20 B

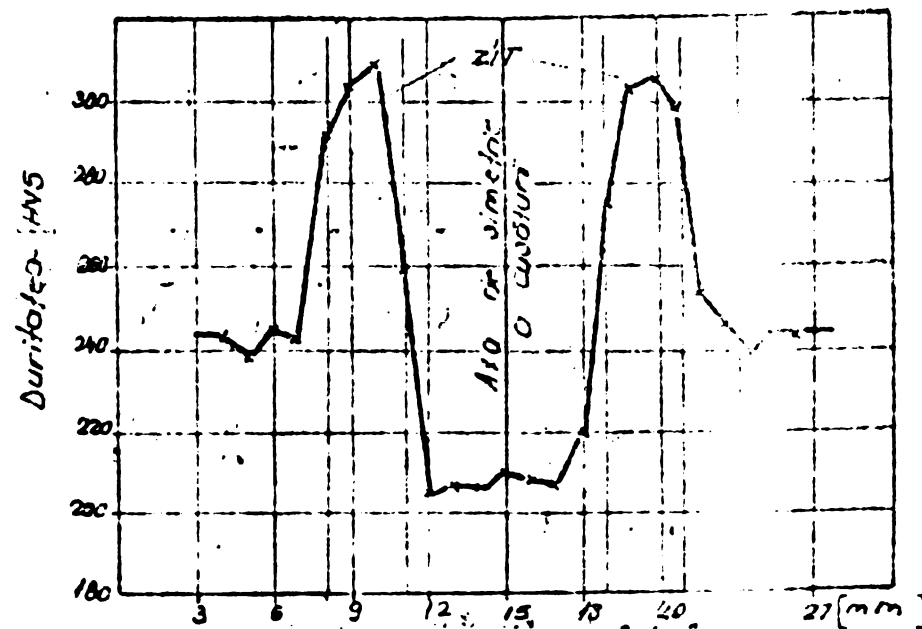
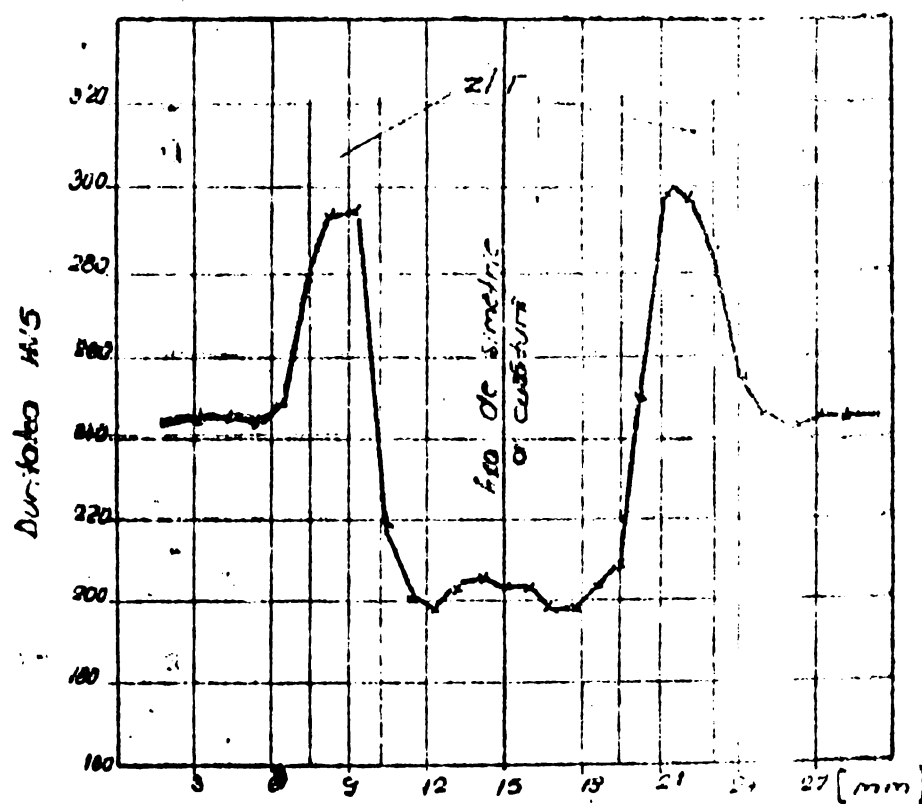
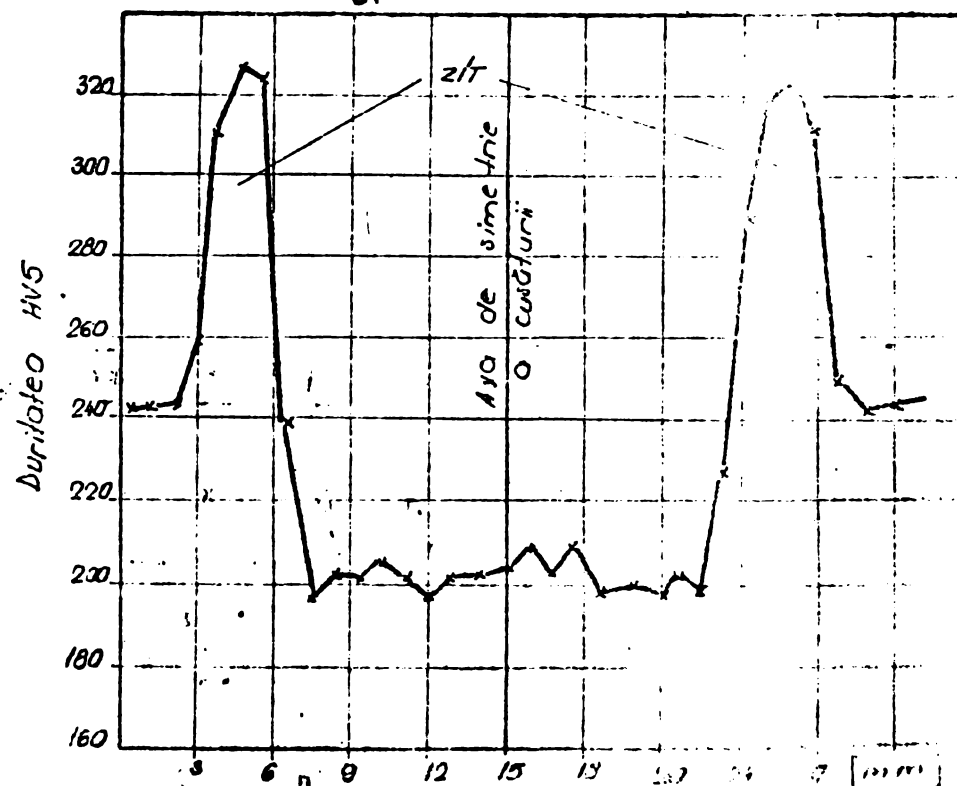
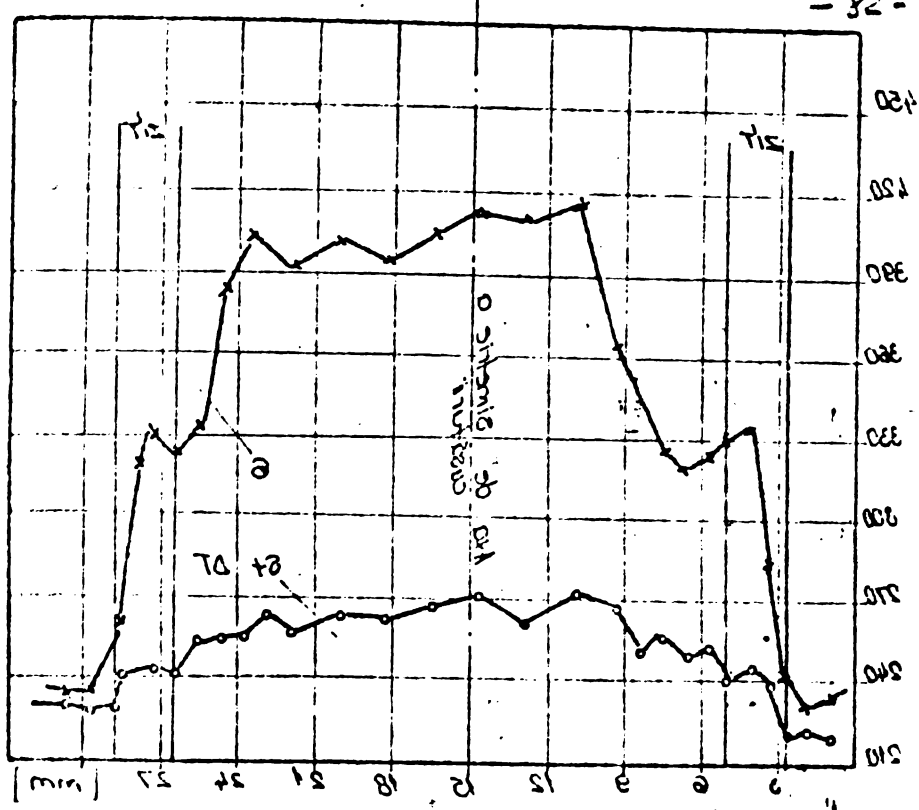
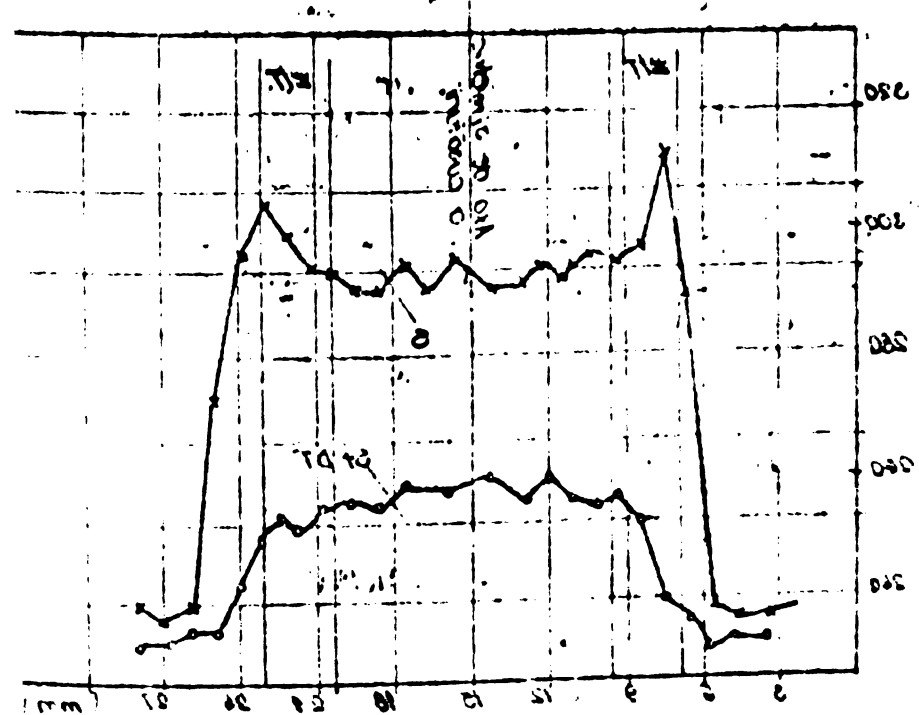
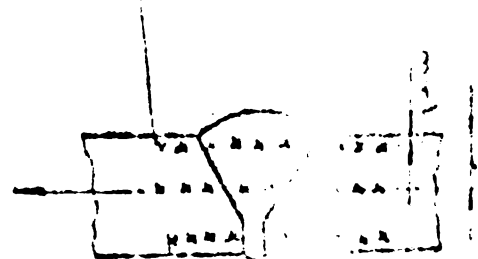
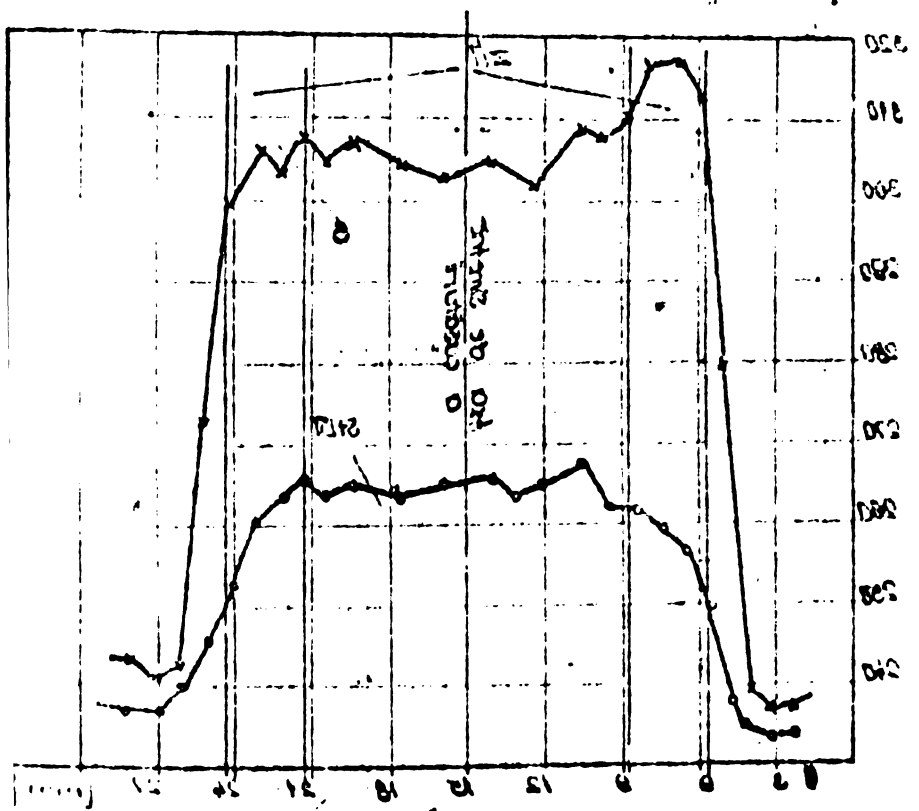


Fig. 3.18

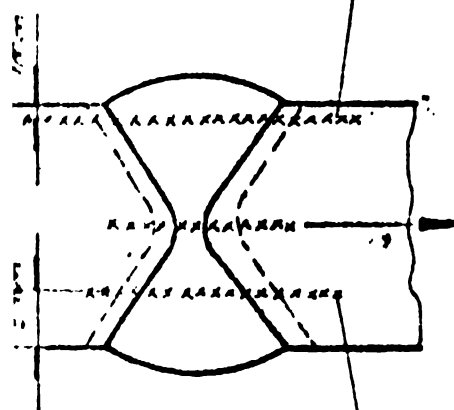


DYNAMIC HNC



... 20 min ...

Tabel din oțel
12Ni 90j
S = 30 mm
Sudor manual cu
EL 9Ni



○ - probă sudor
○ DT - probă sudor și detensionat

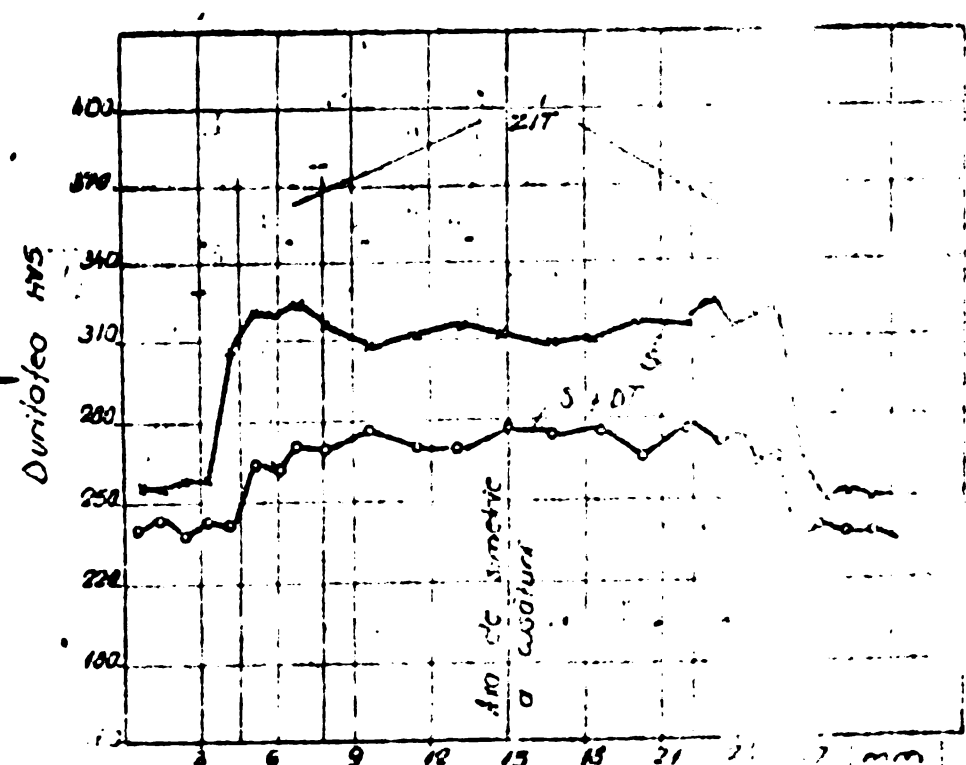
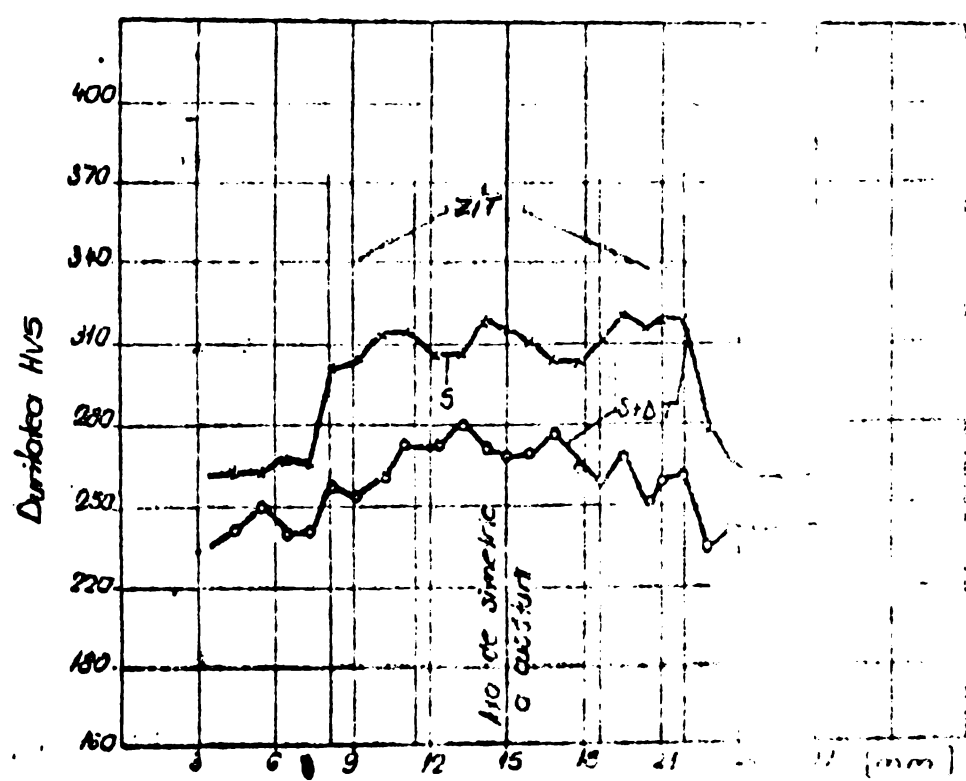
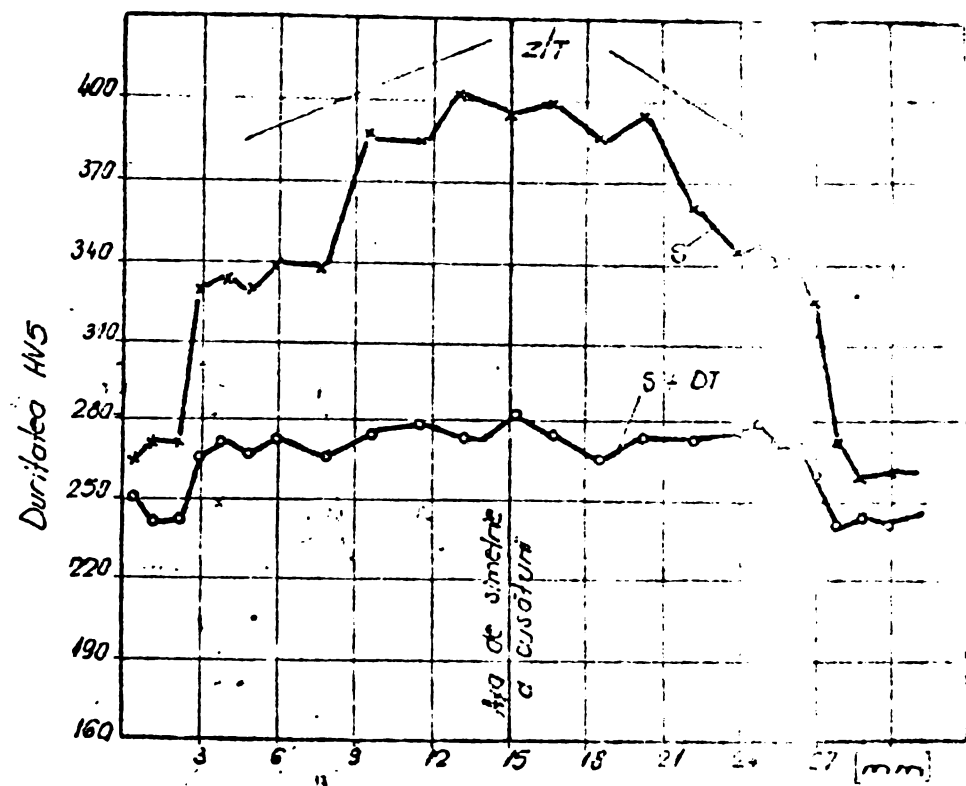
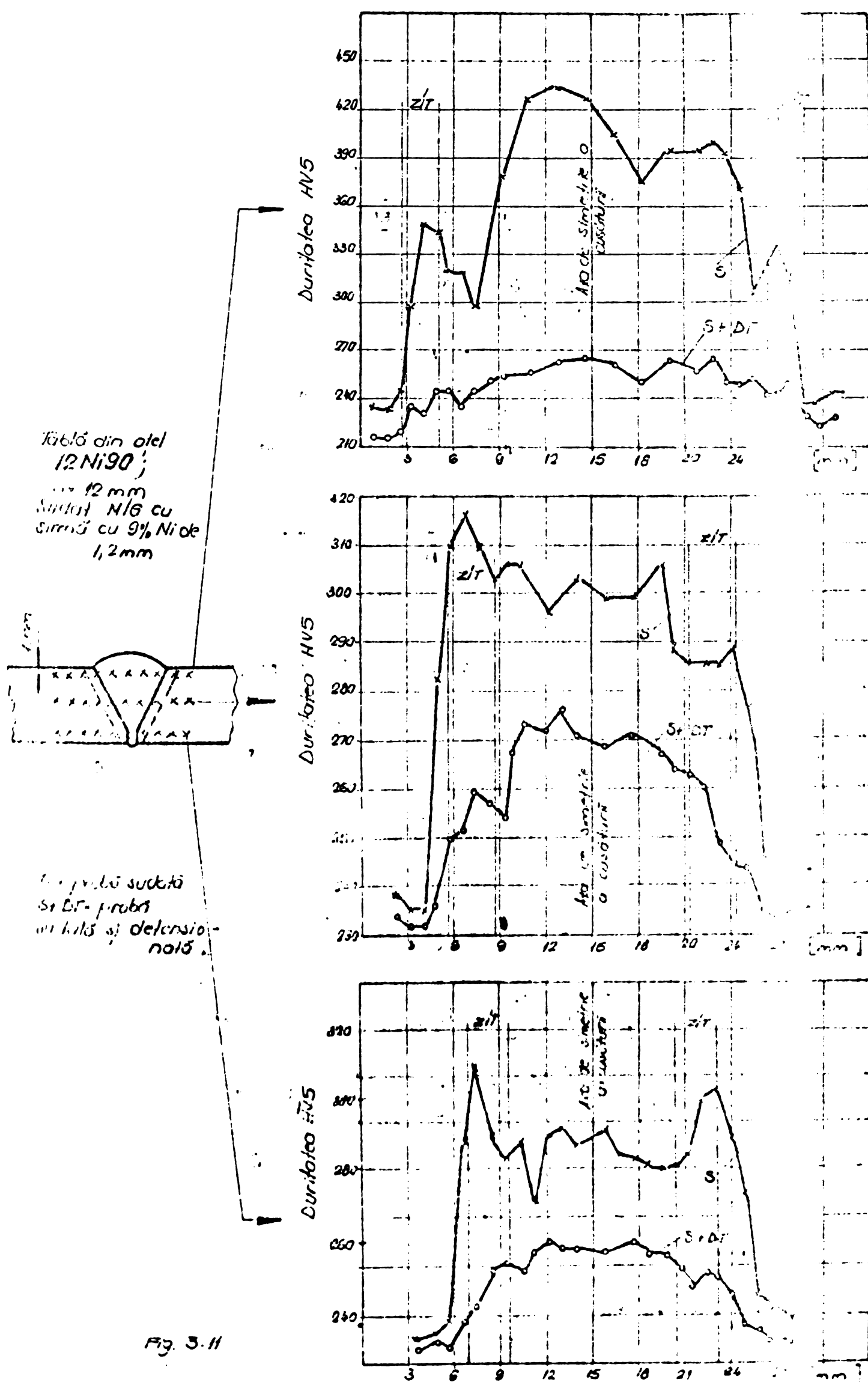


Fig. 3.10



Több ömölő
12Ni 90;
Ø = 31 mm
0.01% NiG cu
szimó 9% Ni

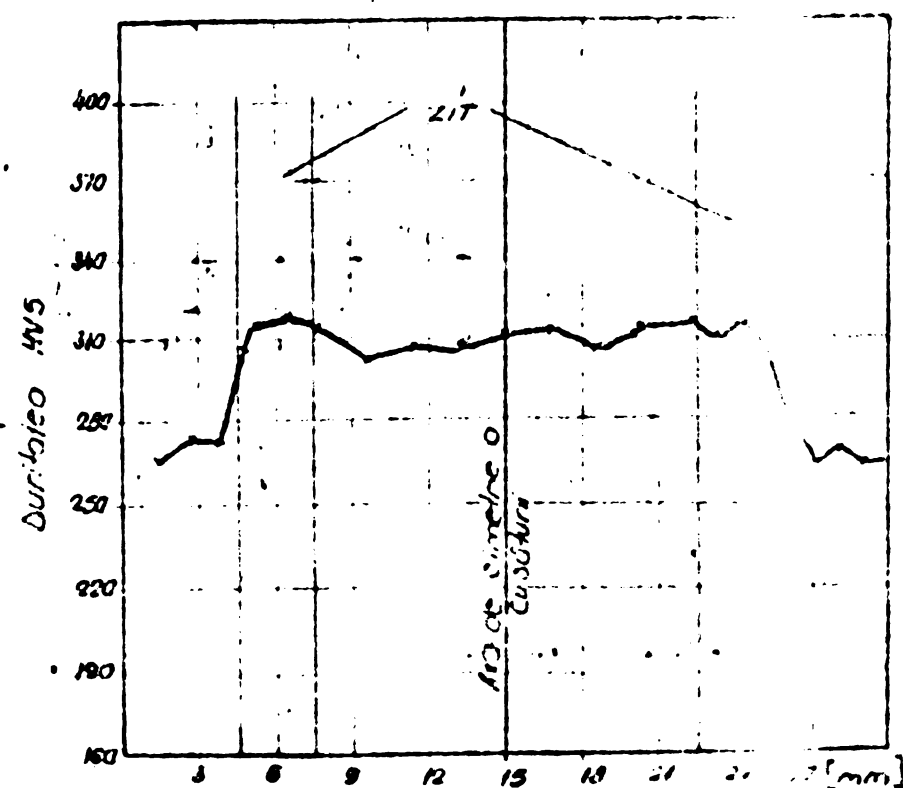
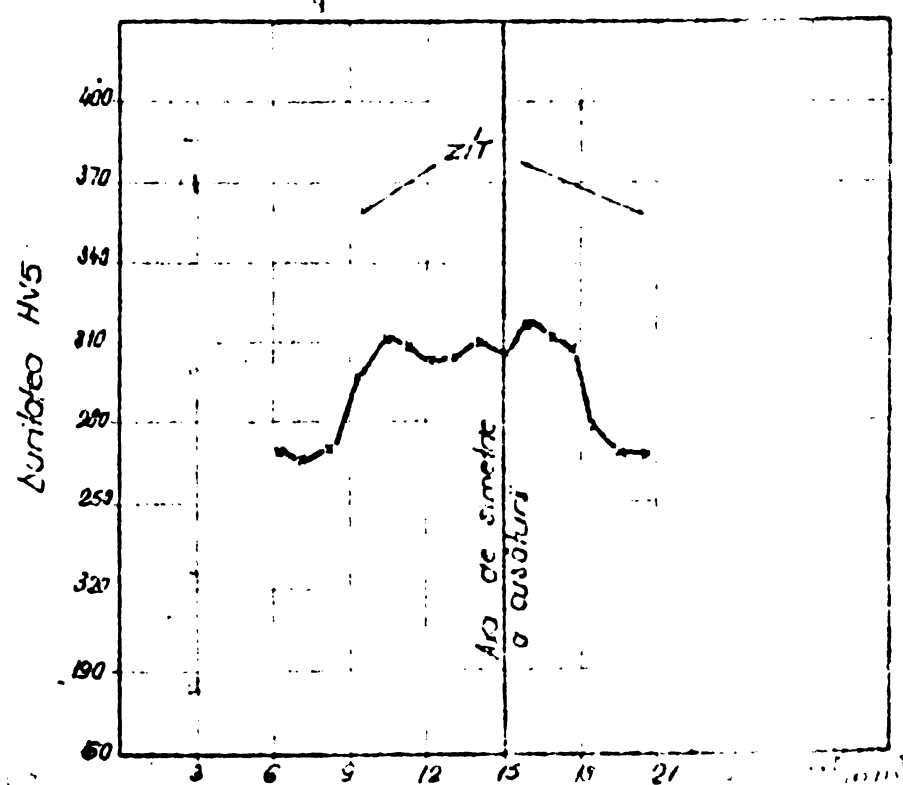
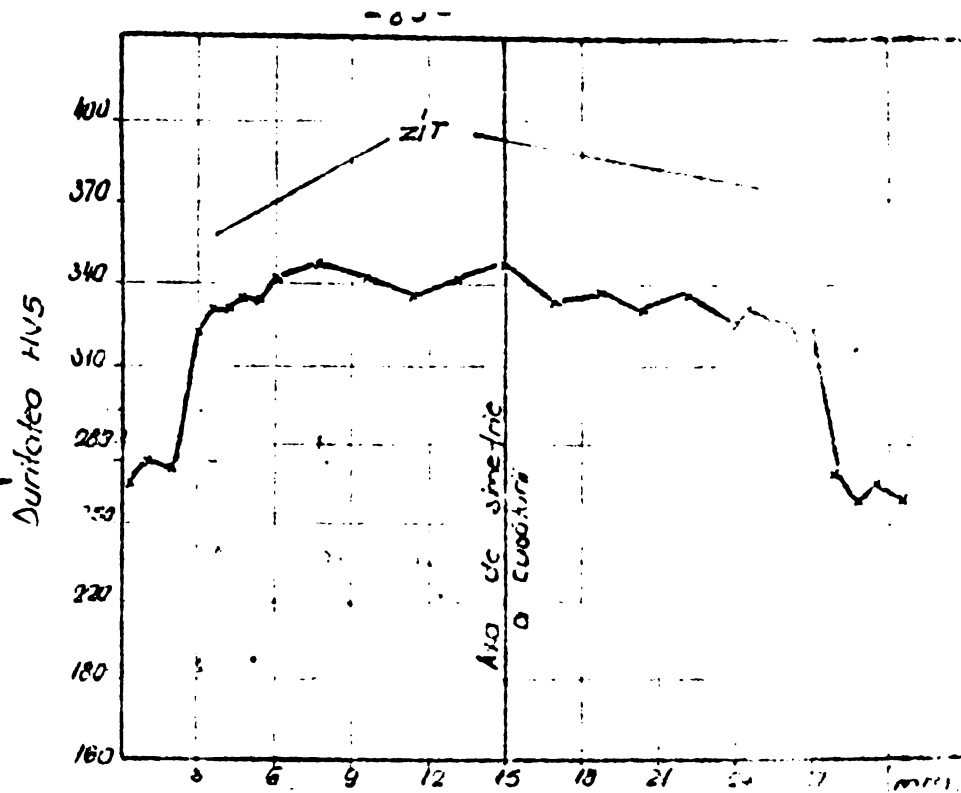
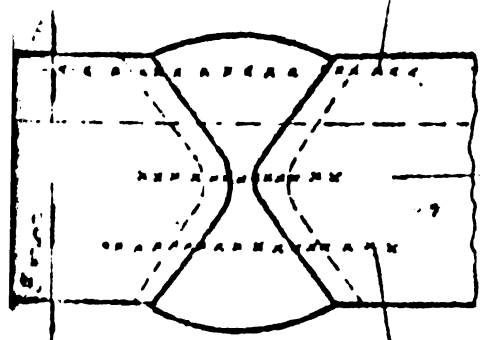
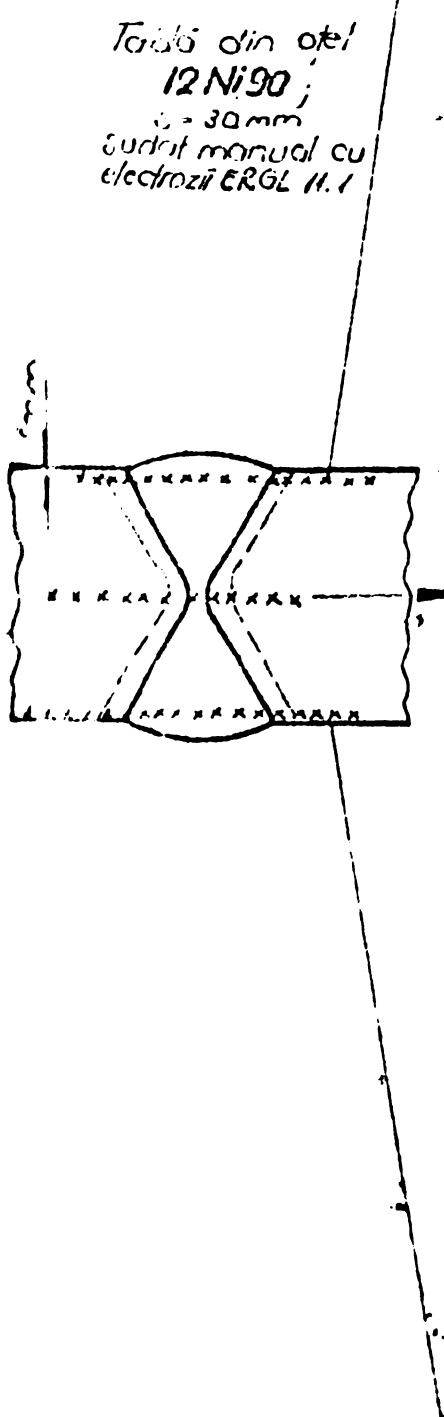


Fig. 3.12



Tabel din oțel
12Ni90,
 D = 30 mm
 Scurat manual cu
 electrozii ERG-L 11.1

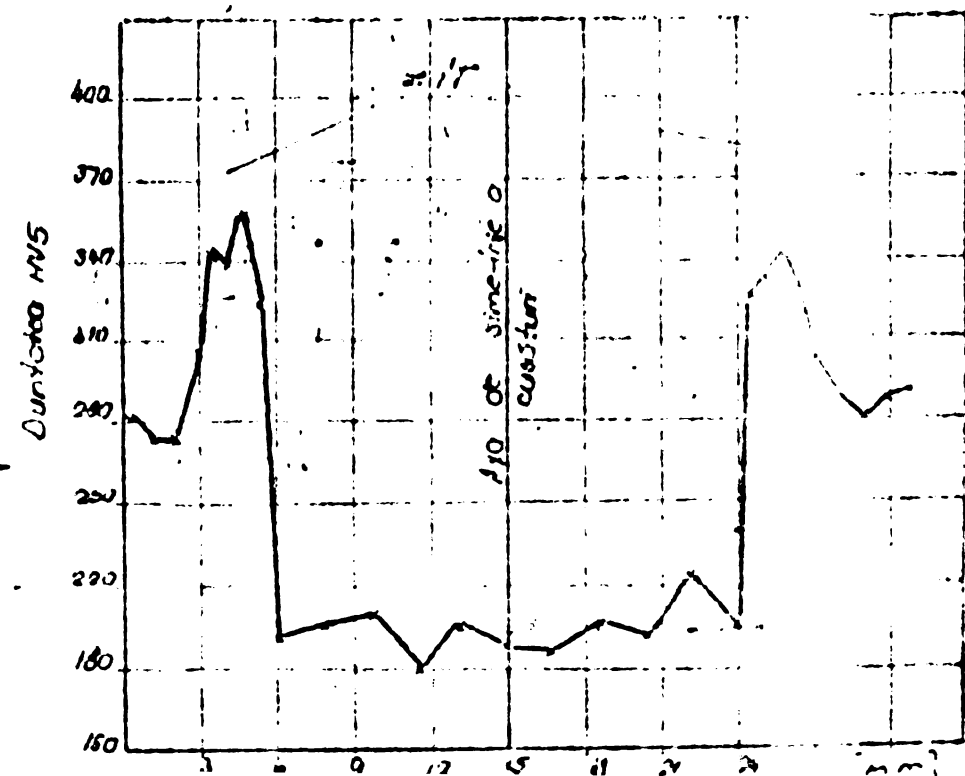
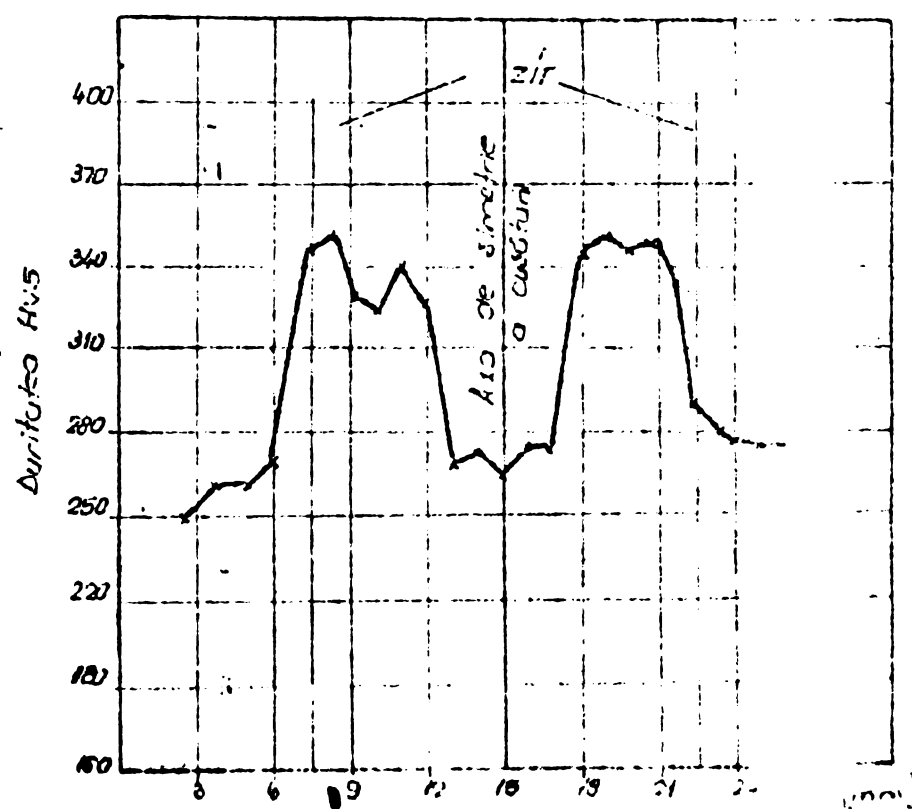
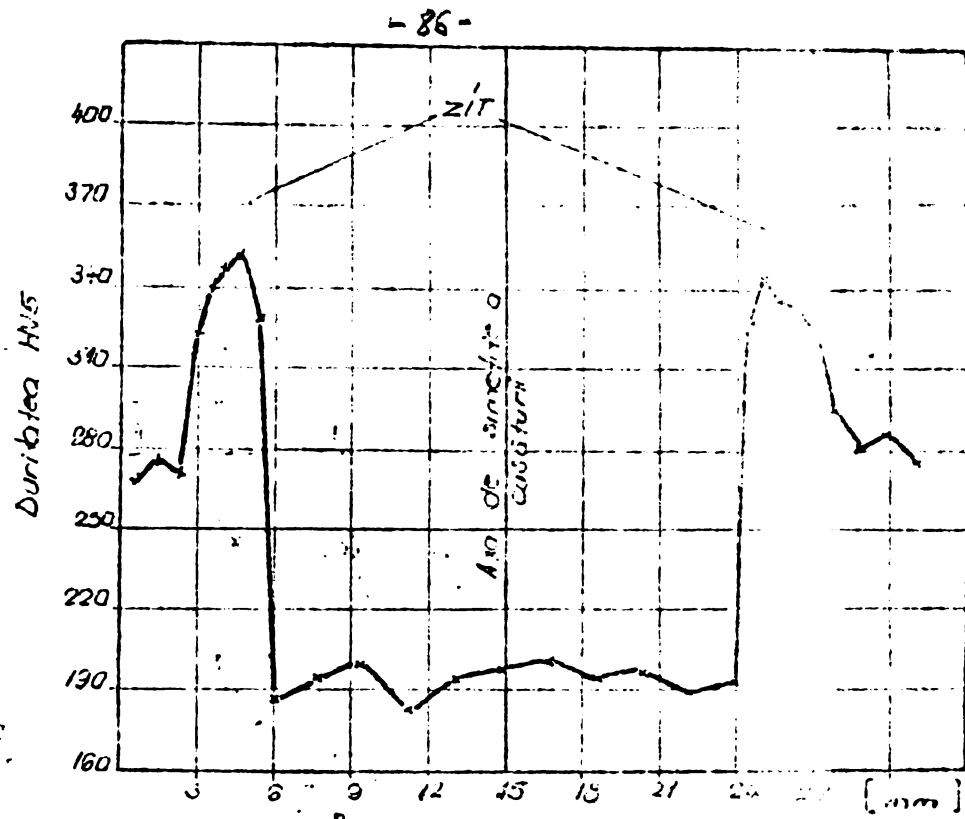


Fig. 3.13.

Tratamentul termic de detensionare în toate cazurile uniformizează în ZIT și cusătură structurile reducând duritatele HV5 la nivelul metalului de bază în plaja de valori de 230...270 daN/mm² (fig.3.9,3.10,3.11 și 3.12).

În cazul sudării cu electrozii experimentali ERG L11.1 duritatea maximă în ZIT nu depășește 350 daN/mm², duritatea cusăturii fiind de 180...200 daN/mm² iar a metalului de bază de 250...280 daN/mm² (fig.3.13).

3.7.2. Determinarea caracteristicilor de tenacitate dinamică.

Încercările pentru determinarea caracteristicilor de tenacitate dinamică s-au efectuat cu ajutorul unui ciocan pendul conform STAS 7511-81 pe epruvetă de tipul Charpy V (STAS 5540-77) cu creștere în cusătură și în ZIT conform figurii 3.14.

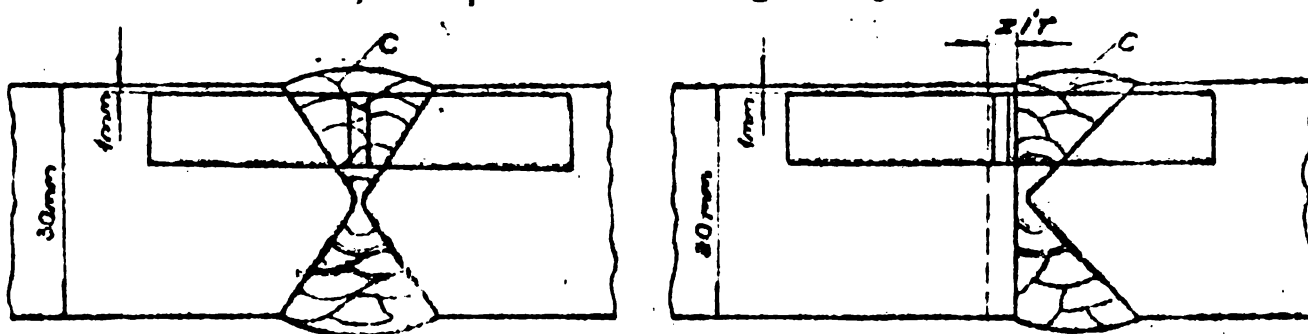


Fig.3.14 Modul de prelevare a epruvetelor de reziliență.

Pentru fiecare variantă de rost, grosime de tablă, procedeu de sudare (Tabelul 3.12) s-au prelevat cîte 12...24 epruvete de reziliență corespunzătoare fiecărui lot, epruvete ce-au fost împărțite în 4 loturi numeric egale și supuse încercărilor de încovoiere prin soc la temperatura de 293 K și 77 K, la 77 K după menținerea timp de o lună în azot lichid (la 77 K) și după 10 socuri termice între 293 și 77 K, revenind cîte trei epruvete pentru fiecare din temperaturile menționate.

Anterior încercării de încovoiere prin soc, epruvetele au fost supuse unei verificări a razei și a spectului calității suprafeței fundului cîștăturii prin compararea la măriri de X50-cu etaloane.

De menționat că pentru variantele tehnologice semnificative s-au făcut încercări de încovoiere prin soc la 293, 239, 185, 131 și 77 K. Folosind metoda polinoamelor ortogonale [56] s-au stabilit ecuațiile de regresie și coeficienții de corelație (tabelul 3.14).

Ecuatiile de regresie si coeficientii de corelatie pentru variantele tehnologice semnificative.

Tabelul 3.14

Nr. cr.	Poziția creștării	Tinc (°K)	Energia de rupere KV [J]		Ecuatia de regresie	Coefic. de corelatie %
			Valori experiment.	Valori statistice		
1	MB în store C+R	293	121	120,8	$\hat{y} = 107,94 - 24,08x - 12,16x^2 - 0,98x^3$	99,87
		239	115	114,1		
		185	98,3	97,2		
		131	72,6	72,4		
		77	48	46,8		
2	Cusătura realiza- to manual cu EL-C 25 Ni 20 D	293	84	84,025	$\hat{y} = 87,6 - 3,29x - 0,285x^2$	99,975
		239	80	79,98		
		185	75	75,165		
		131	70	69,98		
		77	64	63,925		
3	Cusătura realiza- to prin procedeu- lul MIG cu sarma cu 9% Ni $\phi 1,2$ mm	293	84,6	83,5	$\hat{y} = 60,69 + 57,24x - 23,47x^2 + 2,2x^3$	97,25
		239	93	90,6		
		185	86,3	80,5		
		131	51	54,8		
		77	36	35,1		
4	ZIT realizat prin simulare cu EL = 14 Kg/mm $T_v = 1273^\circ K$	293	95,3	94,6	$\hat{y} = 83,04 + 19,47x - 8,51x^2 + 0,61x^3$	97,49
		239	90	92,8		
		185	85,6	81,3		
		131	61	63,8		
		77	44,6	43,9		
5	ZIT realizat prin procedeul MIG	293	102	101,1	$\hat{y} = 97,94 + 4,1x + 0,3x^2 - 0,67x^3$	99,32
		239	100,3	101,9		
		185	96,6	94,8		
		131	74	76,3		
		77	41,3	42,2		

Cu valorile obtinute din încercările experimentale s-au trăsat graficele $KV = f(T_{inc})$. Din analiza graficelor $KV = f(T_{inc})$ fig. 3.15...3.19 rezultă că există o bună corelație între valorile obținute experimental și cele calculate din ecuațiile de regresie dovedă coeficienții de corelație de valori ridicate 97,25...99,97 (Tabelul 3.14).

Existând o bună corelație între energia de rupere și temperatura de încercare în toate cazurile cercetate în continuare s-a verificat comportarea imbinării numai la 293 K și 77 K.

Resultatele încercărilor de încovoiere prin soc la 293 și 77 sunt prezentate în Tabelul 3.15 și graficele din figurile 3.20...3.27 și relevă următoarele:

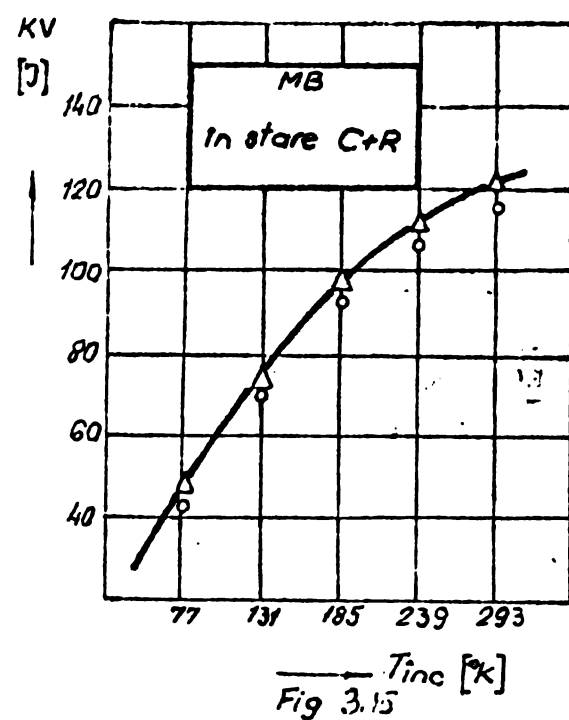


Fig. 3.15

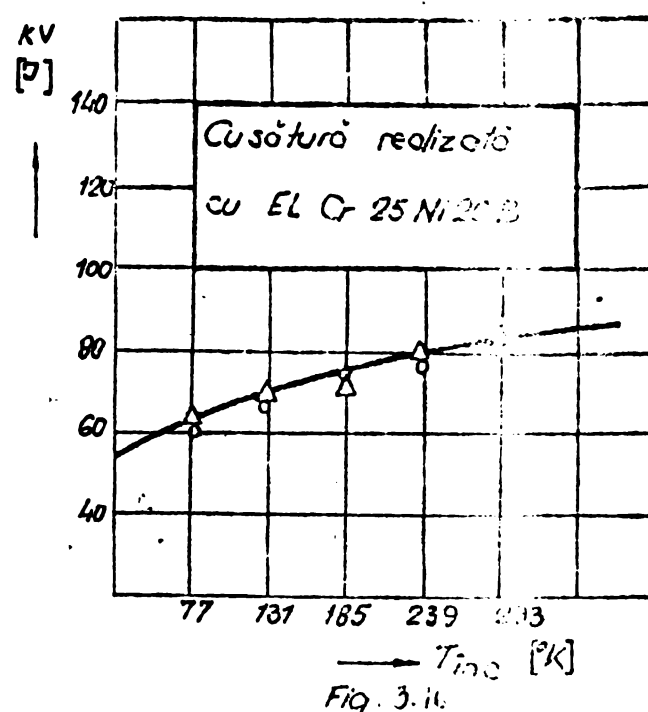


Fig. 3.16

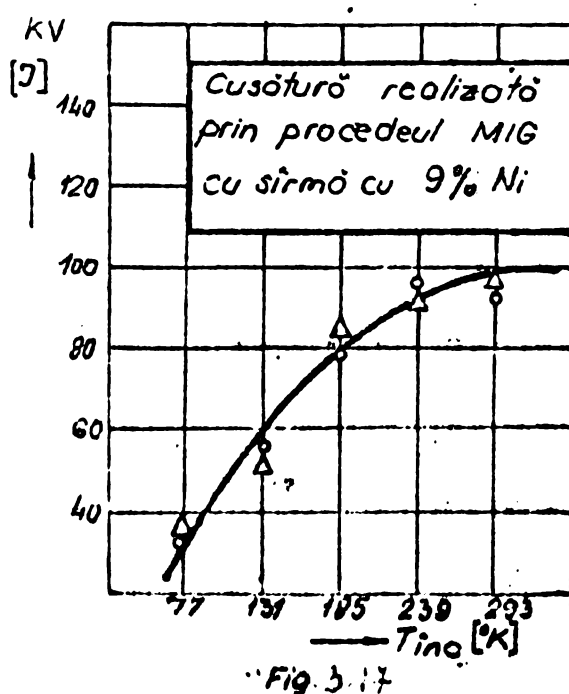


Fig. 3.17

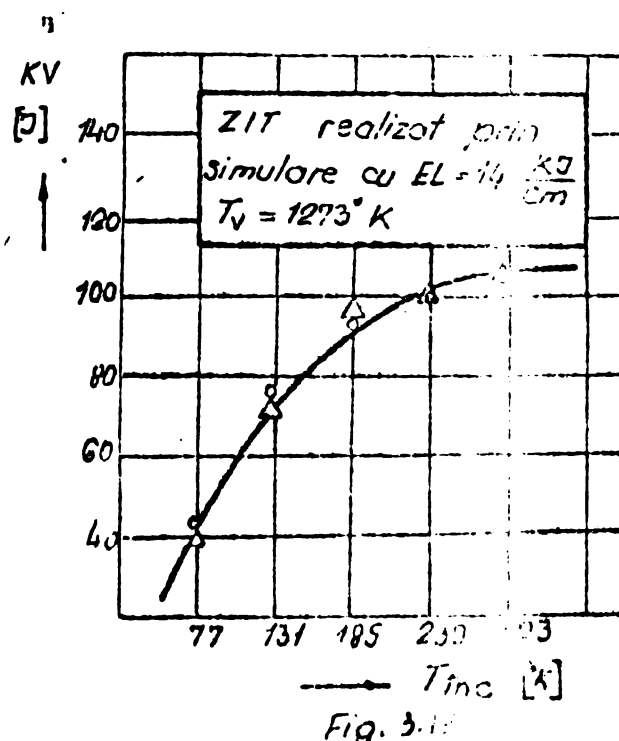


Fig. 3.18

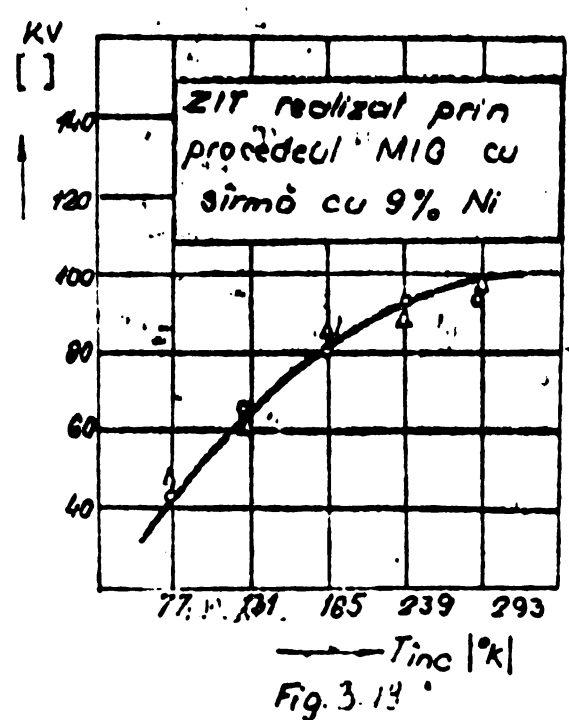


Fig. 3.19

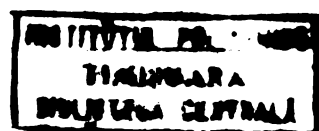
Δ - Valori experimentale

○ - Valori statistice

Rezultatele încercărilor la încovoiere prin soc la 293 și 77 K funcție de tipul electrodului și poziția creștăturii.

Tabelul 3.15

Nr. crt.	Metal de bază	Proces de sudare	Tipul electrodei de sudare	Temp. de culegerea de date	Pozitie de culegerea de date	T_{inc} [K]	Energia de rupere Valori individuale	Energia de rupere Media
0	1	2	3	4	5	6	7	8
1	Oțel		MB	293	121; 123; 125	123		
2	12Ni90		în stare	77	56; 52; 55	54,3		
3	s=12mm			77	55; 57; 59	57		
4			0+R	77	49; 53; 53	51,6		
5				293	81; 84; 87	84		
6				77	62; 65; 63	64		
7	--"-- Manual		Cusătură	77	62; 63; 62	62,3		
8				77	63; 60; 58	60,3		
9				293	79; 82; 82	81		
10	--"-- Manual			77	48; 45; 45	46		
11			ZIT	77	51; 50; 54	51		
12				77	46; 41; 45	44		
13				293	35; 38; 31	34,6		
14				77	18; 21; 19	19,3		
15	--"-- Manual		Cusătură	77	19; 21; 17	19		
16				77	22; 17; 19	19,3		
17				293	68; 71; 65	68		
18				77	25; 20; 24	25,6		
19	--"-- Manual	848	Cusătură	77	28; 25; 25	26		
20				77	25; 28; 27	26,6		
21				293	55; 52; 56	54		
22		Sîrmă		77	29; 30; 33	30,6		
23	MIG	cu 9%Ni	Cusătură	77	31; 31; 32	31,3		
24		de 1,2mm		77	26; 31; 30	29		
25				293	96; 88; 90	91		
26		Sîrmă		77	33; 31; 40	39,6		
27	--"-- MIG	cu 9%Ni 848	Cusătură	77	39; 35; 34	36		
28		de 1,2mm		77	36; 36; 35	35,6		



Tabelul 3.15 (continuare)

0	1	2	3	4	5	6	7	8
29	Oțel	Sîrmă			293	69; 70; 56	68	
30	12Ni90	MIG	cu 9%Ni		77	43; 40; 41	41	
31	s=12mm		de 1,2mm	ZIT	77	35; 36; 34	34,6	
32					o lună			
33					77	37; 34; 37	36	
34					10 socuri			
35	"	MIG	Sîrmă	848	ZIT	293	97; 104; 102	101
36			cu 9%Ni			77	51; 48; 47	48
37			de 1,2mm			o lună	49; 46; 46	47
38	Oțel					77		
39	12Ni90					293	120; 113; 115	116
40	s=30mm					77	49; 40; 46	48
41						o lună	51; 50; 50	50,3
42						77		
43	"	Manual EL9Ni			Cusă-	293	43; 41; 39	40
44					tură	77	21; 21; 19	20,3
45						o lună	18; 23; 20	20,3
46						77		
47	"	Manual EL9Ni	848		Cusă-	293	73; 71; 69	71
48					tură	77	24; 23; 24	25,3
49						o lună	26; 26; 25	26,3
50						77		
51	"	MIG	Sîrmă		cusă-	293	78; 75; 74	75,6
52			cu 9%Ni		tură	77	37; 36; 34	36
53			de 1,2mm			o lună	35; 36; 31	34
54						77		
55	"	MIG	Sîrmă	848	Cusă-	293	35; 33; 37	37
56			cu 9%Ni		tură	77	111; 104; 106	107
57			de 1,2mm			o lună	46; 46; 48	46,6
58						77		
59	"	MIG	Sîrmă		ZIT	293	49; 47; 47	47
60			cu 9%Ni			77	43; 43; 43	44
61			de 1,2mm			o lună	40; 40; 37	39
62						77		
63	"	MIG	Sîrmă	848	ZIT	293	123; 105; 111	113
64			cu 9%Ni			77	45; 43; 50	48
65			de 1,2mm			o lună	49; 50; 52	50,3
66	"	Manual ELGL11.1			Cusă-	293	98; 101; 96	98,3
67					tură	77	52; 51; 50	52,6
68					ZIT	293	108; 101; 103	104
						77	48; 45; 52	47,6

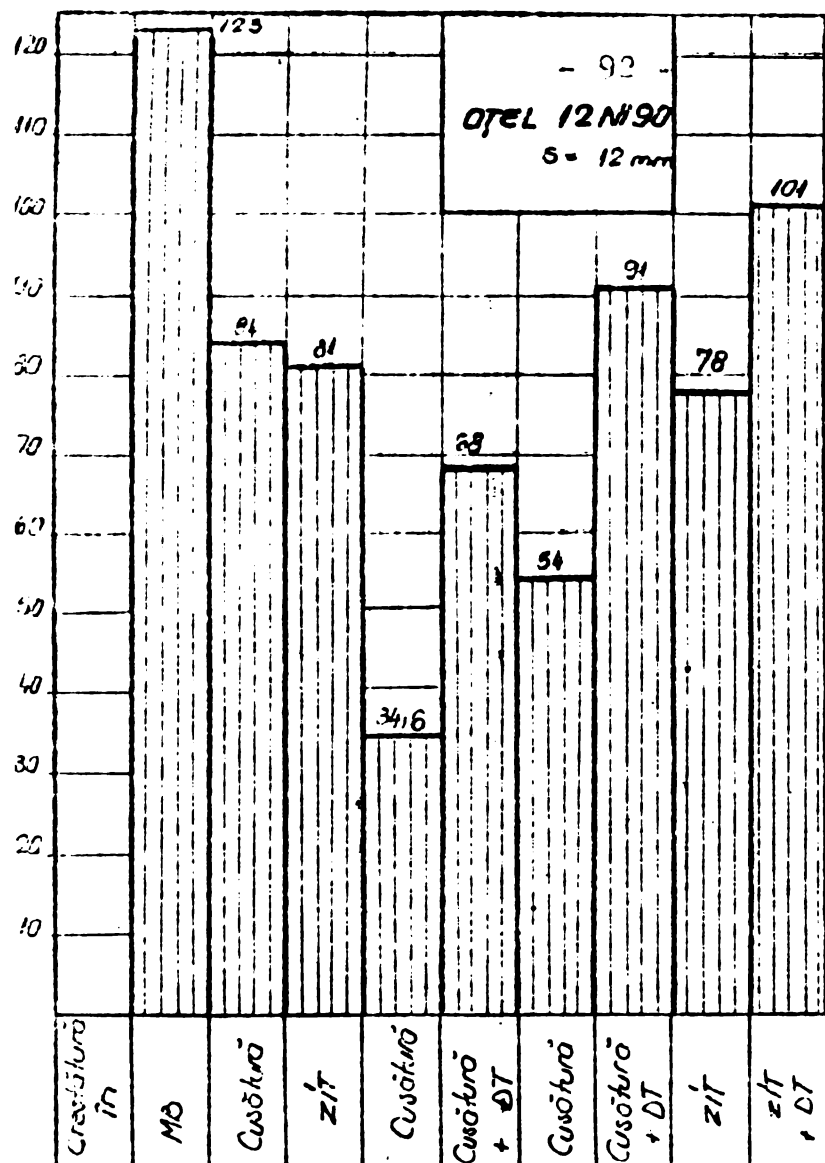


Fig.3.20. Variatia energiei de rupere KV 'J' in functie de procedeul de sudare si tipul metalului de adaus la $T_{inc} = 293 \text{ K}$

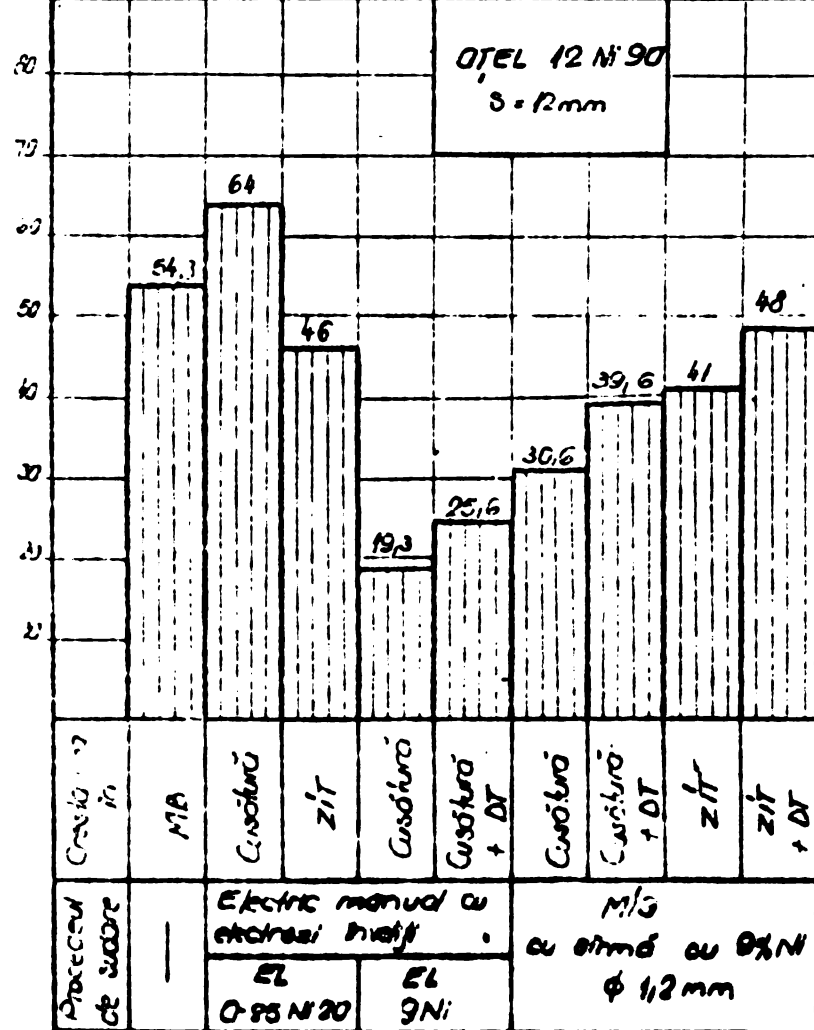


Fig.3.21. Variatia energiei de rupere KV 'J' in functie de procedeul de sudare si tipul metalului de adaus la $T_{inc} = 77 \text{ K}$

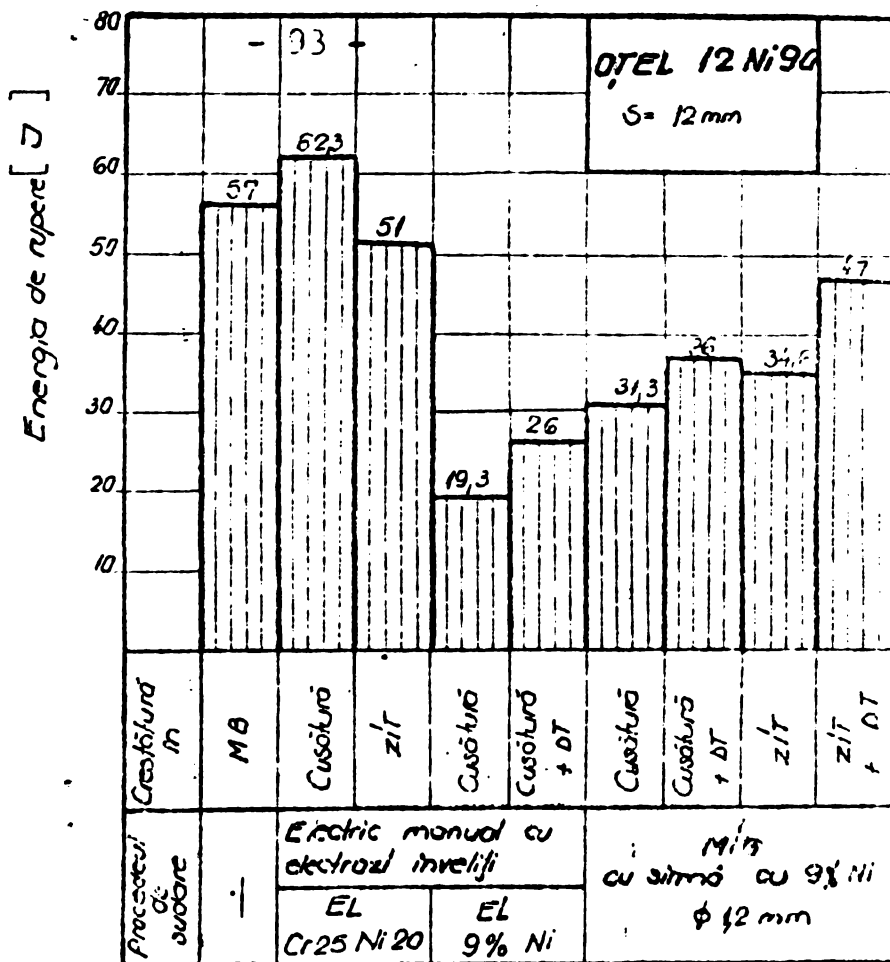


Fig.3.22. Variatia energiei de rupere KV [J] in functie de procedeul de sudare si tipul metalului de adaus după menținerea timp de o lună la 77 K

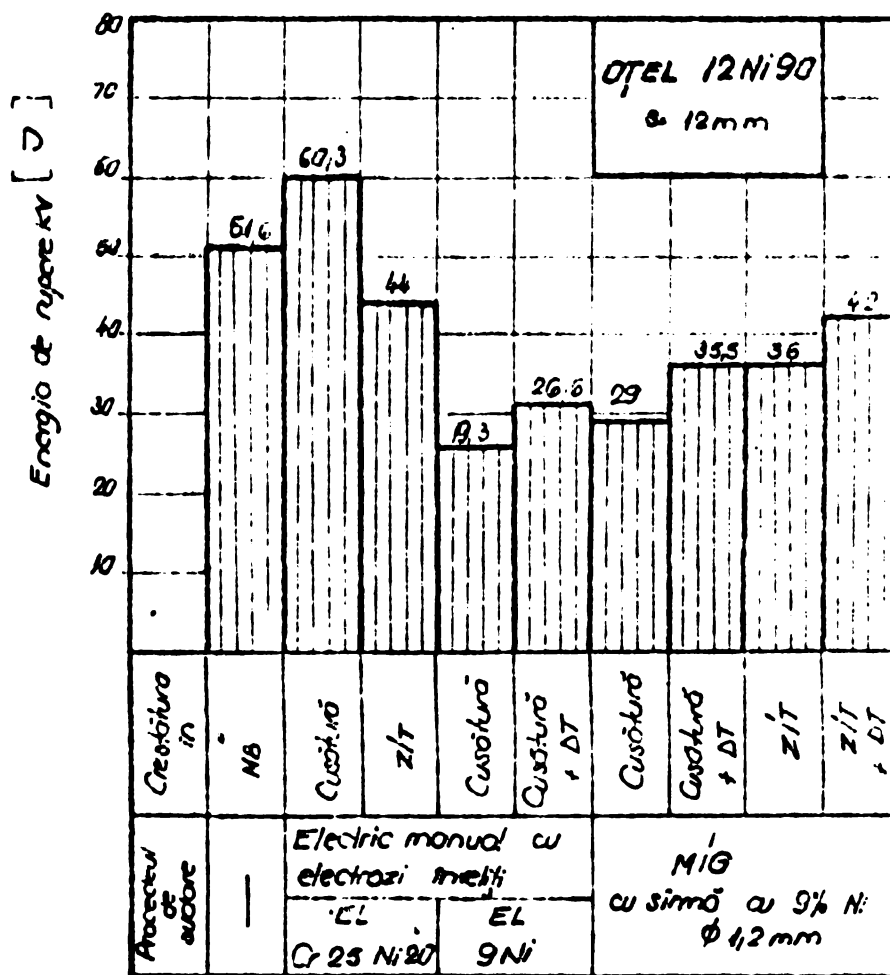


Fig.3.23. Variatia energiei de rupere KV [j] in functie de procedeul de sudare si tipul metalului de adaus după lo şocuri termice. $T_{finc} = 77$ K

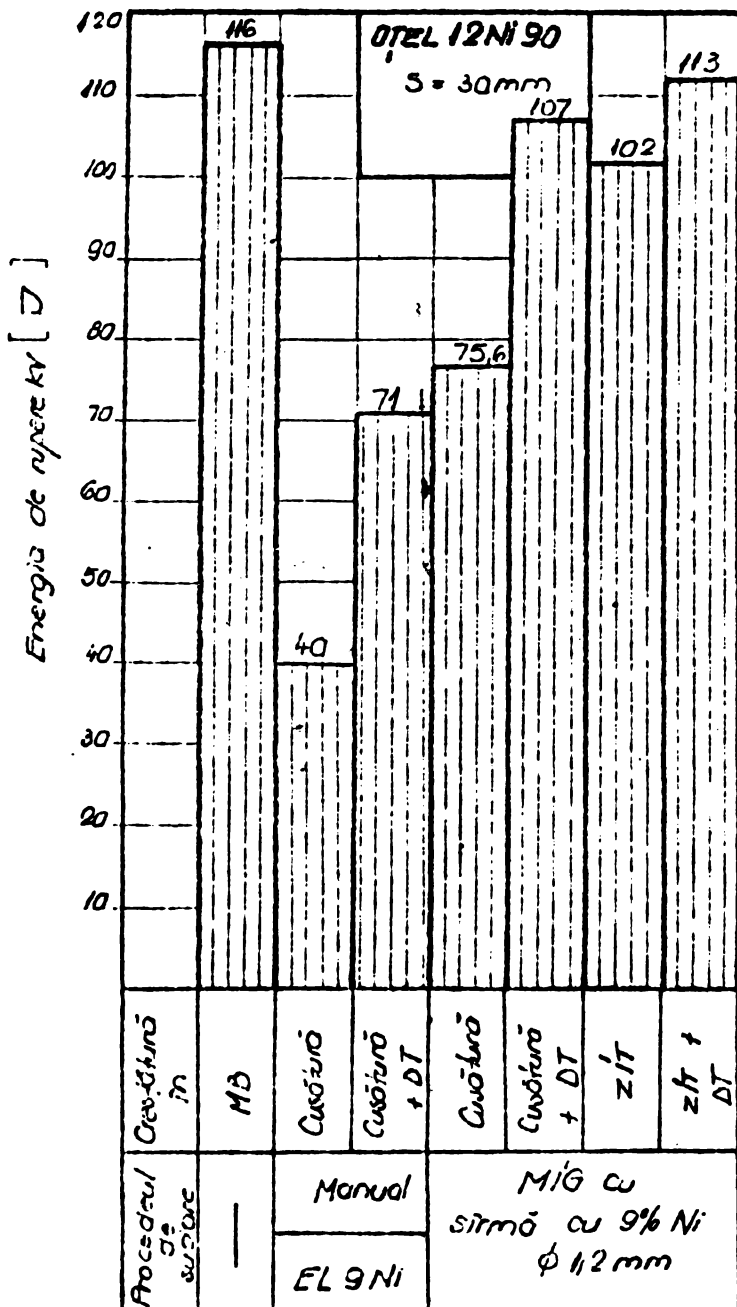


Fig.3.24. Variația energiei de rupere KV [J] în funcție de procedeul de sudare și tipul metalului de adaos la $T_{inc} = 293$ K

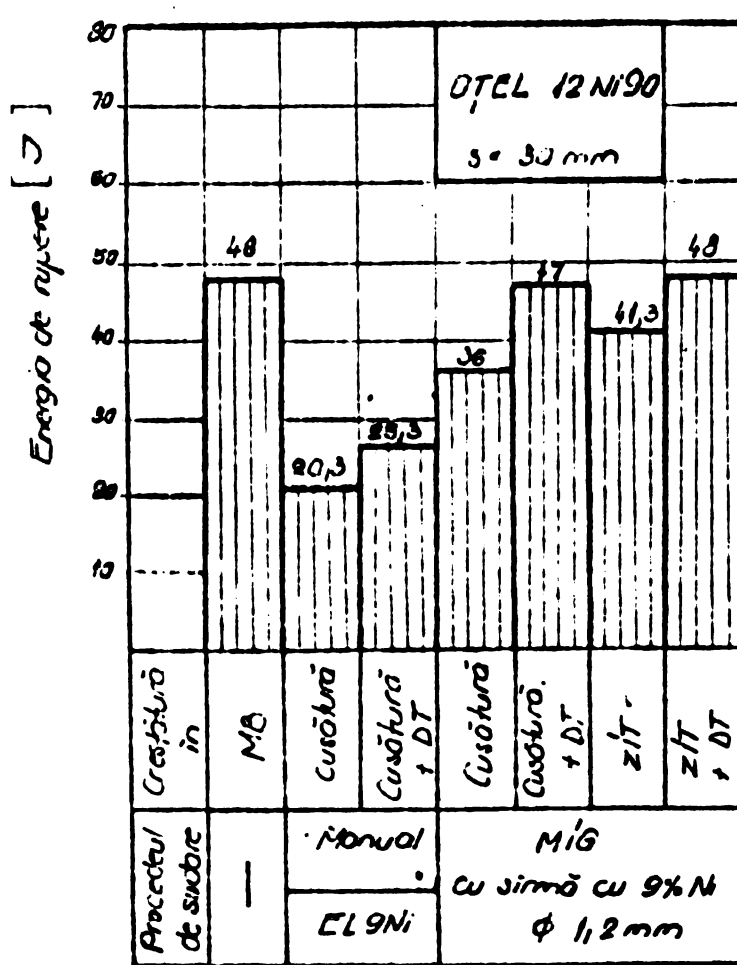


Fig.3.25. Variația energiei de rupere KV [J] în funcție de procedeul de sudare și tipul metalului de adaos la $T_{inc} = 77$ K

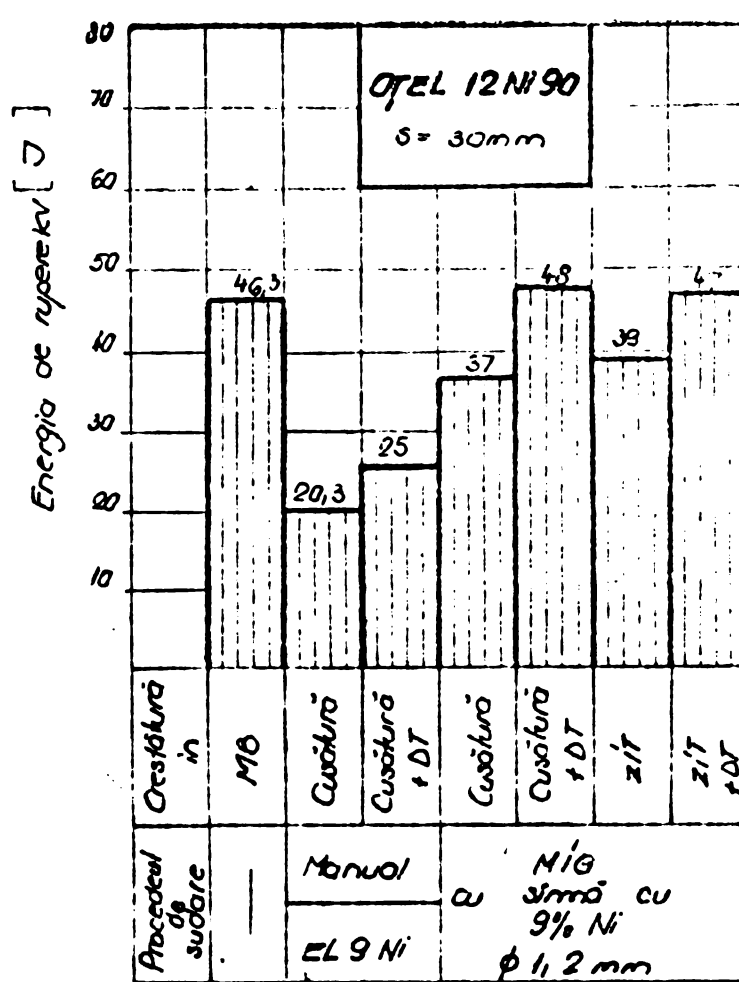
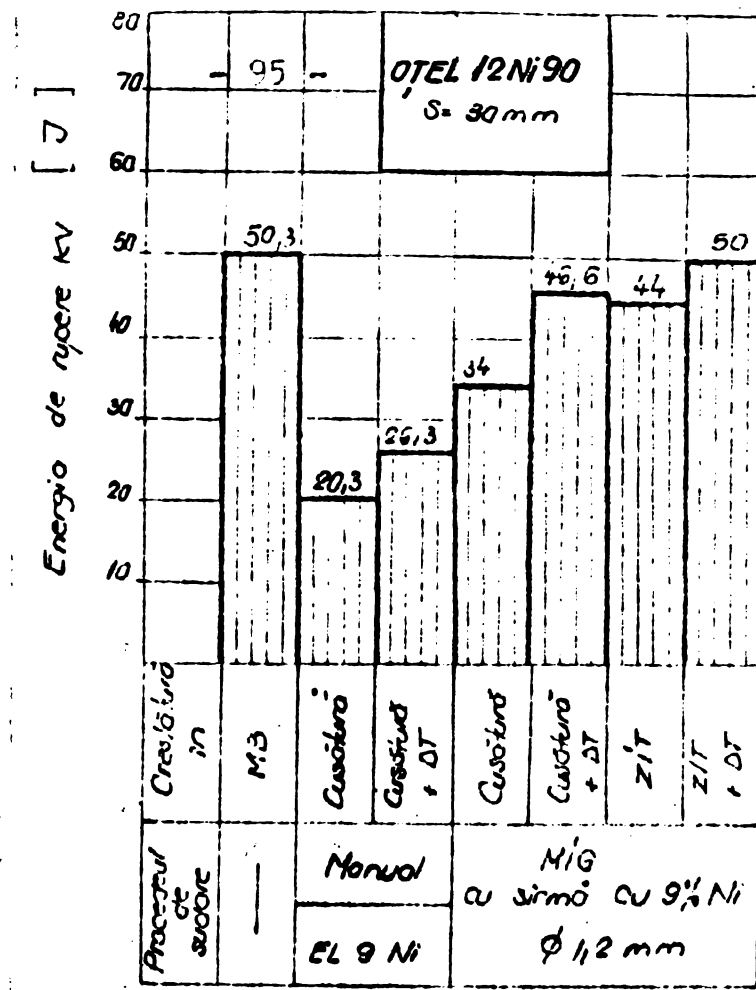


Fig. 3.27. Variatia energiei de rupere KV [J] in functie de procedeul de sudare si tipul metalului de adaus după loșocuri termice intre 293 si 77 K. T_{inc} = 17 K

- energia de rupere depinde de localizarea rădăcinii crestăturii. Metalul de bază în stare călită și revenită are o bună valoare a energiei de rupere atât la 293 K ($KV \approx 120$ J) cât și la 77 K ($KV=54$ J). Cusătura realizată cu electrozii ELCr25Ni20B dă cele mai ridicate valori ale energiei de rupere la 77 K ($KV=64$ J) datorită microstructurii sudurii care este, faza austenitică, la care dependența energetică de rupere de temperatură este mai mică decât cea a metalului de baza. Cusătura realizată prin procedeul MIG folosind sîrmă cu 9% i de 1,2 dă valori acceptabile ale energiei de rupere la 77 K ($KV=30$ J).

In figura 3.28 se prezintă rezultatele obținute și de alți cercetători privind sudarea MIG a oțelurilor criogenice cu 9% i folosind sîrmă cu compozиția chimică apropiată de a MB [80] comparativ cu rezultatele proprii.

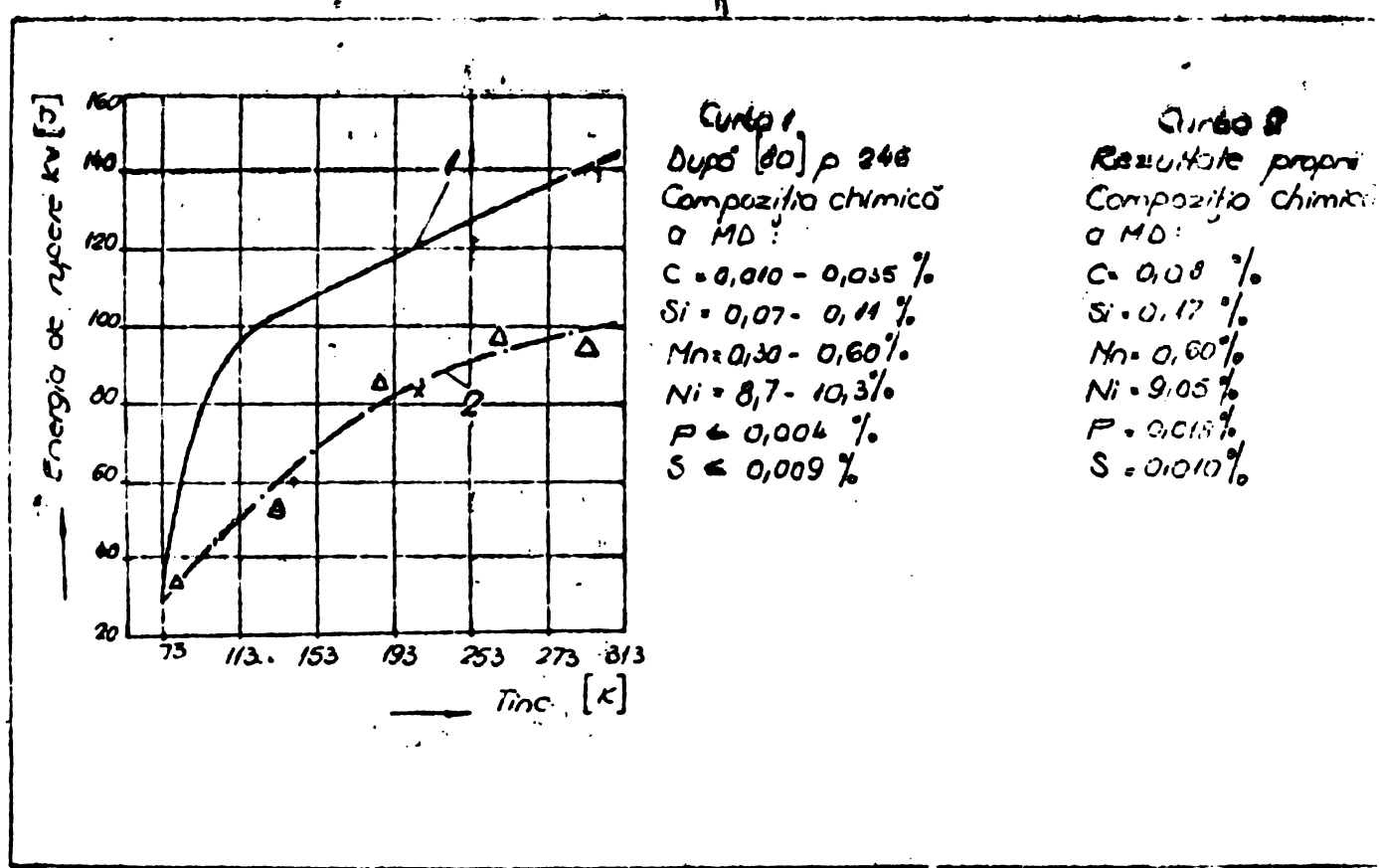


Fig.3.28: Energia de rupere funcție de temperatură de încercare.

Valorile mai scăzute ale energiei de rupere obținută la sudarea MIG a oțelului cercetat folosind sîrmă cu compozиția chimică apropiată de a MB față de cele prezentate în [80] este de presupus că se datorează conținutului mai ridicat în carbon a MD.

In cazul folosirii electrozilor EL9Ni energia de rupere la 77 K a avut valori cuprinse între 18...25 J, valori aflate sub limita inferioară de acceptare.

- reducerea energiei de rupere la ambele temperaturi de încercare este mult mai semnificativă la metalul depus (manual cu EL9Ni și MIG cu sîrmă cu 9 % Ni) din cauza structurii de turnare care conține multe defecte ce pot constitui amorse de rupere și datorită conținutului în carbon al metalului depus ($C = 0,08 \dots 0,1\%$);

- scăderea energiei de rupere a ZIT-ului (81 J la 293 K și 46 J la 77 K) față de a metalului de bază poate fi atribuită creșterii mărimi grăunților, deoarece energia de rupere a acestui otel depinde de mărimea grăunților;

- tratamentul termic de detensionare aplicat după sudarea manuală cu EL9Ni și MIG influențează semnificativ rezultatele la 293 K (88 J față de 50 J la sudarea manuală și 91 J față de 60 J la MIG) și mai puțin semnificativ la 77 K (25 J față de 20 J la sudarea manuală și 41 J față de 35 J la MIG);

- valorile ridicate ale coeficienților de corelație ($R > 97\%$) obținuți la determinările energiei de rupere în intervalul de temperaturi de 293 ... 77 K (tabelul 3.14) demonstrează că acestea au fost efectuate îngrijit și că au un grad mare de omogenitate.

Tensiunile reziduale dezvoltate în jurul metalului depus au fost reduse prin prelucrarea mecanică a epruvetelor și deci poate fi concluzionat că efectul localizării rădăcinii crestăturii asupra energiei de rupere a fost rezultatul schimbărilor în microstructură care iau naștere în timpul sudării. Schimbările sunt funcție de creșterea mărimi grăunților și introducerea de incluzuni.

Încercarea COD_d s-a realizat prin metoda secentială, solicitările aplicindu-se în trepte, cu energia crescătoare pînă la rupere.

Crestăturile avînd adîncimea de $2 \pm 0,06$ mm și lățimea de $0,3 \pm 0,03$ mm s-au prelucrat cu freză disc. Deplasările la deschiderea fisurii sau determinat după fiecare treaptă de energie aplicată, prin metoda rotirii flancurilor crestăturii (fig.3.29.a) folosind relația :

$$cd = b - \frac{a}{2} - a(b - c)$$

Distanțele b și c dintre perechile de repere trasate prin zgîriiere cu diamant pe suprafața frontală au fost măsurate la microscop cu o precizie de $\pm 0,001$ mm.

Nivelele solicitărilor prin șocuri secentiale au fost astfel alese încît propagarea fisurii pe suprafețele laterale ale epruvetelor să se producă după cel puțin trei trepte de solicitare. Ca valoare critică a deplasării la deschiderea fisurii s-a considerat :

$$\delta_{cd} = \frac{\delta_i + \delta_f}{2}$$

unde δ_i este deplasarea la vîrful fisurii corespunzătoare ultimei trepte de solicitare (i) care a mai produs o propagare a fisurii de la mijlocul epruvei spre margine, iar δ_f este deplasarea la vîrful fisurii corespunzătoare aparției fisurii pe una din fețele laterale ale epruvei (fig.3.29b).

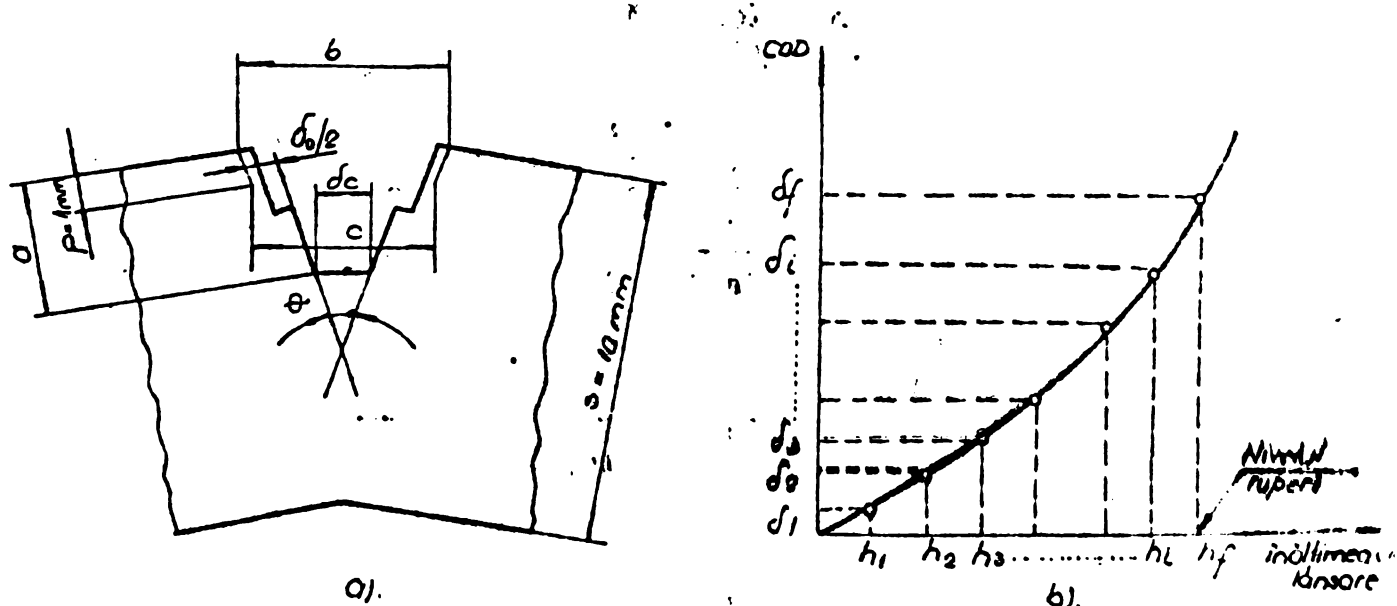


Fig.3.29. Schema de deformare a probei COD (a) și de determinare a deplasării la vîrful fisurii (b).

Rezultatele încercărilor COD sunt prezentate în tabelul 3.16.

Tabelul 3.16

Nr.	Tipul probăi	T _{fnc} K	mm		Obs.
			Valori individuale	Media	
1			0,37915		
2	MB71	293	0,39140	0,3601	
3			0,30945		
5			0,3920		
6	MIG	293	0,4387	0,4390	Aparut fisură la a 5-a treaptă de solicitare
7			0,5464		
8			-0,3820		
9			0,5787		
10	MIG	293	0,4168	0,4980	
11			0,5531		
12	DT		0,4454		

Tabelul 3.16 (continuare)

o	1	2	3	4	5
13			0,2275		
14	MB	77	0,1933	0,2094	
15			0,2075		
16			0,2235		Apărut fisură la a 4-a
17	MIG	77	0,2174	0,2110	treaptă de
18			0,1922		solicitare
19	MIG		0,3405		
20	+	77	0,3307	0,3230	
21	DT		0,2978		

Din analiza rezultatelor prezentate în tabelul 3.16 rezultă că nu apar diferențe semnificative între metalul de bază (oțel cu 9%Ni) și cusătura realizată prin procedeul MIG folosind sârmă cu 9%Ni de diametru 1,2 mm, la aceeași temperatură de încercare.

Se pare că tratamentul termic de detensionare îmbunătățește caracteristicile de deformabilitate ale materialului, la ambele temperaturi de încercare și obținută pe probe detensionate are valori mai ridicate decât la probele nedetensionate.

3.7.3. Încercări la tractiune

Epruvetele utilizate pentru încercarea la tractiune au fost extrase din îmbinări sudate manual și MIG (pozițiile 2, 3, 6 și 11 tabelul 3.12) conform figurii 3.30.

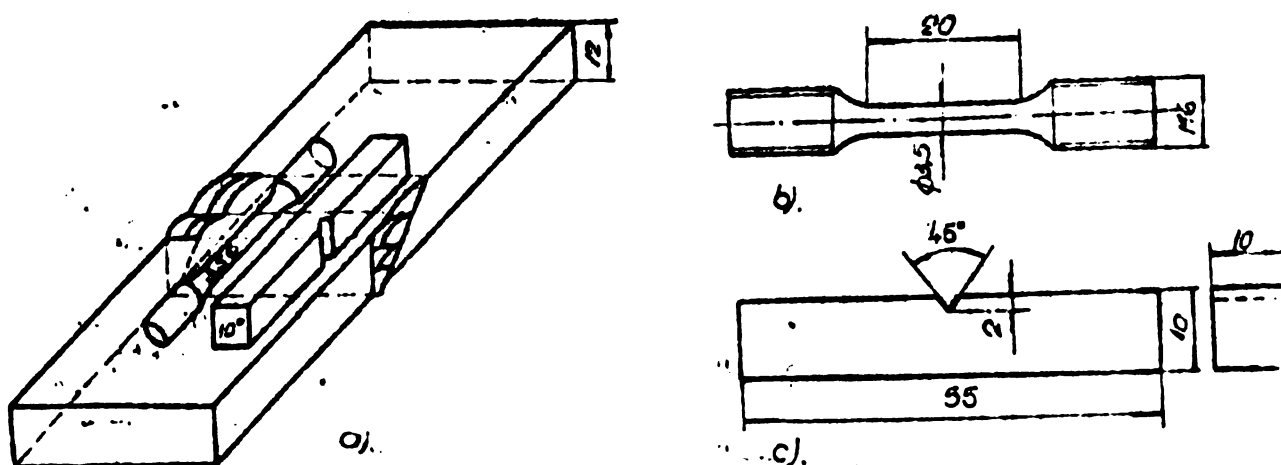


Fig.3.30. Modul de prelevare (a), forma și dimensiunile epruvetelor de tractiune (b) și reziliență (c).

Încercările au fost efectuate conform STAS 200-75 numai la temperatura de încercare de 293 K.

Rezultatele încercărilor sunt prezentate în tabelul 3.17.

Tabelul 3.17.

Tipul probei	R_m daN/mm ²			Locul ruperi
		Valori individuale	Media	
MB	79,1 ; 80,3 ; 79,4 .		79,6	MD
Manual cu EL9Ni	71 ; 69,3; 70		70,1	MD
MIG	74,0 ; 72,9 ; 73,0		73,3	MD
Manual cu ERGL 11.1.	70,1 ; 69,5 ; 69,8		69,8	MD
Manual cu ELCr25Ni20B	64,9 ; 66 ; 65,9		65,6	MD

Ruperea epruvetelor a avut loc în toate cazurile în metalul depus. Aceasta arată că rezistența zonei de trecere este mai mare decât a cusăturii. În plus nu s-a observat fisuri la cald sau la rece la nici una din epruvetele sudate.

Microfractografiile caracteristice combinației MB- electrod, respectiv procedeul de sudare folosit a indicat existența unor rupturi cu caracter ductil.

CONCLUZII

In cazul oțelurilor criogenice aliata cu 9 % Ni, conținutul în carbon trebuie să fie cât mai mic posibil (sub 0,15 %) pentru a obține o tenacitate bună la temperatura azotului lichid (77 K) . Elementele însotitoare permanente se limitează la următoarele valori: Si = 0,15...0,30 %; Mn = 0,8 %; S = 0,04 %; P = 0,035 %.

Prezența Ni ca element de aliere face să crească tenacitatea, călibilitatea și să scadă fragilitatea materialului. Atât carbonul cât și siliciul provoacă durificarea și fragilizarea oțelului. Dacă conținutul în aceste elemente este ridicat, este necesară mărirea și a procentului de Ni pentru a nu diminua rezistența la solicitări dinamice.

In scopul menținerii unor valori ridicate ale caracteristicilor de ductilitate și la temperaturi scăzute se impune ca, conținutul în incluziuni nemetalice și de gaze(hidrogen, oxigen, etc) să fie cât mai mic posibil(punctajul N: 3). Din aceeași motive este limitat și conținutul în fosfor și sulf.

Oțelurile criogenice aliata cu 9 % Ni cercutate(tabelul 2.1) au o comportare bună la sudare, nu este necesară preincălzirea pînă

- 101 -

la grosimi a tabelelor de 30 mm.

Insușirile cusăturii și a zonei influențate termic depinde de tipul electrozilor și energia liniară folosită la sudare.

Cusătura realizată cu electrozii ELCr25Ni20B dă cele mai ridicate valori ale energiei de rupere la 77 K (64J), în schimb rezistența la rupere și limita de curgere sunt mult mai scăzute decât la metalul de bază ($R_m = 65 \frac{daN}{mm^2}$ față de $79 \frac{daN}{mm^2}$ la MB și $R_{e,2} = 42 \frac{daN}{mm^2}$ față de $68 \frac{daN}{mm^2}$ la MB).

Cusătura realizată cu electrozii EL9Ni dă valori ale energiei de rupere la 77 K de 16... 20 J, valori care nu se acceptă în schimb rezistența la rupere se apropie de a metalului de bază ($R_m = 70 \frac{daN}{mm^2}$ la MB; R_e).

Valorile scăzute ale energiei de rupere se datorează structurii de turnare a cusăturii care conține multe defecte pentru inițierea fisurilor precum și conținutului ridicat în carbon al metalului depus ($C = 0,08 \dots 0,1\%$).

Cusătura realizată prin procedeul MIG folosind sîrmă cu 9 % Ni de 1,2 mm dă valori acceptabile la 77 K ($KV > 30 J$) și rezistența la rupere a îmbinării apropiindu-se de a metalului de bază ($R_m = 73,3 \frac{daN}{mm^2}$ față de $79,1 \frac{daN}{mm^2}$ la MB).

Cusătura realizată cu electrozii ERGL11.1 dă valori de energie de rupere de peste 50 J la $T_{inc} = 77 K$ respectiv valori acceptabile ale rezistenței la rupere și a limitei de curgere ($R_m = 69,8 \frac{daN}{mm^2}$ față de $79,1 \frac{daN}{mm^2}$ la MB și $R_{e,2} = 52,3 \frac{daN}{mm^2}$ față de $68,3 \frac{daN}{mm^2}$ la MB).

Folosind pentru sudare energii liniare de 8...14 KJ/cm indiferent de tipul electrozilor folosiți respectiv de procedeul de sudare (manual sau MIG) s-au obținut în ZIT energii de rupere de peste 30 J la 77 K. Scăderea energiei de rupere a ZIT-ului față de a metalului de bază poate fi atribuită creșterii mărimiilor grăunților în ZIT, deoarece energia de rupere a acestui etel depinde de mărimea grăunților.

Rezultatele obținute după menținerea timp de o lună în azot lichid la 77 K precum și la loșocuri termice între 293 și 77 K sunt comparabile cu cele obținute conform STAS la temperatura de încercare de 77 K. Rezulta, deci că materialul de bază etel criogenic cu 9 % Ni ZIT-ul și cusătura su o bună stabilitate la temperatura azotului lichid (77 K) precum și la secouri termice.

Încercarea COD efectuată asupra MB și cusăturii realizată

prin procedeul MIG nu relevă diferențe semnificative între MB și cusătură nici la 293 K și nici la 77 K COD la vîrful creștării fiind atribuită cantității de deformare plastică se presupune că MB și cusătura realizată prin procedeul MIG din punct de vedere al deformării plastice au o comportare asemănătoare.

Tratamentul termic de detensionare în toate cazurile uniformizează în ZIT și cusătură structurile reducind duritatele HV5 la nivelul metalului de bază în plajă de valori de 230... 270 daN/mm². De asemenea prin detensionare cresc valorile energiei de rupere atât la 293 K cât și la 77 K creșteri mai semnificative obținându-se la 293 K.

Ruperea epruvetelor sudate nu a avut loc niciodată la limita dintre metalul de bază și sudură. Aceasta arată că rezistența zonei de trecere este mai mare decât a sudurii. În plus nu s-a observat fisuri la cald sau rece la nici una din epruvetele sudate.

Microfractografiile caracteristice combinației MB-electrod respectiv procedeu de sudare folosit indică existența unor rupturi cu caracter ductil atât la 293 K cât și la 77 K.

CAPITOLUL IV

TRANSFORMARI STRUCTURALE LA SUDAREA OTELURILOR

CRIOGENICE ALIATE CU 9% Ni

4.1. CORELATIA DIN TRE TRANSFORMARILE STRUCTURALE SI ENERGIA LINIARA DE SUDARE

Cel mai periculos fenomen la sudare este supraîncălzirea oțelului. Viteza de încălzire influențează modul de creștere al grăunților. Pe măsura creșterii vitezei de încălzire liniile A_{c1} și A_{c3} ale diagramei de echilibru $Mn-Fe-C$ se deplasează spre temperaturi mai înalte respectiv grăunții de austenită se dezvoltă mai lent. Aceste constatări au la bază inertiea proceselor de formare a austenitici și de creștere a grăunților, inertie care se manifestă cu atât mai pregnant cu cât viteza de încălzire este mai mare.

La încălzire în timpul sudării trebuie să se ia seama de cele două tendințe contrare care se manifestă: în primul rând datorită temperaturilor ridicate din cîmpul austenitic are loc creșterea dimensiunii grăunților cristalini și totodată omogenizarea austenitei iar în al doilea rînd încălzirea cu viteza mare și durată de menținere redusă frînează creșterea grăuntelui și duce la formarea unei austenite eterogene.

Măsura în care una din cele două tendințe depășește pe cea-laltă este determinată de prezența sau absența elementelor de aliere și în special a elementelor ce formează carburi.

Nichelul nu formează carburi în oțeluri, din contră contribuind la descompunerea cementitei și micșorează tendința la supraîncălzire.

Pornind de la aceste considerente rezultă că în cazul sudării oțelurilor criogenice aliante cu 9%Ni un rol important în creșterea grăuntelui austenitic îl au temperatura de încălzire și energia liniară de sudare..

La aceeași energie liniară de sudare pe măsura ridicării temperaturii de încălzire grăunțele de austenită crește, datorită intensificării fenomenelor de difuzie în stare solidă..

Nichelul conferă oțelurilor o mare calibilitate. Boala sau martensita cu puțin carbon sunt structurile care apar cel mai frecvent la aceste oțeluri prin răcirea fie în aer, fie în apă de la temperatura de austenitizare.

Viteza de răcire din domeniul austenitic este aceeași indiferent de temperatura la care s-a făcut austenitizarea, ea depinzând doar de energia liniară de sudare. Astfel la energii liniare mici corespund viteze mari de răcire (parametrul răciri $t_{8/5}$ are valori mici) situație în care gradul de omogenizare al austenitei fiind minimul centrelor de cristalizare fiind mare structura rezultată va fi fină (Planșa V fig.1...4)

Pe măsură ce crește energia liniară vitezele de răcire devin mai mici (parametrul răciri $t_{8/5}$ crește) gradul de omogenizare al austenitei este mai ridicat stabilitatea la transformare crește și structura rezultată va fi formată din cristale martensitice de dimensiuni mai mari (Planșa V fig.5...7).

PLANŞA V

Microstructuri caracteristice probelor simulate cu diferite energii liniare.



Fig.1a ME x 5000

EL = 8KJ/cm

$T_v = 1273^{\circ}\text{K}$



Fig.1b ME x 10000

EL = 8KJ/cm

$T_v = 1273^{\circ}\text{K}$

PLANSA V (continuare)



Fig.2a.ME x 5000
 $EL = 12KJ/cm$
 $T_v = 1273^{\circ}K$

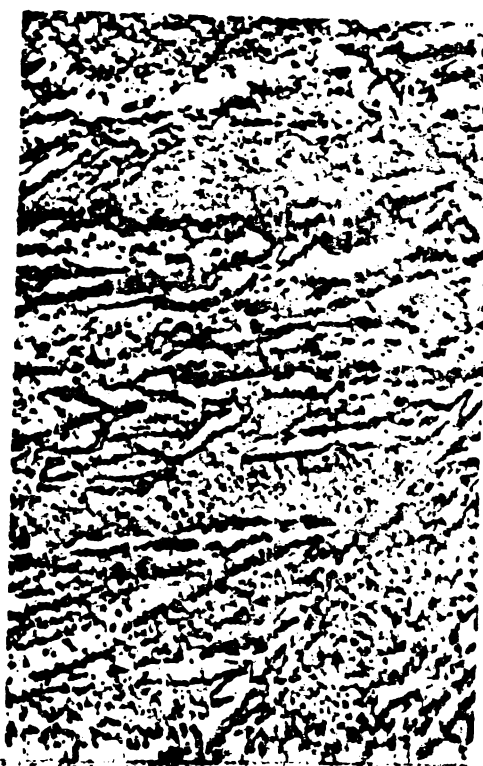


Fig.2b.ME x 10000
 $EL = 12KJ/cm$
 $T_v = 1273^{\circ}K$



Fig.3a.ME x 5000
 $EL = 14 KJ/cm$
 $T_v = 1273^{\circ}K$

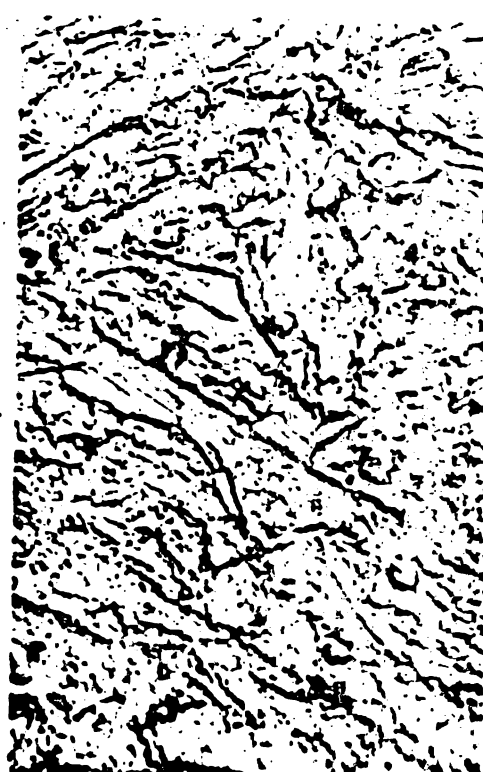


Fig.3b.ME x 10000
 $EL = 14KJ/cm$
 $T_v = 1273^{\circ}K$

PLANSA V (continuare)



Fig.4a. ME x 5000
EL = 18KJ/cm
 $T_v = 1273^{\circ}\text{K}$



Fig.4b. ME x 10000
EL = 18KJ/cm
 $T_v = 1273^{\circ}\text{K}$



Fig.5a. ME x 5000
EL = 20KJ/cm
 $T_v = 1273^{\circ}\text{K}$



Fig.5b. ME x 10000
EL = 20KJ/cm
 $T_v = 1273^{\circ}\text{K}$

PLANSA V (continuare)



Fig.6a.ME x 5000
EL = 30KJ/cm
 $T_v = 1273^{\circ}\text{K}$



Fig.6b.ME x 10000
EL = 30KJ/cm
 $T_v = 1273^{\circ}\text{K}$



Fig.7a.ME x 5000
EL = 35KJ/cm
 $T_v = 1273^{\circ}\text{K}$



Fig.7b.ME x 10000
EL = 35KJ/cm
 $T_v = 1273^{\circ}\text{K}$

4.2. CORELATIA DIN TRE TRANSFORMARILE STRUCTURALE SI TIPUL METALULUI DE ADAOS

La sudare s-au folosit electrozii ELCr25Ni2oB din producția curentă, electrozii EL9Ni și ERGIII.1 elaborați experimental și sîr mă cu 9%Ni de 1,2mm.

Pornind de la rezultatele obținute în urma simulării ciclurilor termice de la sudare și la sudarea manuală cît și la sudarea MIG s-au folosit energii liniare de 8...14 KJ/cm. Folosindu-se aceleasi energii liniare transformările structurale vor depinde de natura materialului de adaos.

In Planșa VI sînt prezentate microstructurile caracteristice îmbinărilor sudate din oțel criogenic cu 9%Ni realizate cu diverse electrozi iar în Planșa VII sînt prezentate microfractografiile probelor incercate. Din analiza acestora rezultă următoarele observații:

In cazul folosirii electrozilor ELCr25Ni2oB;

- cusătura are o structură austenitică cu precipitări de carburi și cu orientare dendritică (Planșa VI fig.1d);
- zona influențată termic are o structură troostito-bainitică (Planșa VI fig.1b);
- zona de trecere are o structură eterogenă austenit + bainit + carburi (Planșa VI fig.1c);
- metalul de bază are o structură sorbitică de revenire (Planșa VI fig.1a);
- microfractografiile probelor rupte la 293 K prezintă o ruptură ductilă (Planșa VII fig.1) iar cele la 77 K au o ruptură tot ductilă dar ruperile concupă sunt în număr mai mic (Planșa VII fig.2).

In cazul folosirii electrozilor EL9Ni;

- cusătura are o structură bainito-martensitică aciculară și orientată pe direcția fluxului termic (Planșa VI fig.2d și 3d);
- zona influențată termic are o structură formată din bainită aciculară (Planșa VI fig.2b și 3b);
- ruptura probelor incercate la 293 K și la 77 K au caracter ductil (Planșa VII fig.3 și 4).

In cazul folosirii electrozilor ERGIII.1;

- cusătura are o structură austenitică cu precipitări de carburi și orientare dendritică (Planșa VI fig.4d);
- zona de trecere are o structură eterogenă formată din austenit + troostită + bainită + carburi (Planșa VI fig.4c);
- zona influențată termic are o structură troostito-bainitică (Planșa VI fig.4b);
- ruptura probelor are un caracter ductil atât la 293 K cît și la 77 K (Planșa VII fig.4 și 5).

La sudarea MIG cu sîrmă din oțel cu 9%Ni de diametru 1,2 mm apar următoarele transformări:

- în cusătură apare o structură bainito-martensitică aciculară orientată pe direcția fluxului termic (Plansa VI fig.5d și 6d);
- în zona influențată termic apare o structură formată din bainită aciculară (Plansa VI fig.5b și 6b);
- microfractografia probelor încercate prezintă o ruptură ductilă atât la 293 K cît și la 77 K (Plansa VII fig.7 și 8).

In urma tratamentului termic de detensionare se favorizează precipitarea carburilor fine de tip cementitic pe limitele de separație a feritei aciculare, suscepitibilitatea la atac chimic a probelor este mai mică iar ferita își păstrează caracterul acicular (Plansa VI fig.2 și 5 e,f,g,h și fig.3 și 6 m,n,p și r).

Așadar tratamentul termic de detensionare uniformizează în zonă cusătură structurile menținându-se unele aspecte legate de orientarea și distribuția carburilor și a cristalelor de ferită.

4.3. CORELATIA DINTRE TRANSFORMARILE STRUCTURALE ȘI PROPRIETATILE MECANICE ALE IMBINARILOR SUDATE

Analizele microstructurale și microfractografice ale imbinărilor sudate realizate din oțel criogenic aliat cu 9%Ni folosind diferite materiale de adaos atestă transformări de fază întenționatoare și ruperi cu caracter ductil, care justifică valoările proprietăților mecanice obținute.

Insușirile cusăturii și a zonei influențate termic depind de tipul electrozilor și energiei liniară folosită la sudare.

Cusătura sudată este o formăjuncă eterogenă din punct de vedere chimic și structural și al îngugirilor pendinte de sudare.

Încercarea de reziliență pe epruvate Charpy V este ușoară în aprecierea îngugirilor de plasticitate preținzând în momentul de față și cele mai multe rezultate experimentale în domeniu, rezultat ce pot servir unor comparații.

Datorită eterogenității cusăturii ca mod de cristalinare, orientarea creștăturii epruvei de reziliență influențează semnificativ rezultatele măsurătorilor.

Creștătura orientată paralel cu suprafețele tablelor imbinante fiind așezată în unul din straturile ce formează cusătura, reflectă situația din respectivul strat pe o lungime egală cu cea a cusăturii iar materialul din vîrful creștăturii este supus la întindere într-plan paralel cu suprafețele tablelor (la sudarea cap la cap).

PLANSA VI



Fig.1a.MB.M0x500

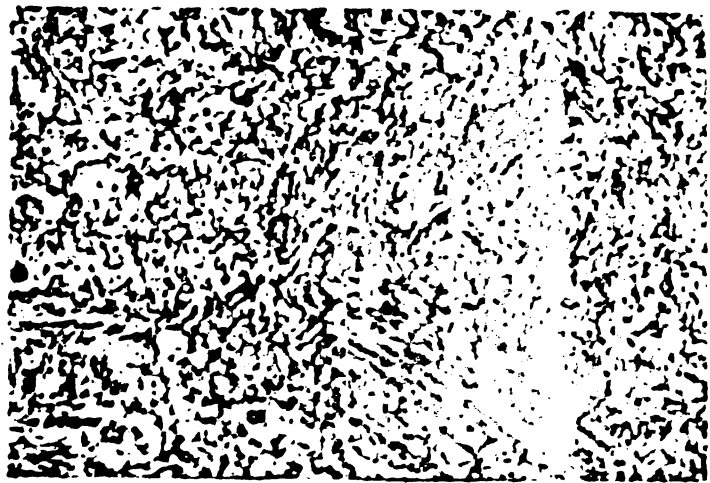


Fig.1b. ZIT.M0x500

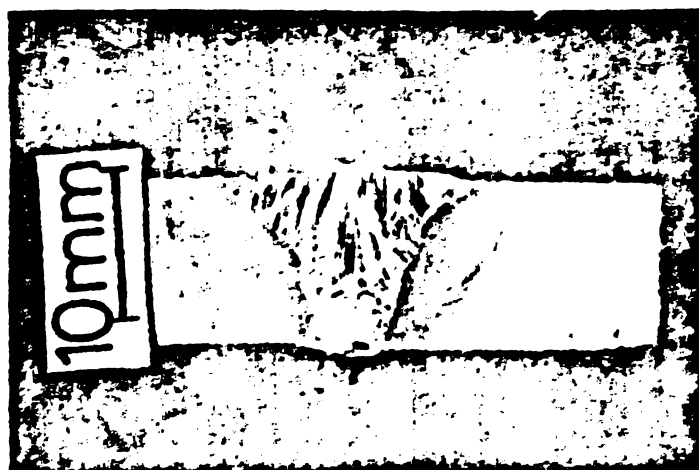


Fig.1. Imbinarea realizată manual
cu ELCr25Ni20B



Fig.1c.ZIT+cuștitură
M0 x 200

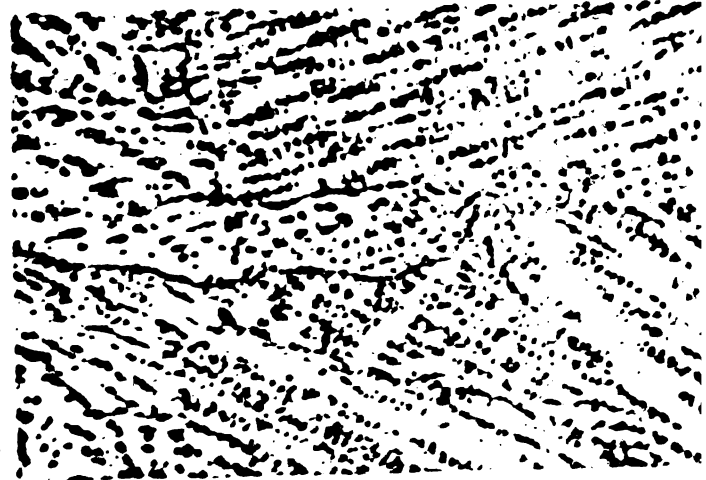


Fig.1d.Cuștitură
M0 x 100

PLANSA VI (continuare)

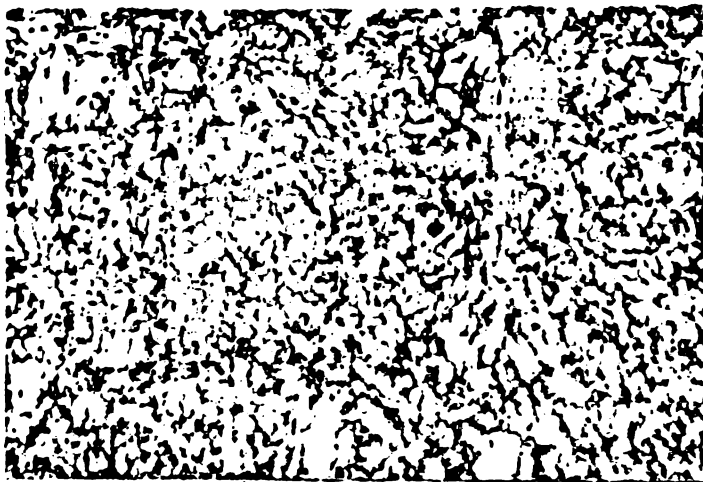


Fig.2a.MB. M0x500



Fig.2b.ZIT. M0x500

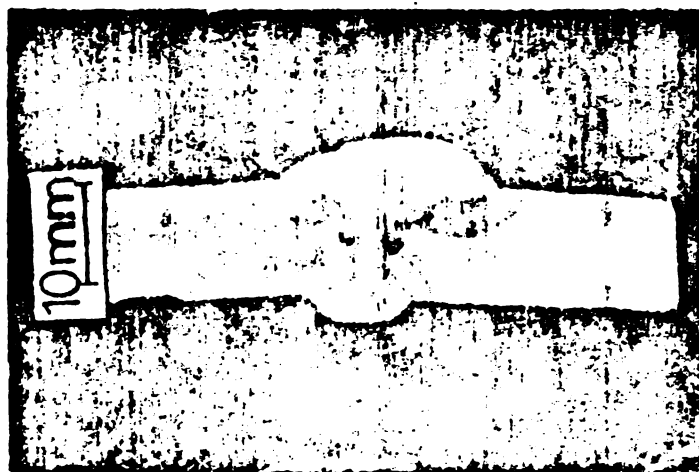


Fig.2. Imbinarea realizata manual
cu EL9Ni



Fig.2c.ZIT+cusatura
M0 x 100



Fig.2d.Cusatura
M0+ 100

Fig.2c. ZIT+cusatura
M0 + 100

Fig.2d. Cusatura
M0+ 100

PLANSA VI (continuare)
Imbinare realizată manual cu EL9Ni și detensionată



Fig.2e.Cusătură
MEx5000



Fig.2f.Cusătură
MEx10000



Fig.2g.ZIT
MEx5000



Fig.2h.ZIT
MEx10000

- 113 -
PLANSA VI (continuare)

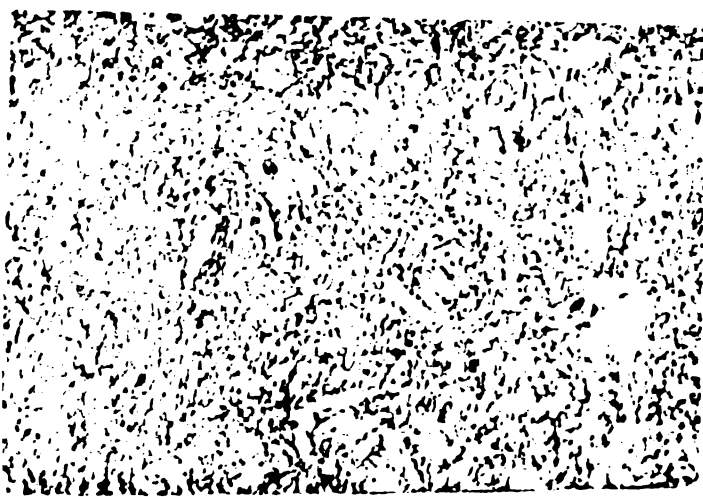


Fig.3a.MB.M0x500



Fig.3b.ZIT.M0x500

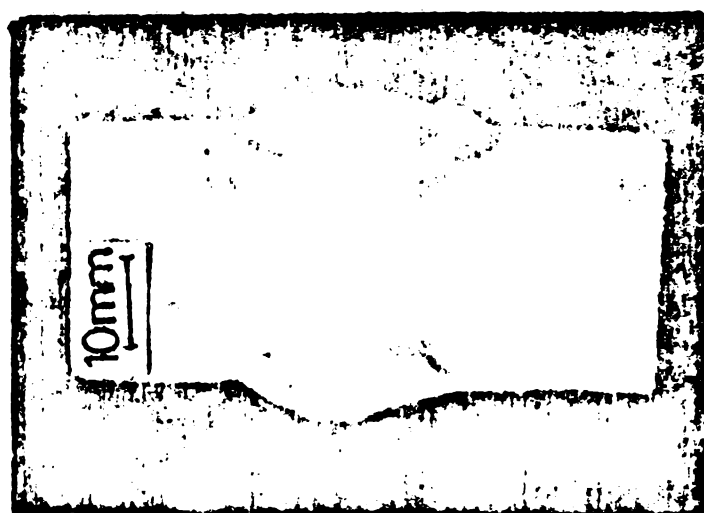


Fig.3.Tăbinare realizată manual
cu EL9Ni

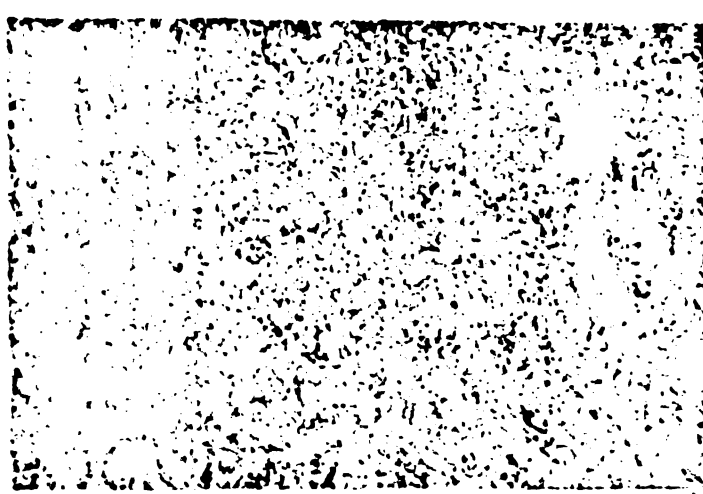


Fig.3c.ZIT+Cușătură
M0 x 100

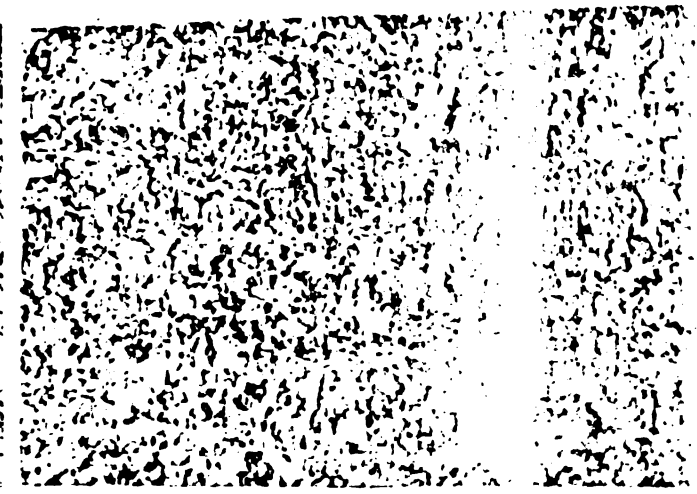


Fig.3d.Cușătură
M0 x 100



Fig.3e.MBx500



Fig.3f.ZITx500



Fig.3g.ZIT+Cusătură
MO x 100

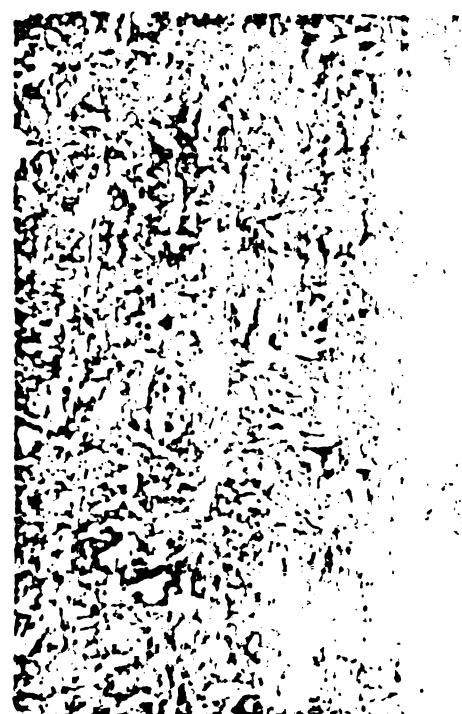


Fig.3h.Cusătură
MO x 100

PLANSA VI (continuare)
Imbinare realizată manual cu EL9Ni



Fig.3i.Cusătură
ME x 5000

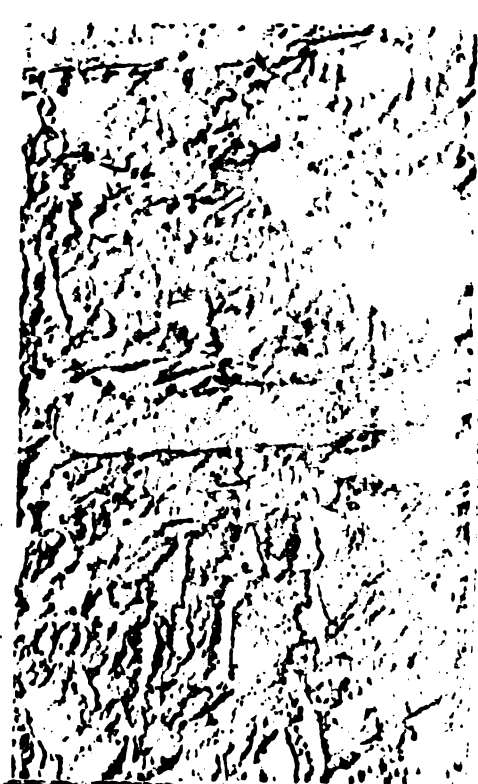


Fig.3j.Cusătură
ME x 10000

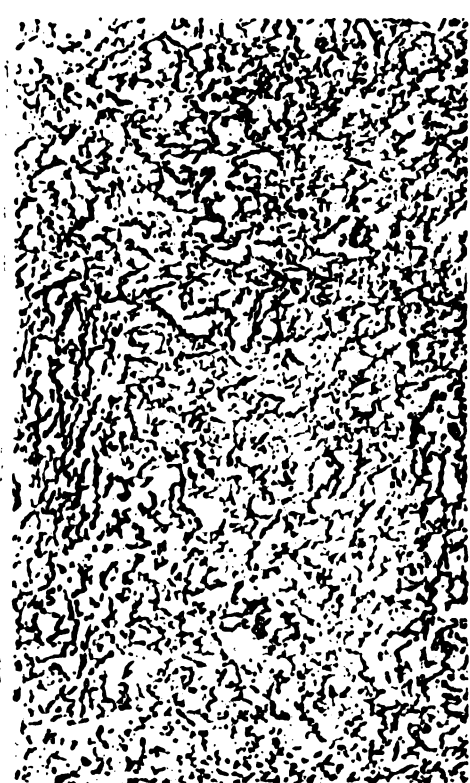


Fig.3k.ZIT
ME x 5000

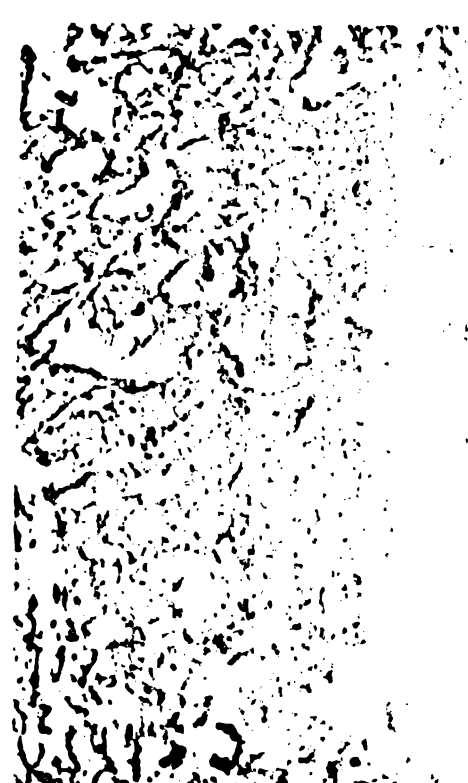


Fig.3l.ZIT
ME x 10000

PLANSA VI (continuare)

Imbinare realizată cu EL9Ni și detensionată



Fig.3m. Cusătură
ME x 5000



Fig.3n. Cusătură
ME x 10000



Fig.3p. ZIT
ME x 5000

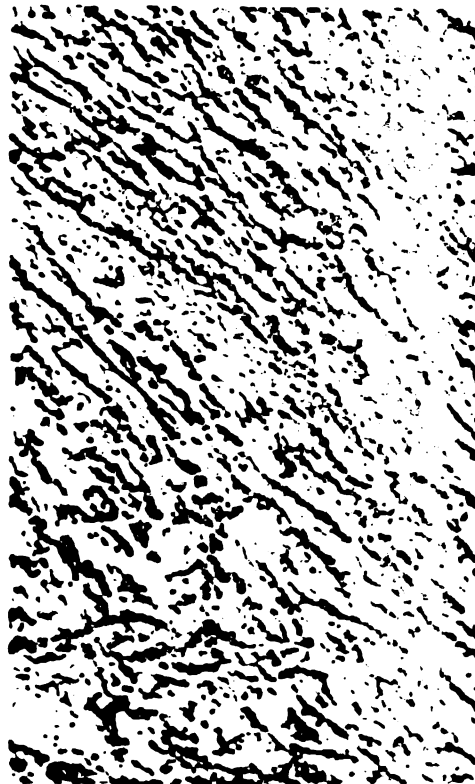


Fig.3r. ZIT
ME x 10000

PLANSA VI (continuare)



Fig.4a.MB.M0x500



Fig.4b.ZIT.M0x500

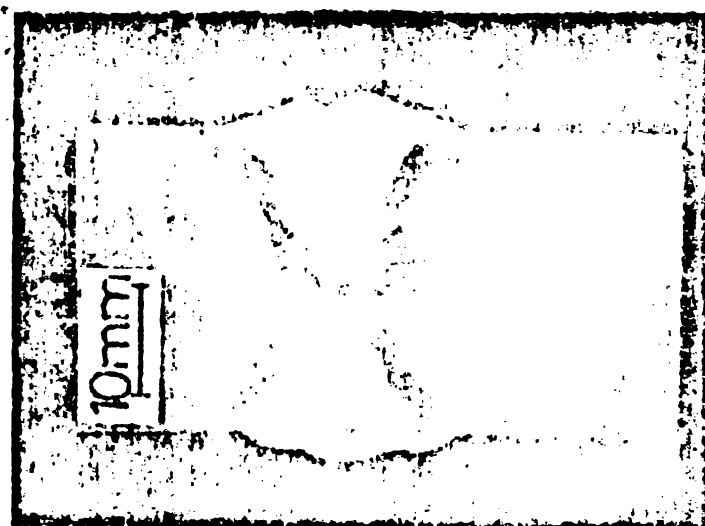


Fig.4 imbinare realizată manual
cu electrozi ERG111.1

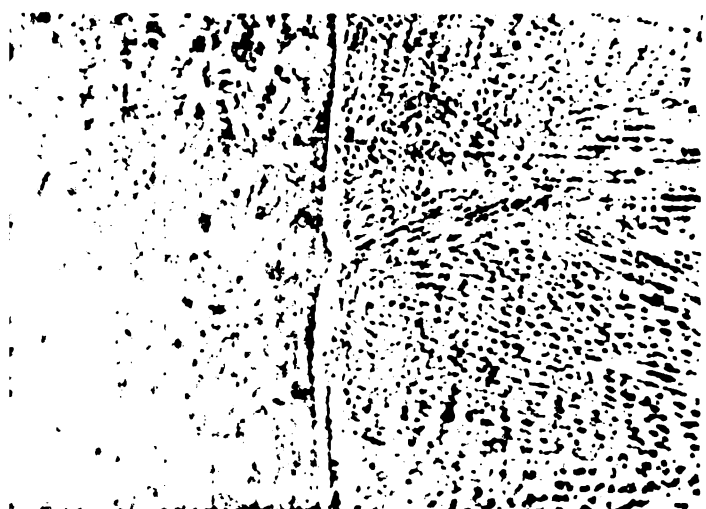


Fig.4c.ZIT+Cusătură
M0 x 100

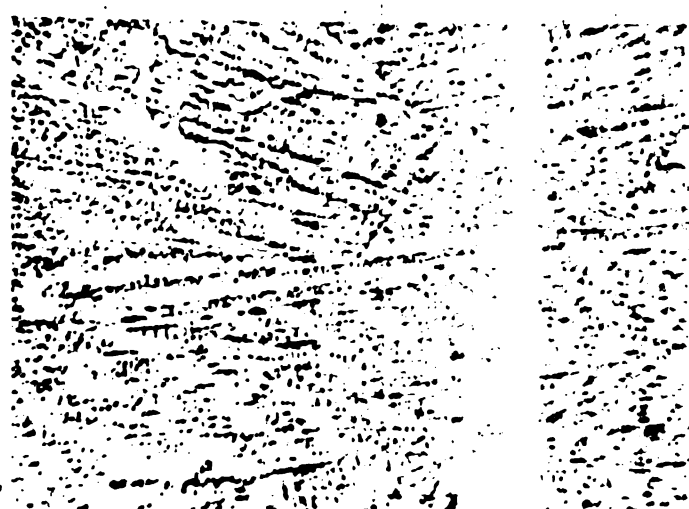


Fig.4b.Cusătură
M0 x 100

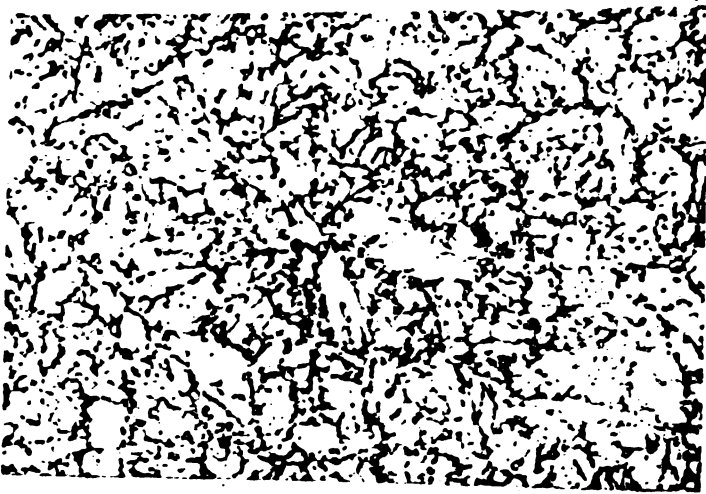


Fig.5a.MB.M0x500



Fig.5b.ZIT.M0x500

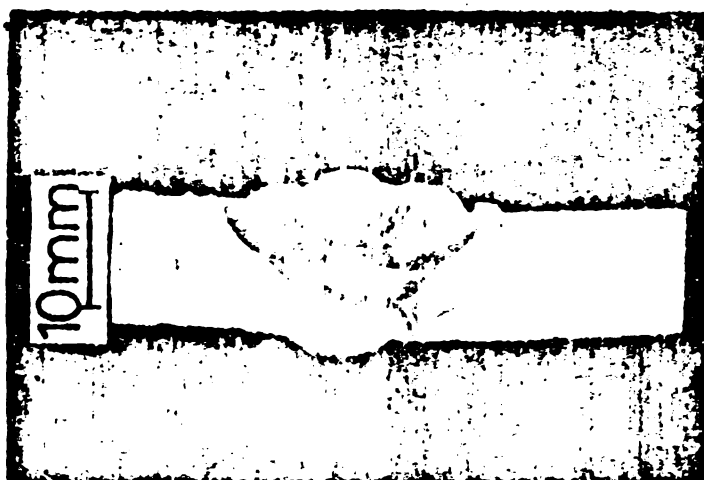


Fig.5.Imbinarea realizată MIG

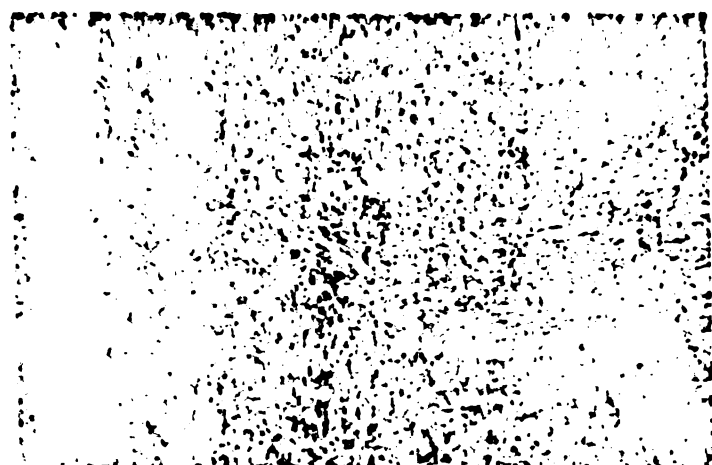
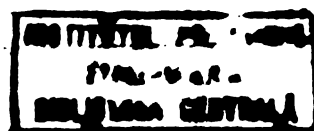


Fig.5c.ZIT+Cusătură
NO x 100



Fig.5d.Cusătură
NO x 100



PLANSA VI (Continuare)
Imbinare realizată MIG și detensionată



Fig.5e. Cusătură
ME x 5000

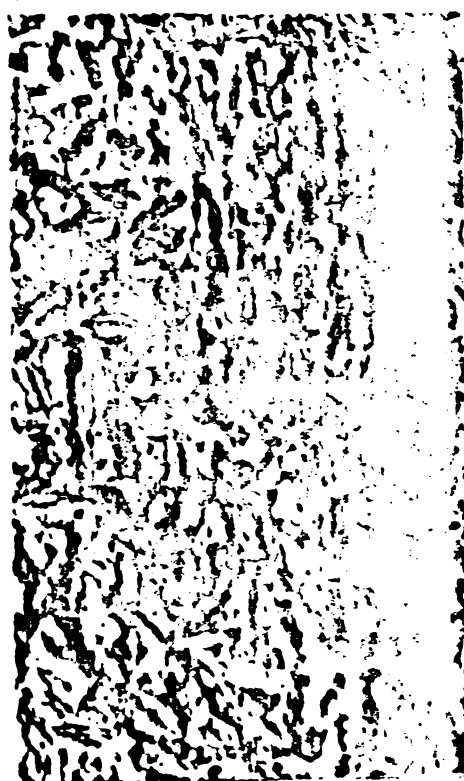


Fig.5f. Cusătură
ME x 10000



Fig.5g. ZIT
ME x 5000

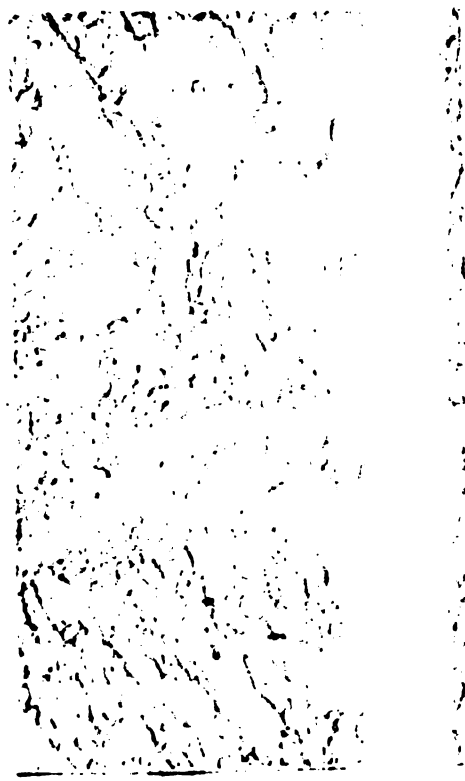


Fig.5h. ZIT
ME x 10000

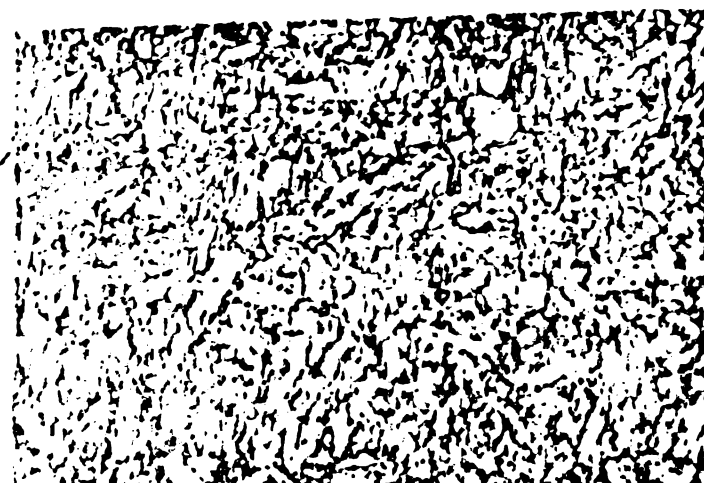


Fig.6a. MB.M0x500

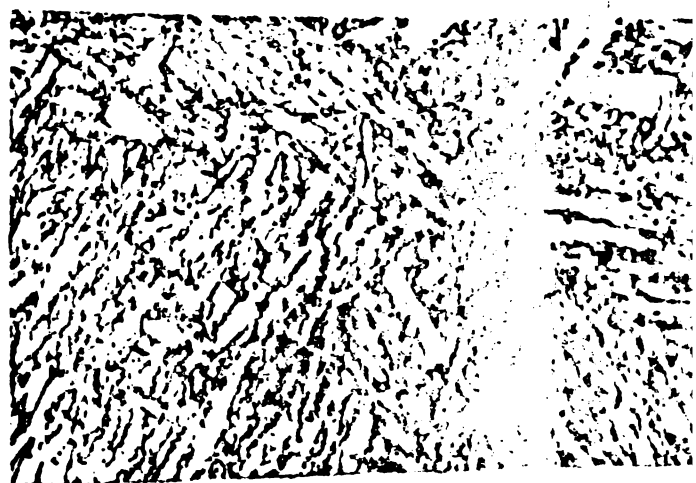


Fig.6b. ZIT.M0x500

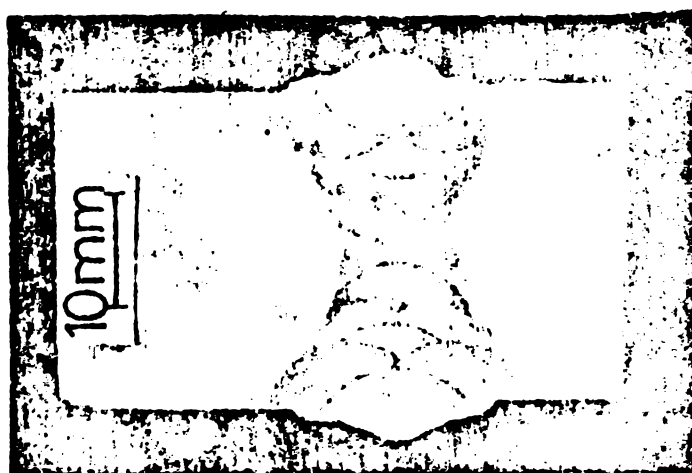


Fig.6 Imbinare realizată MIG



Fig.6c. Cusătură+ZIT
M0 x 100

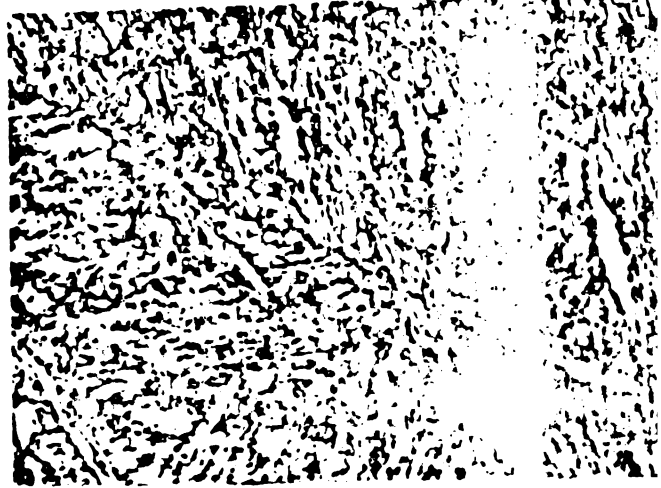


Fig.6d. Cusătură
M0 x 100

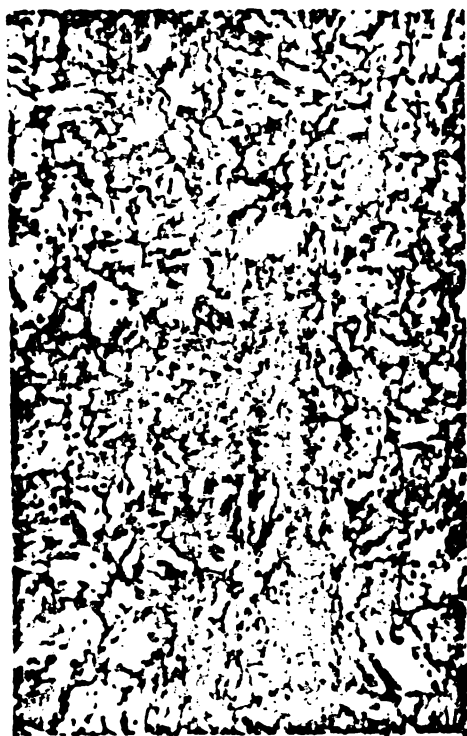


Fig.6e.MB.M0x500

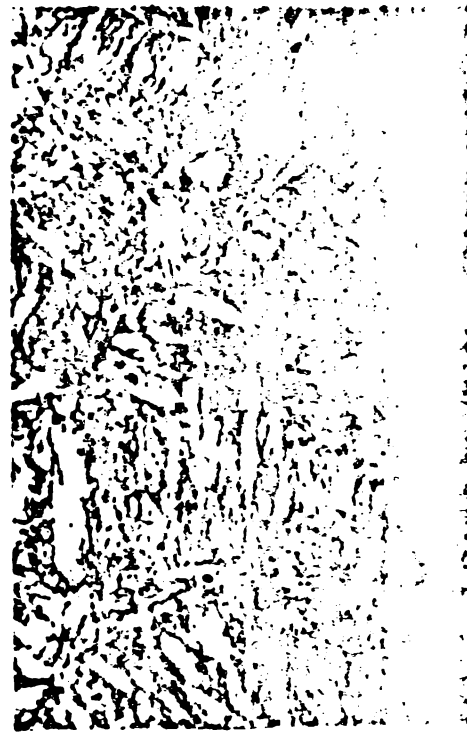


Fig.6f.ZIT.M0x500

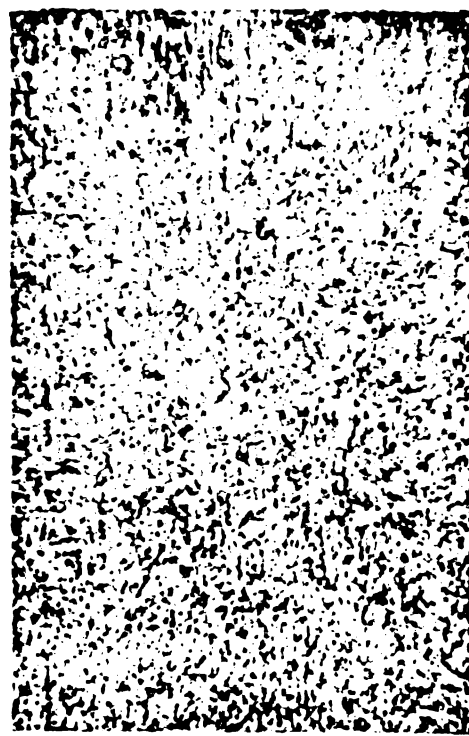


Fig.6g.ZIT+Cusătură
Mo x 100

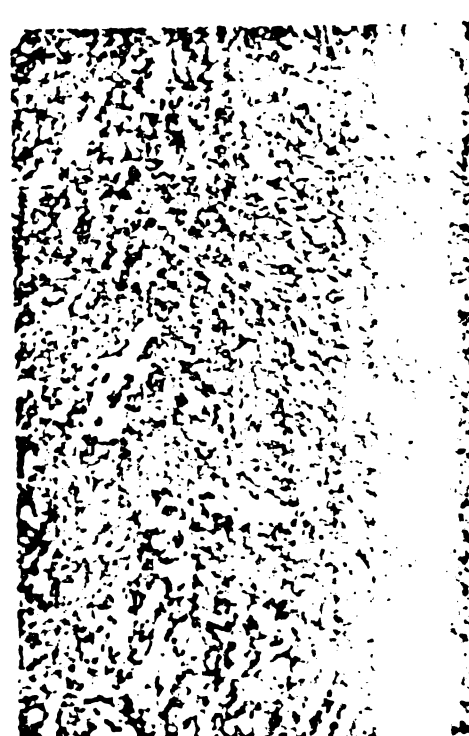


Fig.6h.Cusătură
Mo x 100

PLANSA VI (Continuare)
Imbinare realizată MIG ($s = 30$ mm)



Fig.6i. Cusătura
ME x 5000

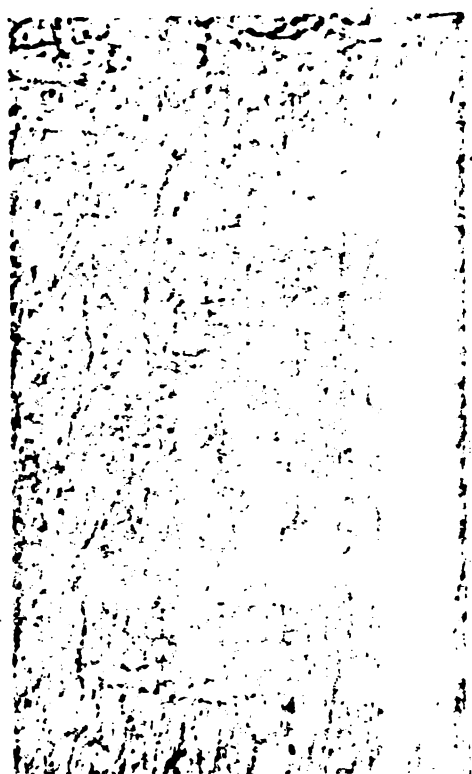


Fig.6j. Cusătura
ME x 10000



Fig.6k. ZIT
ME x 5000



Fig.6l. ZIT
ME x 10000

PLAÑSA VI (Continuare)
Imbinare realizată MIG și detensionată ($s=30$ mm)



Fig.6m. Cusătură
ME x 5000

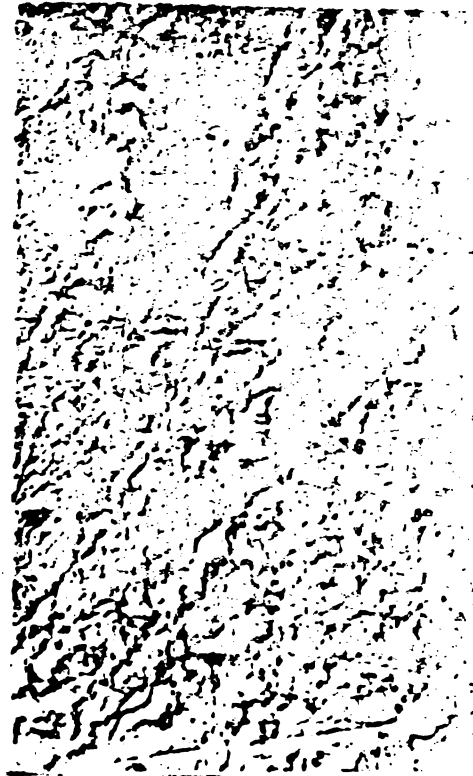


Fig.6n. Cusătură
ME x 10000



Fig.6p. ZIT
ME x 5000



Fig.6r. ZIT
ME x 10000

PLANSA VII

Aspecte microfractografice ale probelor incercate



Fig.1. $T_{inc} = 293^{\circ}\text{K}$



Fig.2. $T_{inc} = 77^{\circ}\text{K}$

Cusătură. Electrosi ELCr25Ni20B



Fig.3. $T_{inc} = 293^{\circ}\text{K}$



Fig.4 $T_{inc} = 77^{\circ}\text{K}$

Cusătură. Electrozi EL9Ni.

PLANSA VII (Continuare)



Fig.5. $T_{inc} = 293^{\circ}\text{K}$



Fig.6. $T_{inc} = 77^{\circ}\text{K}$

Cusătură. Electrozi ERGL11.1



Fig.7. $T_{inc} = 293^{\circ}\text{K}$



Fig.8. $T_{inc} = 77^{\circ}\text{K}$

Cusătură realizată MIG cu sîrmă cu 9%Ni

Crestătura orientată perpendicular în raport cu suprafețele tablelor îmbinate cuprinde însă cel puțin două straturi iar materialul din vîrful crestăturii este supus la întindere într-un plan perpendicular pe suprafețele menționate.

Apare deci o diferență atât valorică cît și ca semnificație fizică între cele două moduri de orientare. Din acest motiv recomandările și prescripțiile cu privire la reziliența cusăturii împun cu precădere epruvete cu crestătura perpendiculară pe suprafața tablelor ce se îmbină, încercarea de reziliență în acest caz pretinzând o sensibilitate sporită în comparație cu cea pe epruvete cu crestătura orientată paralel cu suprafețele tablelor.

Pornind de la aceste considerente toate încercările experimentale au fost făcute pe epruvete Charpy V având crestătura orientată perpendicular în raport cu suprafețele tablelor îmbinate.

Majoritatea prescripțiilor privind modul de încercare și acceptare a cusăturii se situează pe poziția ca însușirile acesteia să fie la nivelul metalului de bază. Asupra rezilienței KCV (respectiv a energiei de rupere KV) majoritatea valorilor de acceptare se situează în jurul mediei de $3,5 \text{ daJ/cm}^2$ (respectiv 28 J) cu vederi diferite asupra modului de calcul a mediei și limitei inferioare pentru valorile individuale.

Reziliența și rezistența cusăturii în cazul oțelurilor criogenice aliate cu 9 % Ni sunt mult influențate de tipul electrozilor folosiți, respectiv de procedeul de sudare.

Cusătura realizată cu electrozii ELCR25Ni20B dă cele mai ridicate valori ale energiei de rupere la 77 K (64 J) datorită microstructurii sudurii care este fază austenitică, la care dependența energiei de rupere de temperatură este mai mică decât a metalului de bază. În schimb rezistența la rupere și limita de curgere sunt mai scăzute decât la metalul de bază ($R_m = 65 \text{ daN/mm}^2$ față de 79 daN/mm^2 la MB și $R_{0,2} = 42 \text{ daN/mm}^2$ față de 68 daN/mm^2 la MB).

Cusătura realizată cu electrozii EL9Ni dă valori ale energiei de rupere la 77 K de 18 ... 25 J, valori aflate sub limita inferioară de acceptare în schimb rezistența la rupere se apropie de a materialului de bază ($R_m = 70 \text{ daN/mm}^2$ față de $79,1 \text{ daN/mm}^2$ la MB). În acest ultim caz, deși în cusătură apare tot o structură tipică de turnare

datorită modificării rețelei cristaline de la CFC (austerită) la TWC (ferită) apar diferențe în privința numărului de sisteme de elunecare cu implicații în scăderea caracteristicilor de deformabilitate.

Cusătura realizată prin proceful MIG folosind sârmă cu 9,6Ni de 1,2 mm dă valori acceptabile ale energiei de rupere la 77 K ($KV > 30$ J) și rezistența la rupere alături apropiindu-se de a metalului de bază ($R_m = 73,3$ daN/mm² față de $79,1$ daN/mm² la NB) ca urmare a omogenității și purității cusăturii MIG comparativ cu cea realizată manual.

Cusătura realizată cu electrozii ERGL11.1 (structură cristalină CFC) dă valori ale energiei de rupere de cca 55 J la 77 K și de cca 90 J la 293 K, valori ale rezistenței la rupere de peste 70 daN/mm², ale limitei de curgere de peste 50 daN/mm² și alungire de peste 25%.

Dăsi apar valori ridicate ale durității în ZIT-ul probelor simulate (peste 350 HV5) ZIT-ul se comportă corespunzător, energia de rupere la 77 K fiind în toate cazurile peste 30 J. Valorile ridicate ale durității se datorează conținutului ridicat în carbon al oțelului cercetat ($C \approx 0,145\%$) care face să apară în structură martenită indiferent de viteza de răcire aplicată. Martenita aliată cu Ni este însă o martenită cubică care este mult mai plastică și tenace decât martenita oțelurilor obișnuite.

Scăderea energiei de rupere a ZIT-ului față de a metalului de bază este o consecință a structurii bainito-martensitice rezultate în urma răcirii la sudare.

Energia de rupere a ZIT-ului simulat este mai mică decât a ZIT-ului real datorită faptului că la sudarea multistrat, stratul deasupra ulterior produce o normalizare a stratului de sus anterior deci o finisare a granulației. Ca urmare a acestui fapt și duritatea ZIT-ului real este mai mică decât a ZIT-ului simulat.

Tratamentul termic de detensionare în toate cazurile uniformizează în ZIT și cusătura structurile reducând duritatele HV5 la nivelul metalului de bază în plaja de valori de 230...270 daN/mm². De asemenea prin detensionare cresc valorile energiei de rupere atât la 293 K, cât și la 77 K creșteri mai semnificative obținindu-se la 293 K.

Dăsi nu apar diferențe semnificative între valorile măsurătorilor de duritate obținute pe probe simulate respectiv simulante și detensionate folosind diferite energii liniare la scară microscopică fină se obțin, anumite aspecte caracteristice legate de

orientarea, distribuția carburilor și dimensiunea cristalelor de ferită respectiv martensită (Planșa I, V și VI).

CONCLUZII

Încercările mecanice de duritate și încovoiere primită la 203 și 77 K corroborate de analizele metalografice, electronice și microfractografice pe probe simulate cu diferite energii liniare (3...40 KJ/cm) precum și pe probe sudate din șeluri criogenice aliante cu 9%Ni relevă următoarele :

- la energii liniare mici de sudare corespund valori mici ale parametrului răcirei $t_{8/5}$ (viteză mare de răcire) situație în care gradul de omogenizare al austenitei fiind mic, numărul centrelor de cristalizare fiind mare structura rezultată va fi fină și în consecință se obțin proprietăți mecanice corespunzătoare;
- pe măsură ce crește energia liniară parametrul răcirei $t_{8/5}$ crește (viteză mică de răcire gradul de omogenizare al austenitei este mai ridicat stabilitatea la transformare crește și structura rezultată va fi formată din cristale de dimensiuni mai mari;
- la aceeași energie liniară deci $t_{8/5}$ constant pe măsură ce crește temperatura de vîrf ($T_v = 1273, 1473, 1623$ K) grăuntele de austenită crește, procesul de transformare în stare solidă se desfășoară într-un timp mai scurt și în timpul de menținere grăuntele se poate dezvolta. Grăuntele de austenită se uniformizează dimensional atingând dimensiunea de echilibru și nu mai apare creșterea granulației;
- crescind energia liniară deși nu apar creșteri ale granulației datorită stării de tensiuni din material, materialul devine fragil Mai mult sănt situații cînd pot apărea în locurile cu defecte de material topiri locale la limita grăunților;
- tratamentul termic de detensionare în toate cazurile conduce la descompunerea structurii bainito-martensitice în ferită și carbură, grăunții de ferită păstrându-și caracterul acicular;
- deși nu apar diferențe semnificative între duritățile obținute folosind pentru simulare energii liniare cuprinse între 3...40KJ/cm la scară microscopică fină se mențin unele aspecte legate de orientarea, distribuția carburilor și dimensiunea cristalelor de ferită respectiv martensită.

Cercetările experimentale au scos în evidență faptul că oțelurile criogenice aliate cu 9,5Ni nu pot fi sudate cu energie liniară mare. Energia liniară trebuie să fie corelată cu grosimea tablelor sudate și cu parametrul răcirii $t_{8/5}$.

Pentru sudare manuală pot fi folosiți electrozii Cr25Ni70 din producția curență și electrozi elaborați experimental SRGII.1 (cu 17%Cr; 12%Ni; 3%Mn; 3,5%W) iar pentru sudarea MIG aliajii cu 9,5Ni de 1,2 mm diametru.

CAPITOLUL V

CONSIDERATII FINALE, CONTRIBUTII ORIGINALE SI PROBLEME DE VIITOR

Din coroborarea necesității de asigurare a economiei naționale cu materiale și produse realizate în țară cu dezideratele economice legate de utilizarea rațională a oțelurilor, apare la adevărată amploare importanța cunoașterii comportării mecanice a oțelurilor în domeniul criogenic (la temperaturi sub 233 K).

Oțelurile criogenice aliate cu 9 % Ni au caracteristici de rezistență mecanică superioare oțelurilor inoxidabile austenitice ele utilizându-se cu succes pînă la temperatură de exploatare de 77 K [7;96;97].

Problema elaborării, deformării plastice și a tratamentului termic a acestora în condițiile concrete ale țării noastre a fost studiată și prezentată în lucrările [96; 97; 99; 101].

Pentru punerea în operă a acestor oțeluri se impune aplicarea unor procedee și materiale de sudare care să ofere garanții din punct de vedere al fiabilității și securității produselor, dat fiind utilizarea lor în special în construcții sudate de mare răspundere (rezervoare pentru transportul și depozitarea gazelor lichefiate etc).

Linia modernă la stabilirea procesului tehnologic optim de sudare se bazează pe posibilitățile crescînd de predeterminare a structurii metalografice din diferite zone ale îmbinării sudate și implicit a însușirilor tehnice a acestora ca atare și în ansamblu.

Pornind de la acest stadiu al cunoștințelor în cadrul lucrării se fundamentează științific morfologia transformărilor structurale din zona influențată termic a oțelurilor criogenice aliate cu 9 % Ni românești prin simularea unor cicluri termice (cazul S) și prin suprapunerea peste aceste cicluri a unui tratament termic de detensiune (cazul S + DT) precum și morfologia transformărilor structurale din zona influențată termic și cusătura îmbinărilor sudate realizate folosind electrozi indigeni, corelarea acestora cu caracteristicile mecanice, în scopul aprofundării cunoașterii mai complete a rezervelor materialului și a stabilirii tehnologiei optime de sudare a acestor oțeluri.

În baza lucrării elaborate se pot preciza următoarele considerații finale, concluzii în ceea ce privește contribuțiile originale și recomandări pentru viitor.

5.1. CONSIDERATII FINALE

- 5.1.1. Oțelurile criogenice aliate cu 9 % Ni și C ≤ 0,15 % pot fi utilizate pentru construcții sudate exploatare între 293 și 77 K.
- 5.1.2. Tratamentul termic aplicat semifabricatelor (produselor laminate) înainte de sudare constă din recoacere la 1173 ± 10 K / 2 h/ cuptor urmat de călire la 1083 ± 10 K / 2 min/mm/apă + revenire la 848 ± 10 K /2 h/aer.
- 5.1.3. Caracteristicile mecanice obținute în urma tratamentului termic de călire și revenire fiind :
- a. La temperatura de 293 K
- $$R_m = 76,7 \frac{\text{daN}}{\text{mm}^2}; R_{o,2} = 71,4 \frac{\text{daN}}{\text{mm}^2}; Z = 69,7\%;$$
- $$A_5 = 20,5\%; KCV = 15,2 \frac{\text{daJ}}{\text{cm}^2}$$
- b. La temperatura de 77 K
- $$R_m = 108,2 \frac{\text{daN}}{\text{mm}^2}; R_{o,2} = 104,9 \frac{\text{daN}}{\text{mm}^2}; Z = 66,3\%;$$
- $$A_5 = 18,4\%; KCV = 6,8 \frac{\text{daJ}}{\text{cm}^2}$$
- 5.1.4. Structura rezultată în urma tratamentului termic de călire și revenire este formată din ferită aliată cu Ni și precipitați de carburi de tip cementitic.
- 5.1.5. Cercetările efectuate pe table cu grosimea de 12 și 30 mm din oțel criogenic cu 9 % Ni atestă că preîncălzirea nu este necesară, confirmându-se astfel cele prezентate în literatura de specialitate că table din oțel criogenic cu 9 % Ni pot fi sudate fără preîncălzirea pînă la grosimea tablelor de 50 mm [30 ; 47].
- 5.1.6. La sudarea manuală pot fi folosiți electrozii indigeni ELCr25Ni20B din producția curentă precum și electrozii austenitici elaborați experimental cu 17 % Cr; 12 % Ni, 8 % Mn și 3,5 W iar pentru sudarea MIG sîrmă cu 9 % Ni de 1,2 mm.
- 5.1.7. Sudarea se recomandă să se facă cu energie liniară mică (8...16 kJ/cm) iar la sudarea în mai multe straturi temperatura între treceri să fie sub 373 K.
- 5.1.8. Luînd ca și criteriu valoarea durității de 350 HV5, după sudarea MIG cu sîrmă cu 9 % Ni se recomandă tratamentul termic de detensionare la 848 K /2 h/aer,
- 5.1.9. Tratamentul termic de detensionare uniformizează în ZIT și cusătură structurile reducînd duritatea la nivelul

metalului de bază . De asemenea prin detensionare se reduc tensiunile interne și cresc valorile energiei de rupere ale ZIT-ului și cusăturii atât la 293 K cît și la 77 K, creșteri mai semnificative obținându-se la 293 K.

5.2 CONTRIBUTII ORIGINALE

5.2.1. Cercetarea influenței energiei liniare în procesul de sudare asupra caracteristicilor mecanice ale îmbinărilor sudate realizate din oțel criogenic aliat cu 9 % Ni . Pe baza acestor cercetări s-au stabilit limitele maxime ale energiei liniare recomandate pentru table cu grosimea de 12 ... 30 mm.

Deși duritatea în zona influențată termic a depășit la unele probe 350 HV5 îmbinarea sudată s-a comportat satisfăcător atât la temperatura de 293 cît și la 77 K, energia de rupere KV fiind mai mare de 35 J, iar amaliza microfractografică a suprafetelor de rupere relevînd la ambele temperaturi de încercare o rupere ductilă. Pe baza acestora s-a tras concluzia că pentru oțelul criogenic aliat cu 9 % Ni duritatea sub cordon nu este singurul criteriu de apreciere a comportării la sudare a acestui oțel .

5.2.2. Cercetînd influența energiei liniare și a temperaturii de vîrf asupra caracteristicilor zonei influențate termic la oțelul studiat s-a ajuns la concluzia că pentru aprecierea comportării metalurgice la sudare, trebuie să se ia în considerare și timpul de răcire între 1073 ... 773 K (800 ... 500°C)(parametrul răcirii) notat cu $t_{8/5}$. S-au determinat parametrul $t_{8/5}$ optim ($t_{8/5} = 4 \dots 20$ s) pentru grosimi de tablă de 12...30mm.

5.2.3. Elaborarea tehnologiei optime de sudare și tratament termic a oțelurilor criogenice aliante cu 9 % pentru grosimi de tablă de 12 și 30 mm. Cu această ocazie s-a pus în evidență o oarecare diminuare a caracteristicilor zonei influențate termic simulate față de cea reală. Această diminuare provine de la faptul că la sudarea multistrat zona influențată termic suferă o normalizare reducîndu-se duritatea și crescînd tenacitatea materialui. Deci se poate afirma că simularea în laborator a ciclurilor termice permite urmărirea modificărilor caracteristicilor mecanice și structurale la nivelul satisfăcătoare de certitudine.

- 5.2.4. Cercetări privind elaborarea unor noi sorturi de electrozi și sîrme pentru sudarea electrică manuală și MIC a oțelurilor criogenice aliata cu 9 % Ni (EL 9 Ni și ERGL 11.1 cu 17 % Cr, 12 % Ni, 3,5 % W și 8 % Mn precum și sîrmă cu 9 % Ni de 1,2 și 1,6 mm).
- Cu electrozii elaborați s-au realizat îmbinări sudate verificate la șocuri termice între temperaturile de 293 și 77 K și la menținerea de durată. Îmbinările sudate experimentate au avut o bună stabilitate nu au apărut modificări structurale și nici diminuări ale energiei de rupere comparativ cu încercarea la 77 K.
- 5.2.5. Prin încercări mecanice și cercetări metalografice optice și electronice s-a demonstrat menținerea plasticității îmbinărilor sudate realizate din oțel criogenic aliat cu 9 % Ni folosind electrozi indigeni, pe tot intervalul de temperaturi analizat, rupturile având un pronunțat caracter ductil.
- 5.2.6. Cercetarea corelației dintre energia liniară folosită la sudare și structura din zona influențată termic și cusătură relevă unele diferențieri în ceea ce privește orientarea și distribuția carburilor, dimensiunea cristalelor de ferită respectiv martensită.
- 5.2.7. Examinarea microcompoziției chimice a zonelor caracteristice a îmbinărilor sudate cu ajutorul microsondei electronice a permis studiul variației elementelor componente Fe, Ni, Cr, W. Pe baza examinării efectuate se apreciază că la realizarea legăturii dintre cusătură și metalul de bază o mare influență o au Fe și Ni. Totodată se poate aprecia că fenomenele de segregare ale Ni sunt practic inexistente.
- 5.2.8. Cercetările efectuate cu privire la verificarea tehnologiei elaborate au scos în evidență că la temperatura azotului lichid se obțin KV = 30... 50 J și $R_m = 65...$.. 70 daN/mm² la 293 K, în zona influențată termic și cusătură, valori foarte apropiate de ale metalului de bază (KV = 48 ... 55 J ; $R_m = 75...$ 79 daN/mm²). Aceste rezultate permit obținerea de economie de material și realizarea de instalații criogenice care să lucreze în condiții de siguranță sporită. Totodată se oferă posibilitatea folosirii oțelurilor criogenice aliata cu

9 % Ni și la temperaturi mai joase de 73 K precum și înlocuirea oțelurilor inoxidabile austenitice care au un preț de cost ridicat,

5.3. PROBLEME DE VIITOR

Prezenta lucrare nu are și nu poate avea pretentia unei tratări exaustive a problemei abordate.

Autorul consideră că pe viitor cercetările în domeniul comportării la sudare a oțelurilor criogenice aliate cu 9 % Ni să se conjectureze asupra următoarelor probleme:

- 5.3.1. Aprofundarea cercetărilor privind studiul influenței conținutului în carbon asupra tenacităii și ductilităii metalului depus cu electrozi aliați cu 9 % Ni respectiv sîrmă cu 9 % Ni.
- 5.3.2. Inițierea unui program de cercetări privind completarea informațiilor existente despre sudarea automată sub flux a oțelurilor cu 9 % Ni. În acest sens se recomandă elaborarea de sîrme de fabricație indigenă cu compoziția chimică apropiată de a MB, avînd un indice economic mai ridicat decît sîrmele de tip INCONEL precum și de fluxuri adecvate.
- 5.3.3. Stabilirea unei corelații între σ_{cd} și KV în cazul oțelurilor criogenice aliate cu 9 % Ni. În acest sens se necesită inițierea unui program de cercetări bazat pe principiile mecanice ruperii materialelor care să se refere la precizarea parametrilor asociați stării critice în domeniile adiacente fisurilor și la descrierea extinderii fisurilor sub acțiunea celor mai diverse forme de solicitare (statică, dinamică, variabilă sau de lungă durată) atât pentru MB în stare călită și revenită cît și pentru ZIT și cusătura realizată cu diferite materiale de adaos.
- 5.3.4. Elaborarea unei norme privind aprecierea comportării la sudare a oțelurilor după $t_{8/5}$ corelat cu grosimea tablei și energia liniară.

- 5.3.2. Inițierea unui program de cercetări privind completarea informațiilor existente despre sudarea automată sub flux a oțelurilor cu 9%Ni. În acest sens se necesită elaborarea de sîrme de fabricație indigenă cu compoziția chimică apropiată de a MB, avînd un indice economic mai ridicat decît sîrmele de tip INCONEL precum și de fluxuri adecvate.
- 5.3.3. Stabilirea unei corelații între cd și KV în cazul oțelurilor criogenice aliate cu 9%Ni. În acest sens se necesit inițierea unui program de cercetări bazat pe principiile mecanicii rûperii materialelor care să se refere la precizarea parametrilor asociați stării critice în domeniile adiacente fisurilor și la descrierea extinderii fisurilor sub acțiunea celor mai diverse forme de solicitare (statică, dinamică, variabilă sau de lungă durată) atât pentru MB în stare călită și revenită cît și pentru ZIT și cusătură realizate cu diferite materiale de adaos.
- 5.3.4. Elaborarea unei norme privind aprecierea comportării la sudare a oțelurilor după $t_{g/5}$ corelat cu grosimea tablei și energia liniară.

BIBLIOGRAFIE

1. ADRIAN M. - "Tehnologia laminării". E.T. Bucureşti 1978
2. ALBRITTON O.W., ORR D.E. - "Successful Welding for Low temperature" Welding Journal vol.45, nr.12, 1966 p. 983-984; 987-989.
3. AMIOT P., HOLLAND M., HOCHMANN J., QUIGRA P., ROSENZWEIG J. - "Contribution a la mise en oeuvre par soudage des aciers utilisés aux très basses températures" Revue de Metallurgie vol.62, nr.3, 1965 p.835-845.
4. ARIKAWA M. - "Mechanization of welding 9%Ni steels". IIS/IW.-XIIIB - 164-74.
5. AUSTEN W., MOIDORN C. - "Erfahrungen beim bau eines 30.000 m³ Langer tantks aus stahl X8Ni9 für flüssigerdgas" Schweißen U.Schneiden nr.6, 1973, p.210-213
6. BAKER B.H., LUCEY J.A. - "Fabrication of cryogenic pressure vessel" British Welding Journal vol.15, nr.5, 1968, p.205-215.
7. BASTIEN P. &a. - "L'acier à 9%Ni pour stockage et le transport du gaz naturel liquéfié" Metallurgie et soudage". Revue de la Soudure vol.19, nr.1, 1963, p.1-16. Revue de Metallurgie vol.60, nr.1, 1963, p.59-74.
8. BERSCH B., DEGENKOLBE J., HANEKE H.O., MIDDELDORP W. "Schweissverhalten von nickellegierten Kaltzählgüssen". Messer Griesheim GmbH. Schweibünd Schneidtechnik -Sonderdruck 03/78, p.763-778.
9. BERNARD G., PRUDHOMME M. - "Compléments à l'étude des phénomènes thermiques dans les joints soudés" Revue de Métallurgie vol.69 nr.7, 1972 p.483-496
10. BERNARD G., GAUTHIER G., PRUDHOMME M. - "La fissuration à froid des aciers en relation avec leur caractéristiques des transformations" Métaux Corroison industrie nr.549, 1974 p.3-16.

- 11.BRISSON J., MAINIER PH., "Etude de la dureté sous cordon des aciers au carbon et faiblement alliés". Revue de Métallurgie vol.68, nr.12, 1971 p.791-808.
- 12.BUDAU V., TRUSCULESCU D.
- "Cercetarea modificărilor structurale în îmbinările sudate din oțel aliat cu 3,5%Ni folosind electrozi indigeni". Cercetări metalurgice vol.18, 1977, p.279-286.
- 13.BUDAU V., TRUSCULESCU D., DOBROTA I.
- "Particularități ale elaborării sîrmelor din oțeluri criogenice cu 9%Ni folosite la fabricarea electrozilor de sudare". Buletin științific și tehnic I.P.Tr.Vuia Timișoara Fascicola 1, 1980,
- 14.BUDAU V., TRUSCULESCU D.,
- "Comportarea la temperaturi joase a îmbinărilor sudate din oțeluri criogenice aliaste cu 9%Ni folosind electrozi indigeni". Sesiunea de comunicări științifice 9-11 sept. 1981 ICEM București.
- 15.BUDAU V., TRUSCULESCU D.
- "Corelația dintre energia liniară, grosimea tablelor și viteza de răcire la sudarea oțelurilor criogenice aliaste cu 9%Ni". Simpozionul de Studiul metalelor și tratamente termice Timișoara 11-12 decembrie 1981, vol.II p.381-388.
- 16.BUDAU V., TRUSCULESCU D.
- "Influența tratamentului termic de detensiune asupra proprietăților mecanice și structurii îmbinărilor sudate din oțel criogenic aliat cu 9%Ni realizate prin procedeul MIG". Simpozionul de Studiul metalelor și tratamente termice. Timișoara 11-12 decembrie 1981 vol.II p.389-396.
- 17.CARTER W.P., HARRISON J.C..
- "9%Nickel steel for LNG application". Metal Construction British Welding Journal nr.5, 1974, p.158-168
- 18.CIOOCLOV D.
- "Mecanica ruperii materialelor" Ed. Academiei RSR. București 1977.
- 19.CHAMBONNET A.
- "Les stockages fixes réfrigérés de gaz liquéfies". Soudage et techniques connexes vol.28, nr.9/10 1974, p.372-384.

- 20.COLAN H. - "Studiul metalelor"
Lit.I.P.Cluj-Napoca 1977
- 21.CONSTANT A.,MEYZAUD I., SANZ G. "New research trends in cryogenic steels with reduced nickel content"
Aciérs speciaux nr.18, 1972
- 22.COULSON J.K. - "Shop manufacturing experience with Nickel-steel".
Welding Metal Fabrication February 1973.
p.47-50.
- 23.CRICHTON A.B.,POST A.H., SOSNIN H. "Choosing a welding process for LNG piping and vessels".
Welding Journal nr.9,1975,p.641-646.
- 24.DAVIES A.C. - "The science and practice of welding".
Seventh Edition Cambridge University Press 1977.
- 25.DIETER G.E. - "Metalurgie mecanică".
E.T.Bucureşti 1970.
- 26.DRAGULESCU D., BUDAU V. - "Cercetări privind apariția fenomenului de destrâmare lamellară în table din oțeluri românești".
Construcția de mașini vol.27,nr.5,1975
p.200-203.
- 27.DRUG C. - "Cercetări privind realizarea regimului termic în vederea detensionării după sudare a corpurilor cilindrice cu ambalătice utilizând gaze de ardere".
Teză de doctorat 1980,Timișoara.
- 28.ECHIM I.,LUPESCU I., NICOARA L. - "Tehnologii pentru sudarea prin topire a oțelurilor". E.T.Bucureşti 1974.
- 29.PREDRIKS H.,NAP C., WINDEN H. - "Welding of 9% Nickel steel".
Metal construction nr.4,1977 p.162-165.
- 30.PROM K. - "Schweißen von 9% Nickelstahl mit hoch-nickelhaltigen Zusatzwerkstoffen".
Schweißen und Schneiden nr.8,1973
p.288-291
- 31.GADEA S. s.a. - "Metalografie" E.D.P.Bucureşti 1974.
- 32.GIRALDI V., FARTOLINI M. - "La saldatura acciaio al 3,5%Ni per la costruzione di recipienti in pressione per servizio a bassa temperatura".
Revista italiana de la Saldatura nr.1
1957, p. 3-20.

- 33.GOLDSTEIN I.E., CERUSNIKOVA G.A.
- "Influența nichelului asupra domeniului de tranzitie a rezilienței oțelurilor cu conținut mediu în carbon".
Metallovedenie i termiceskaia ob'rabotka metallov nr.12,1966
- 34.GULEAEV A.P.
- "Tratamentul termic al oțelului"
E.T.București 1962.
- 35.GERU N.
- "Teoria structurală a proprietăților metalelor". E.D.P.București 1980
- 36.HAASSEN P.
- "Physical Metallurgy" Cambridge University Press. London 1978.
- 37.HANCKE M.
- "Wirtschaftliche Materialauswahl für geschweißte Bauwerke".
Schweisstechnik 70, nr.8,1980, p.153-174.
- 38.HANNAH P.J.
- "ESAB and kockums collaborate on LNG/LPG tanker production".
Svetsaren nr.2,1977, p.1-7.
- 39.HERBIET H.
- "Propriétés de l'acier à 9%Ni au cours de sa mise en œuvre"
Revue de la Soudure nr.1,1963, p.1-7.
- 40.HREBESCU M., SAFTA V., PASCU R., NOISE T.
- "Investigations on the susceptibility to stress relief cracking of the 22NiMoCr37 steel".
Doc.IIS/IIW-IX,1092,1978.
- 41.HORII Y., MIZUHASHI N., FUJIMOTO R., NISHI R., SUZUKI T., ITO T.
- "Developments on the welding of 9%Ni steel".
Doc.IIS/IIW - XII-B-137-73.
- 42.HYSPECKA L., MAZANEC K.
- "Etude de la formation de microfissures dans la structure martensitique".
Les mémoires scientifiques de la revue de métallurgie nr.1,1976, p.25-30.
- 43.ISHIKAWA K., MARUYAMA N.
- "Fracture and strength of mit welded Fe-13%Ni-3%Mo alloy for cryogenic service".
Revue Cryogenics, october 1973, p.585-589
 - "Gas shielded welding of nickel Steels for Cryogenic Applications".
British Welding Journal nr.1,1976, p.2-5.
- 44.JORDAN D.E., HEATH D.J.
- "Residual stress relief and local embrittlement of HAZ in a reactor pressure vessel steel".
Doc.IIS/IIW-X,1002.76
- 45.KAMEDA J., TAKAHASHI H., SUZUKI M.

- 46.KAREL V., PAHUTA P.,
HYSPCKA L.,
MAZANEK K.
- 47.KILLING R.
- 48.KROM.M.,
CONSTANT A.
- 49.LAFRANCE M.,
PRUDHHOMME C.,
MURRY G.,
CONSTANT A.
- 50.LANCELLOTTI G.,
PEREGO E.,
REGGI F.
- 51.LEBEDER D.V.,
GADZIBALAEV G.A.
- 52.LEGENDRE P.,
WACHE X.
- 53.LOGER J.,
ROERE G.
- 54.MACHIN R.
- 55.MANTEA ST.,
DULAMITA T.
- "Contribution a la fractographie de la martensite".
Les mémoires scientifiques de la revue de métallurgie nr.1, 1974, p.17-23.
 - "Stand und Entwickbengstendenzen des Schweißens von Tief temperaturstählem".
Schweißen u Schneiden nr.9, 1975, p.353-356.
 - "Contribution à l'étude du mode d'action du nickel (jusqu'à 9%) sur les propriétés mécaniques des aciers à basse température".
Les mémoires scientifiques de la revue de métallurgie nr.12, 1961, p.901-914.
 - "Prévision de la duréte sous condon d'aciers A52 à partir de l'étude des transformations de l'austénite en fonction de conditions de Soudage manual".
Revue de Métallurgie vol.65, nr.5, 1968, p.417-425.
 - "Saldatura dell'acciaio al 9%Ni costruzione di due subotoli sferici per stocaggio di ozigeno".
Revista italiana de la Saldatura nr.6, 1966, p.285-299.
 - "Evolution of the impact toughness of steels at cryogenic temperatures".
Problemy Prochnosti vol.5 August 1973.
 - "Recherches expérimentales sur la formation d'austénite dans les aciers riches en nickel".
La revue de métallurgie nr.1 1974, p.33-4.
 - "Construction des grandes méthabatres à cuves intégrées en invar cryogénique".
Soudage et techniques connexes. vol.30, nr.5/6, 1976 p.183-195.
 - "Welding aspects of 9% Nickel steel".
Welding Metal Fabrication vol.14 nr.9 1966. p.266-265
 - "Teoria și practica tratamentelor termice"
E.T.București 1968.

- 56.MG.HENRY.H.I.
- "Ship Steel Weldments for Low Temperature Service".
Veritas Vol.46, nr.5, 1976, p.387-393
- 57.MICLOSI V.,
LUPESCU I.
- "Sudarea prin topire a oțelurilor aliate".
E.T.București 1970
- 58.MILLION A.,
MILLION C.
- "Hidrogenul în oțeluri și în legăturile sudate". Ed. Academiei RSR 1968.
- 59.MITELEA I.
- "Contribuții la studiul mecanismului de durificare prin tratament termo-mecanic al oțelurilor criogenice cu bază de nichel". Teză de doctorat.Timișoara 1977.
 - "Acțiunea tratamentului termo-mecanic asupra densității de dizlocații în oțelurile criogenice aliate cu Ni și Ni-Co".
Metalurgia nr.2, 1976, p.83-92.
 - "Influența gradului de deformare la rece asupra martensitei din oțelurile criogenice aliate cu Ni și Ni-Co".
Metalurgia nr.11 1976 p.
- 60.MITELEA I.,
TRUSCULESCU M.
- "Metalurgical Microscopy".
London, Butterworths, 1973.
- 61.MITELEA I.,
TRUSCULESCU M.
- "Cercetarea durității îmbinărilor sudate".
Studii și cercetări de metalurgie vol.18 nr.2, 1973, p.195-214.
- 62.MODIN H.,
MODIN S.
- "Energia de rupere, criteriu de precizie a siguranței în funcționare".
Rev.chimică 29, 6, 1978, p.580-585.
- 63.MORARIU ST.
- "Tehnologia materialelor".
E.D.P.București 1977.
- 64.MUSCAN AL.
- "Statistics in research". The Iowa University, Press, 1969, London.
- 65.NANU A.
- "Aplicații ingineresti ale mecanicii ruperilor". E.T.București, 1975.
- 66.OSTLE B.
- "Depozitarea gazelor lichefiate".
Centrul de documentare al industriei chimice și petroliere.București, 1970.
- 67.PANA T.
- "Quelques progrès effectués au cours de ces derniers années dans la métallurgie des aciers au nickel". Revue de Métallurgie nr.6, 1963, p.545-546.
- 68.PAVEL A.
- "Quelques progrès effectués au cours de ces derniers années dans la métallurgie des aciers au nickel". Revue de Métallurgie nr.6, 1963, p.545-546.
- 69.PITAND J.

- 70.PITAND J.
- 71.POPOVICI VL.
IVANCENCO AL.
- 72.POZZOLINI P.F.,
LOMBARDO G.
- 73.PUSCHNER M.-
KILLING R.
- 74.RADU D.,BUDAU V.,
TRUSCULESCU D.
- 75.RIKALIN N.N.
- 76.SAVAGE W.F.,
NIPPLES E.,
MUSHALA M.C.
- 77.SALAGLAN T.
- 78.SALAGEAN T.
- 79.SALAGEAN T.
- 80.SALAGEAN T.
- 81.SALACEAN T.,
BOARINA C.,
DENELEANU D.
- 82.SCHUMANN H.
- 83.SCHWARTZBERG F.R.
- "L'operations cryogenics". Revue de Metalurgie nr.1,1963, p.83-89.
 - "Utilajele sudării electrice". E.D.P.Bucureşti 1968.
 - "The Role of 9% Nickel steel in the transport of LNG". Welding Metal Fabrication February 1973, p.40-45.
 - "Ein neuer Zusatzwerkstoff zum Schweißen des Kaltzähens 9% Nickelstahles X8Ni9". Schweisen u.Schneden nr.5,1965, p.207-21
 - "Contribuții privind sudarea oțelurilor criogene aliaste cu 3,5%Ni folosind electrozi indigeni". Sesiunea de comunicări științifice organizată în cadrul festivalului "Cintarea României" ISTM Timișoara 28-29 aprilie 1977.
 - "Rasistf teplovf protsessov pri svarke". Moscova, Mașghiz, 1951.
 - "Copper - contamination:cracking in the weld heat affected zone". Welding Journal, vol.57, nr.5, 1978, p.145-_s 152_s.
 - "Fenomene fizice și metalurgice la sudarea cu arcul electric a oțelurilor". Ed.Academiei R.P.R.Bucureşti, 1963
 - "Statistica în sudură". Ed.ODMT, 1973.
 - "Oțeluri pentru structuri sudate". Ed.Facila, 1974.
 - "Sudarea cu arcul electric". Ed.Facila, 1977.
 - "Reziliența cusăturilor la sudarea oțelurilor slab aliaste". Studii și cercetări de metalurgie.Tom.17, nr.2, 1972.
 - "Metalurgie fizică". E.T.1962.
 - "Selecting structural materials for cryogenic service". Metal Progress vol.96, july 1969, p.52-57.

84. SELMEREANU H.
- "Pragilizarea tenso-termică în ansamblu și fenomenelor care determină comportarea la sudare a oțelurilor carbon și slab aliate cu mangan pentru structuri sudsate de mare rezistență".
Teză de doctorat. Timișoara, 1972.
85. SPAEDER G.E.,
MAJETICH J.,
BRICKNER K.
- "New-stels has cryogenic potential".
Metal Progress vol.96, 1969, p.57-58.
86. STOIAN T.,
VARZANDAN E.,
BUDAU V.
- "Sudarea unor oțeluri cu rezistență mărită". Lucrările sesiunii tehnico-științifice consacrate aniversării a 220 de ani de atestare documentară a industriei siderurgice hunedorene și a 90 de ani de la punerea în funcție a primului furnal la Hunedoara. Hunedoara 16-18 mai, 1974, p.551-558.
87. SURGEANU I.
- "Electrozi, firme și fluxuri pentru sudare". Ed. Facla 1976.
88. SUZUKI H.
- "Les nouveaux acier japonais à haute résistance utilisés pour les constructions soudées de grandes dimensions".
Soudage et techniques connexes nr.3/4-1977.
89. TACHE A.M.,
CARTIS I.,
MITELEA I.
- "Das Anlassverhalten des 3,5%Ni haltigen Tieftemperaturstahls". Symposium Werkformung und Bruch 24-27 August 1976 in Magdeburg D.D.R.
90. TAMURA H.,
IAMDZAKI I.A.,
KONO K.
- "Svarka stalei ispolizuemykh pri muzkikh temperaturakh".
Mašinostroenie. Moskova, 1978.
91. TEODORESCU C.C.,
MOCANU D.R., BUGA M.
- "Imbinări sudate".
S.T. 1973.
92. TENGE P.
- "Materials for LPG and LNG Tanks".
Veritas vol.19, nr.72, 1973, p.12-15.
93. THARBY R.H.
- "Welding consumables for 9% Nickel steel".
Welding Metal Fabrication nr.2, 1973
p.51-62.

94. THARBY R.H.,
HEATH D.J.,
PLANNERY J.W.
- "L'acciaio al 9%Ni sue caratteristiche
e saldatura". Rivista italiana della
Saldatura nr.6, 1976, p.373-390.
95. THORNEYCROFT D.R.,
HEATH D.J.
- "Further aspects of the Welding of 9%
Nickel steel". Welding Metal Fabrication
nr.2, 1963, p.3-14.
96. TRUSCULESCU M.
- "Studiul comportării oțelurilor aliate
cu 9%Ni, 4%Co folosite la temperaturi
joase". Teză de doctorat Timișoara 1967
97. TRUSCULESCU M.
- "Contribuții la studiul oțelurilor aliate
cu 9%Ni folosite la -196°C". Buletin
științific și tehnic I.P.Tr.Vuia Timișoara
Tom 11(25), 1966. Seria mecanică.
98. TRUSCULESCU M.
99. TRUSCULESCU M.,
IȘREMIA A.
- "Studiul metalelor". EDP. București 1977.
100. TRUSCULESCU M.,
TACHE A.M.,
MITELEA I., BUDAU V.
- "Unele considerații asupra elaborării
și deformării plastice a oțelurilor
criogenice, tip 12N90 și 12N90Co40".
Metalurgia vol.27, nr.8-9, 1975, p.401-405
101. TRUSCULESCU M.,
TACHE A.M.,
MITELEA I., BUDAU V.
- "Studiul metalelor. Tehnici de laborator"
Ed.Facla 1977.
102. TRUSCULESCU M.,
BUDAU V.,
MITELEA I.
- "Studiul documentar asupra materialelor
folosite la temperaturi joase -50...
-200°C". Protocol I, I.P.Tr.Vuia Timișoara,
1975.
103. TRUSCULESCU M.,
BUDAU V., CARTIS I.,
RADU D., TRUSCULESCU D.
- "Cercetări asupra rezilienței îmbinăriile
sudate din oțeluri criogenice aliate cu
Ni-Co". Cercetări metalurgice vol.17,
1976, p.373-385.
104. TRUSCULESCU M.,
BUDAU V.,
MITELEA I.
- "Cercetări asupra structurilor sudate din
oțeluri criogenice aliate cu 3,5 și 9%Ni".
Lucrările coloanului de suprareactitudine
și crioelectrotehnică. Craiova
14 decembrie 1977, p.262-280.
- "Cercetarea modificărilor structurale a
probelor din oțeluri criogenice aliate
cu 9%Ni în urma simulării ciclurilor
termice de la sudare". Buletin științific
și tehnic I.P.Tr.Vuia Timișoara,
fascicola 1, 1979 Seria mecanică.

105. TRUSCULESCU M.,
CARTIS I.,
MITREIA I.,
BULAU V.
106. TUMMERES G.E.
107. TENCHEA P.
108. UWER D.J.,
DEGENKOLBE J.
109. VAN STEYN B.J.
110. WATANABE M.,
TANAKA I.,
WATANABE I.
111. WEINBERG F.
112. WELLAND G.W.
113. ZENNER G.H.
114. x x x
115. x x x
116. x x x
- "Studii și cercetări asupra tehnologiilor de fabricație a rezervoarelor, navelor de transport gaze lichefiate".
Protocol I 1980, Protocol II 1981
I.P.Tr.Vuia Timișoara.
 - "Influence of the cooling rate after heat treatment on the impact properties of 9%Ni steel".
Doc IIS/IIW-X-343-65.
 - "ATLAS de încercări mecanice ale îmbinărilor sudate". Oficiul de informare documentare pentru construcția de mașini 1980.
 - "Thermal cycles in arc welding calculation of cooling times".
Doc.IIS/IIW-IX,987,1976.
 - "Some experiences in the welding of 9%Ni steels". Revue de la soudure Bruxelles nr.1, 1977, p.15-21.
 - "Peritac Filler Material For Gas-Shielded Metal Arc Welding of 9% Nickel steel".
Welding Metal Fabrication nr.5,1973, p.167-176.
 - "Tools and Techniques in physical Metallurgy.Vol.1+2.New-York.1970.
 - "Producing Strong Welds in 9% Nickel steel".
Welding Research supplement Sept.1978 p.263-271.
 - "Metal progres",oct.1961 p.110-115.
 - "Revue generale du froid" Nr.7,1970.
 - "Effects of Low Temperatures on Structural Metals"- National Aeronautics and Space Administration 1966.
 - "ASTM 353-72. Standard Specification for Pressure Vessel plates, alloy steel, 9 percent Nickel double normalized and tempered". AMERICAN NATIONAL STANDARD G35-3 (American Standard Institute) p.229-231.

117. x x x - "ASTM 353-73. Standard Specification for Pressure Vessel plates, alloy steel quenched and tempered 8 and 9 percent Nickel". AMERICAN NATIONAL STANDARD G 35-20". (American National Standard Institute) p.414-416.
118. x x x - "Metallovedenie i termiceskaja obrabotka metalov". Tom.7.Moscova 1973.
119. x x x - "Metals reference book" London Butterworths, 1976.
120. x x x - "Specification for unifeed fusion welded pressure vessels", BS 5500:77, London British Standards Institution 1976.
121. x x x - "VEREINIGTE EDEL-STAHLWERKE A.G. Schweissen der Stähle für tiefe Temperaturen WISSENSWERTES FÜR DEN SCHWEISSEN, Wien, 1977 p.184-186.
122. x x x - "Courbes dureté/paramètre de refroidissement en conditions de soudage." Recueil établi par l'IRSID". Publications de INSTITUT de RECHERCHES de la SIDERURGIE FRANCAISE (IRSID) 1977.
123. x x x - "Steels for low-temperature service in Japan". IISI Promotion Committee on April 9, 1975.Nippon Steel Corporation.